

НАЦІОНАЛЬНА АКАДЕМІЯ НАУК УКРАЇНИ
ІНСТИТУТ МОЛЕКУЛЯРНОЇ БІОЛОГІЇ І ГЕНЕТИКИ

Кваліфікаційна наукова
праця на правах рукопису

Синюгіна Агнеса Тарасівна

УДК 577.336+577.112.7

ДИСЕРТАЦІЯ

**ВНУТРІШНЬОЙОННІ БАРВНИКИ ЯК ЗОНДИ ДЛЯ
ФЛУОРЕСЦЕНТНОЇ ВІЗУАЛІЗАЦІЇ КЛІТИН І ПОТЕНЦІЙНІ
РЕАГЕНТИ ДЛЯ ФОТОДИНАМІЧНОЇ ТЕРАПІЇ**

091 – Біологія і біохімія

09 – Біологія

Подається на здобуття наукового ступеня доктора філософії в галузі біологія

Дисертація містить результати власних досліджень. Використання ідей, результатів і текстів інших авторів мають посилання на відповідні джерела

 (Синюгіна А.Т.)

Науковий керівник

Ярмолюк Сергій Миколайович
доктор хімічних наук, професор

Київ – 2023

АНОТАЦІЯ

Синюгіна А. Т. «*Внутрішньоіонні барвники як зонди для флуоресцентної візуалізації клітин і потенційні реагенти для фотодинамічної терапії*» – Кваліфікаційна наукова праця на правах рукопису.

Дисертація на здобуття наукового ступеня доктора філософії за спеціальністю 091 – “Біологія і біохімія” (09 – Біологія) - Інститут молекулярної біології і генетики НАН України, Київ, 2023.

Дисертація присвячена пошуку нових внутрішньоіонних поліметинів на основі мероціанінових та сквараїнових барвників як реагентів для візуалізації клітин і фотодинамічної терапії.

Потужним інструментом для вирішення ряду біотехнологічних задач є спектрально-люмінесцентні методи з використанням органічних барвників, які поглинають світло у довгохвильовому спектральному діапазоні, де фонова автофлюоресценція клітин є мінімальною. Завдяки високим квантовим виходам флуоресценції та можливості структурної модифікації, довгохвильові барвники поліметинового ряду знайшли своє використання як флуорофорні мітки та зонди для відстеження біомолекул, як реагенти для візуалізації клітин та як фотосенсибілізатори для проведення фотодинамічної терапії. Основний масив у використані – це катіонні ціанінові барвники. Відомо, що катіонні барвники здатні до селективного накопичення в мітохондріях ракових клітин. Проте така селективність барвників може негативно впливати на біорозподіл їх кон'югatів, а також призводити до зміни мітохондріального мембраниого потенціалу. Тому пошук незаряджених флуоресцентних барвників, що поглинають в довгохвильовому спектральному діапазоні є актуальною задачею на сьогоднішній день. До таких барвників відносять поліметинові мероціанінові та сквараїнові барвники.

Досліжені нові мероціанінові барвники, які поглинюють світло в області понад 600 нм, що робить їх привабливими об'єктами для подальшого використання як довгохвильових флуоресцентних зондів у біовізуалізації.

Вивчені їх спектральні характеристики у метанолі, водному буфері та за присутності білків різної будови. Встановлено, що мероціаніни нековалентно зв'язуються із сироватковими альбумінами. На основі експериментальних даних розраховані константи зв'язування мероціанінових барвників із людським сироватковим альбуміном та показано, що жорстка фіксація поліметинового ланцюга шляхом введення мезо-замісників в поліметиновий ланцюг приводить до зростання констант зв'язування із білком. Утворення нековалентних комплексів із альбумінами впливає на спектрально-флуоресцентні властивості флуорофорів, зокрема, спостерігається зростання інтенсивності флуоресценції, квантових виходів флуоресценції та зміщення максимумів поглинання в довгохвильову частину спектрального діапазону. За результатами проточної цитометрії встановлено, що синтезовані мероціаніни проникають у клітини А2780. За результатами флуоресцентної мікроскопії живих клітин А2780 та проведеної колокалізації із мітохондріально-специфічним барвником та барвником селективним до ядерного хроматину, визначено, що досліджувані сполуки локалізуються в мітохондріях без вираженої специфічності, а також не проникають до ядра клітин. Окрім того, за результатами МТТ-аналізу встановлено, що барвники з фенільними та амінодифенільними замісниками в мезо-положенні поліметинового ланцюга не проявляють цитотоксичної дії на клітини МCF-7 в представленаому діапазоні концентрацій та часом інкубації 24 години.

До внутрішньоіонних барвників відносять також бетаїнові (цвіттер-йонні) барвники, в яких органічний катіон і аніон з'єднані між собою системою кон'югованих зв'язків, а їх позитивні та негативні заряди розподілені по атомах хромофору. Типовими представниками бетаїнів є барвники на основі квадратної кислоти – сквараїнові (скварилієві) барвники. Науковий інтерес до фотохімії сквараїнів пов'язаний з їх фотостабільністю, яскравістю та здатністю генерувати активні форми кисню при опроміненні світлом відповідної довжини хвилі. При дослідженні індоленінових сквараїнових барвників із бічними різнозарядженими групами при гетероатомі встановлено, що барвники із позитивно зарядженими

бічними замісниками виявляють найменшу спорідненість до альбумінів та мають слабку флуоресценцію в клітинах MCF-7. В той же час, барвники з нейтральними та аніонними замісниками зв'язуються із сироватковими альбумінами із суттєвим підвищеннем квантових виходів флуоресценції, а також проникають у клітини та фарбують елементи цитоплазми. Заміна індоленінових кінцевих груп сквараїнових барвників на бензоіндоленінові привела до суттєвого зміщення в довгохвильову спектральну область, що дозволило вивчати фотосенсибілізаційні властивості даних барвників при опроміненні їх червоним світлом. Вивчення спектральних властивостей бензіндоленінів показало схильність до агрегації барвників із алкільними бічними радикалами. Однак взаємодія із сироватковими альбумінами сприяла руйнуванню агрегатів, що проявлялося у зростанні інтенсивності флуоресценції, при чому 500-кратне зростання за присутності бичачого сироваткового альбуміну виявлено для сквараїнового барвника із бічними метильними замісниками при гетероатомі. Значення констант зв'язування барвників із гідрофобною метильною та гідрофільною сульфо-групою виявилися схожими, що говорить про перевагу гідрофобного механізму зв'язування із альбуміном. У результаті проведення молекулярного докінгу ідентифіковано 5 найбільш ймовірних кишень зв'язування, які виявилися спільними для обох флуоресцентних зондів.

Для сквараїнових барвників бензіндоленінового ряду показана ефективність застосування як фотосенсибілізаторів для фотодинамічної терапії. З використанням пастки синглетного кисню оцінена здатність обраних барвників до генерації активних форм кисню в порівнянні зі стандартом. Виявлено, що бензоіндосквараїн із гідрофобними метильними бічними радикалами генерує активні форми кисню ефективніше при зростанні відсотку води в етанолі, що обумовлено його більшою схильністю до агрегації. Для дослідження спектральних проявів агрегації проаналізовані його спектри поглинання і флуоресценції в сумішах з водою етанолу і ДМСО у різному співвідношенні при постійній концентрації барвника. Доведено, що агрегат має сендвічеву будову,

що сприяє активації сенсибілізації синглетного кисню за рахунок триплет-триплетного переносу енергії.

На клітинній лінії MCF-7 досліджена темнова та світлова токсичність барвників із метильними, сульфо- та карбоксильними бічними замісниками. За результатами МТТ-аналізу виявлено, що усі три сквараїнові барвники генерують активні форми кисню при опроміненні червоним світлом та спричиняють загибель клітин при проведенні дослідження у безсироватковому середовищі. У випадку присутності 5% бичачого альбуміну в середовищі клітин, токсичність барвників з гідрофільними групами не була виявлена навіть за їх високих концентраціях. В той же час для сквараїнового барвника із бічними метильними замісниками при гетероатомі виживаність клітин MCF-7 при опроміненні лазером знижувалася майже на 40% за концентрації 0,1 μM і майже на 90% за концентрації 10 μM , що говорить про фототоксичність даного флуорофору навіть за присутності альбуміну. Такі дані вказують на те, що сквараїновий барвник із метильними замісниками може використовуватися як потенційний фотосенсибілізатор для фотодинамічної терапії.

Для можливості використання барвників як флуоресцентних зондів, проведена ковалентна пришивка D-глюкозаміну через лінкерну карбоксильну групу мероціанінового та сквараїнового барвників. Проаналізовані спектральні властивості отриманих кон'югатів в порівнянні із вихідними барвниками, здатність до нековалентної взаємодії із альбуміном, а також проникність в клітини MCF-7.

Ключові слова: мероціанінові барвники, сироваткові альбуміни, флуоресцентна спектроскопія, флуоресцентна мікроскопія, сквараїнові барвники, спектроскопія поглинання, синглетний кисень, фотодинамічна терапія, поліметинові барвники, фотосенсибілізатори, агрегація.

SUMMARY

Syniugina A. T. *Intraionic dyes as probes for fluorescence visualization of cells and potential reagents for photodynamic therapy* – Qualification scientific work on the right of a manuscript.

The thesis for a scientific degree of Doctor of Philosophy by speciality 109 – Biology and Biochemistry (09 – Biology) - Institute of Molecular Biology and Genetics NAS of Ukraine, Kyiv, 2023.

Spectral-luminescent methods using organic dyes are a powerful tool for biotechnological tasks. Fluorescent dyes that absorb and emit in the far-red and near-infrared region are broadly applicable in many biological studies. Polymethine dyes have found applications as fluorescent labels and probes for tracking biomolecules, as contrast agents, and in photodynamic therapy due to their high quantum fluorescence yields and structural modification capabilities. Furthermore, conjugating therapeutic agents with fluorescent molecules offers a wide range of possibilities for monitoring drug delivery and distribution, both *in vitro* and *in vivo*. The main group of dyes used is cationic cyanine dyes, which can selectively accumulate in the mitochondria of cancer cells. However, such selectivity can have a negative impact on the biodistribution of their conjugates. The objective of this work is to develop long-wavelength neutral or zwitterionic polymethine fluorophores, study their spectral-luminescent properties in free form and as conjugates, interactions with proteins of different nature, penetration into cells, and their photodynamic properties.

Novel series of merocyanine dyes based on variations of heterocycles were synthesized. All synthesized dyes absorbed in the far-red spectral range, making them attractive candidates for further investigation as long-wavelength fluorescent probes in biovisualization. Using spectral-luminescent methods, their spectral characteristics have been studied in methanol, aqueous buffer, and in the presence of proteins of various structures. It has been established that merocyanines non-covalently bind to serum albumins. Based on experimental data, binding constants with human serum albumin were determined. It has been shown that the introduction of a bulky substituent

into the meso-position leads to an increase in the binding constant with human serum albumin. According to the results of molecular docking, the studied dye binds to up to five binding pockets on human albumin due to hydrophobic interactions with amino acid residues. This makes them stable and resistant to dissociation. The formation of the complex is accompanied by significant changes in the spectral-luminescent properties of the dye. This results in an increase in fluorescence intensity, quantum yields, and shifts in the absorption maxima into the long-wavelength part of the spectral range. Flow cytometry and fluorescence microscopy results show that the compounds penetrate into cells. Co-localization with a mitochondrial-specific dye and a nuclear chromatin-specific dye indicates that the merocyanines localize in mitochondria without strong specificity for the nucleus and do not penetrate it. Furthermore, MTT tests showed that dyes with phenyl and aminobisphenyl substituents at the meso-position of central rings do not exhibit cytotoxicity to MCF-7 cells within the studied concentration range and a 24-hour incubation period.

For the possibility of using merocyanine dyes as fluorescent probes, a covalent attachment of D-glucosamine was performed. Spectral properties of the obtained conjugate were analyzed in comparison with the free dye. The ability of the conjugate to penetrate the cell membrane has been investigated.

Among the intramolecular dyes, in addition to neutral ones, betaine (zwitterionic) dyes are included. In these dyes, the organic cation and anion are linked by a system of conjugated bonds, and their positive and negative charges are distributed across the chromophore atoms. Typical representatives of betaines are dyes based on squaric acid – squaraines. The scientific interest in the photochemistry of squaraines is related to their photostability, brightness, and the ability to generate reactive oxygen species upon irradiation with light of a specific wavelength. The investigation of indolenine dyes with side groups of different charges revealed that positively charged side substitutes exhibit the least affinity for bovin serum albumin and have weak penetration through the cell membrane. On the other hand, dyes with neutral and anionic side substituents exhibited significant increases in quantum yields of fluorescence and strong binding to serum albumins.

Replacing the indolenine terminal groups with benzindolenine resulted in a significant shift into the long-wavelength spectral range, allowing the investigation of the photosensitizing properties of these dyes when exposed to red light. Furthermore, the choice of the benzindolenine terminal group is justified by the fact that dyes based on it have low toxicity, satisfactory solubility in physiological solutions, and high quantum fluorescence yields. Study of the spectral properties of benzindolenines revealed their propensity to form aggregates in dyes containing alkyl side radicals. However, interaction with serum albumins led to the disruption of these aggregates, resulting in an increase in fluorescence intensity. The most significant increase, exceeding 500-fold, was observed for the dye with methyl radicals. The binding constants of the dyes with hydrophobic and hydrophilic substituents were found to be similar. This indicates a preference for the hydrophobic binding mechanism with albumin. In the results of the molecular docking, five the most probable binding pockets were identified, which were common for both fluorescent probes.

For benzindolenine dyes of the squaric acid series, the effectiveness of their application for photodynamic therapy was demonstrated. Using singlet oxygen probe, the ability of the selected dyes to generate reactive oxygen species was assessed in comparison with a standard. It was found that squaraine with hydrophobic side substituents generates reactive oxygen species more efficiently with an increasing percentage of water in ethanol. To investigate the spectral manifestations of aggregation, its absorption and fluorescence spectra in mixtures with water, ethanol, and DMSO at different ratios were analyzed. It was established that the aggregate has a sandwich-like structure, which likely activates the sensitization of singlet oxygen via triplet-triplet energy transfer.

The dark and light phototoxicity of the dyes were investigated on the MCF-7 cell line. According to the results of the MTT assay, it was found that all compounds generate reactive oxygen species after irradiated with red light and lead to cell death. The presence of 5% bovine serum albumin affected the toxic effect of the studied dyes. In the case of dyes with hydrophilic substituents, no toxicity was detected at the given concentrations, whereas for the dye with methyl substituents, the viability of MCF-7

cells decreased by almost 40% at a concentration of 0.1 μM and nearly 90% at a concentration of 10 μM when irradiated with a laser. This indicates the toxicity of this fluorophore even in the presence of albumin.

Keywords: merocyanine dyes, serum albumins, fluorescence spectroscopy, microscopy, squaraine dyes, absorption spectroscopy, fluorescence detection, singlet oxygen, photodynamic therapy, fluorescence.

ПУБЛІКАЦІЇ АВТОРА ЗА ТЕМОЮ ДИСЕРТАЦІЇ

Статті у наукових фахових виданнях

1. **Syniugina A.**, Chernii S., Losytskyy M., Syniugin A., Slominskii Y., Baland A., Özkan G., Mokhir A., Kovalska V., Yarmoluk, S. “The synthesis and study of novel merocyanine probes for protein detection and cells visualization” Journal of Photochemistry and Photobiology, 2021, 7, 100046; DOI:10.1016/j.jpap.2021.100046. *Особистий внесок здобувача – збір літературних даних, синтез, спектрально-флуоресцентні дослідження барвників.*
2. **Syniugina A.**, Chernii S., Losytskyy M., Ozkan H.G., Slominskii Yu, Syniugin A., Pekhnyo V., Mokhir A., Yarmoluk S. “N-alkyl functionalized squaraine dyes as fluorescent probes for the detection of serum albumins”. Biopolymers and Cell, 2022; 38(2):103-116 (Open Access, Q4) DOI 10.7124/bc.000A75. *Особистий внесок здобувача – аналіз літературних даних, спектрально-флуоресцентні дослідження барвників, дослідження їх взаємодії із білками, написання та підготовка статті до друку.*
3. **Syniugina A.**, Malanchuk O., Chernii S., Bdzhola A., Horbatok K., Syniugin A., Yarmoluk S. “The squaraine derivatives as potential photosensitizers in photodynamic therapy of cancer”. Biopolymers and Cell, 2023; 39(1):3-13, DOI 10.7124/bc.000A81. *Особистий внесок здобувача – аналіз літературних даних, спектрально-флуоресцентні вимірювання, оцінка фотодинамічних властивостей барвників, проведення MTT-аналізу, підготовка статті до друку.*
4. Ishchenko, A., **Syniugina A.** “Structure and Photosensitizer Ability of Polymethine Dyes in Photodynamic Therapy: A Review”. Theoretical and Experimental Chemistry, 2023; 58(6):373 – 401, DOI 10.1007/s11237-023-09754-9. *Особистий внесок здобувача – підбір та узагальнення літератури.*
5. **Синюгіна А.Т.**, Іщенко О.О. «Вплив агрегації бензоіндоскварайнів на генерацію синглетного кисню». Допов. Нац. акад. наук України. № 4. С. 60-67.

doi.org/10.15407/dopovidi2023.04.060. *Проведення експериментальної частини, підготовка статті до друку.*

Тези наукових доповідей

1. **Syniugina A.**, Chernii S., Slominskiy Yu., Yarmoluk S. /The study of N-alkyl functionalized indolenine based squaraines as fluorescent probes for proteins detection // Всеукраїнська наукова конференція студентів, аспірантів та молодих учених з міжнародною участю „Хімічні проблеми сьогодення”, Збірник тез, 25-27.05.2020, Вінниця, Україна. - Р. 42
2. **Syniugina A.**, Chernii S., Synugin A., Baland A., Kovalska V., Yarmoluk S. /The study of novel functionalized merocyanine dyes for albumins detection // XIV IMBG All-Ukrainian Conference of Young Scientists, 27-28.05.2020, Kyiv, Ukraine. – P. 21.
3. **Syniugina A.T**, Chernii S.V., Syniugin A.R., Losytskyy M.Yu., Slominskii Yu.L., Mokhir A.A., Kovalska V.B., Yarmoluk S.M. /Merocyanines as fluorescent probes for the detection in microscopy // IV International scientific conference for students and young scientists, 23-25.03.2021, Vinnytsia, Ukraine.
4. Chernii S.V., **Syniugina A.T.**, Slominskii Yu.L., Özkan H.G., Mokhir A.A., Kovalska V.B., Yarmoluk S.M. /Squaraine dyes as fluorescent probes for microscopy and the detection of proteins // XVII Міжнародна наукова конференція студентів і аспірантів «Молодь і поступ біології» (Львів, 19–21 квітня 2021).
5. **Syniugina A.**, Cherniy S., Malanchuk O., Suniugin A., Yarmoluk S. /D-glucosamide-containing derivatives of organic dyes as fluorescence probes for cell imaging // All-Ukrainian conference on molecular and cell biology with international participation, 15 -17.06.2022, p.103. Kyiv, Ukraine.

ЗМІСТ

СПИСОК УМОВНИХ СКОРОЧЕНЬ	14
ВСТУП.....	15
РОЗДІЛ 1	20
ОГЛЯД ЛІТЕРАТУРИ	20
1.1 Вплив структури поліметинів на їх властивості для використання у біовізуалізації.....	20
1.2 Взаємодія флуорофорів з альбумінами	29
1.3 Поліметинові барвники як фотосенсибілізатори для фотодинамічної терапії	36
1.4 Вплив взаємодії барвників із альбумінами на їх фотодинамічні властивості	46
РОЗДІЛ 2	51
МАТЕРІАЛИ І МЕТОДИ	51
2.1 Матеріали.....	51
2.2 Синтез барвників	51
2.3 Спектрально-флуоресцентні вимірювання	56
2.4 Визначення константи зв'язування флуорофорів із альбумінами	57
2.5 Культивування клітин	59
2.6 Візуалізація живих клітин.....	59
2.7 Конфокальна візуалізація фіксованих клітин.....	60
2.8 Проточна цитометрія.....	60
2.9 Визначення цитотоксичності барвників.....	61
2.10 Молекулярний докінг.....	62
2.11 Молекулярна динаміка.....	62
2.12 Статистичний аналіз.....	63
РОЗДІЛ 3	64
МЕРОЦІАНІНОВІ БАРВНИКИ	64

3.1 Синтез мероціанінових барвників.....	67
3.2 Спектрально-флуоресцентні характеристики досліджуваних сполук	68
3.3 Спектральні властивості мероціанінів за присутності білків	75
3.4 Молекулярний докінг флуоресцентного зонду 3.4 по всій поверхні молекули сироваткового альбуміну людини.....	80
3.5 Дослідження клітинної проникності барвників та їх цитотоксичності ..	87
3.6 Флуоресцентна мікроскопія барвників 3.3 та 3.4 для фарбування клітин	89
РОЗДІЛ 4	92
СКВАРАЙНОВІ БАРВНИКИ	92
4.1 Синтез індоленінових сквараїнів	93
4.2 Спектрально-флуоресцентні властивості індоленінових сквараїнів.....	94
4.3 Спектральні властивості індоленінових сквараїнів за присутності білків	
96	
4.4 Флуоресцентна мікроскопія барвників 4.1 – 4.3 для фарбування ракових клітин	99
4.5 Спектрально-флуоресцентні властивості бензіндоленінових сквараїнів.....	101
4.6 Спектрально-флуоресцентні властивості флуорофорів за присутності глобулярних білків	104
4.7 Оцінка констант зв'язування барвників з BSA	107
4.8 Молекулярний докінг флуоресцентного зонду 4.5 по всій поверхні молекули бичачого сироваткового альбуміну	109
4.9 Дослідження проникності в клітини та розподілу методом флуоресцентної мікроскопії	116
4.10 Дослідження фотодинамічної активності бензіндоленінових барвників	117
4.11 Дослідження цитотоксичності бензіндоленінових барвників	123
РОЗДІЛ 5	129

КОН'ЮГАТИ НА ОСНОВІ МЕРОЦІАНІНОВОГО І.....	129
СКВАРАЇНОВОГО БАРВНИКІВ	129
5.1 Синтез кон'югату 3.4-GlcN.....	129
5.2 Спектральні властивості кон'югату 3.4-GlcN.....	130
5.3 Синтез кон'югату 4.3-GlcN.....	131
5.4 Дослідження спектральних властивостей кон'югату глюкозаміну із барвником 4.3.....	132
5.5 Дослідження проникності кон'югатів до клітин MCF-7	133
ВИСНОВКИ.....	135
СПИСОК ВИКОРИСТАНИХ ДЖЕРЕЛ	137
ДОДАТОК А	160

СПИСОК УМОВНИХ СКОРОЧЕНЬ

ДМСО	–	Диметилсульфоксид
OD	–	Оптична густина
ФДТ	–	Фотодинамічна терапія
UV	–	Ультрафіолетова область спектру
VIS	–	Область видимого спектру
HRMS		Массспектрометрією високої роздільної здатності
ТШХ	–	Тонкошарова хроматографія
ЯМР	–	Ядерний магнітний резонанс
MTT		Тіазоліл синій тетразолій бромід
HBSS	–	Збалансований сольовий розчин Хенкса
PBS	–	фосфатно-сольовий буфер
DPBS	–	Фосфатний буферний розчин Дульбекко
ESI	–	Електроспрей іонізація
ПБ	–	Поліметиновий барвник
ФС	–	Фотосенсиблізатор
HSA	–	Сироватковий альбумін людини
BLG	–	Бета-лактоглобулін
BSA	–	Бичачий сироватковий альбумін
ESA	–	Кінський сироватковий альбумін
BLG	–	Фетальна бичача сироватка
LYS	–	Лізоцим
BLG	–	Бета лактоглобулін
OVA	–	Овалбумін
ДНК	–	Дезоксирибонуклеїнова кислота
TRIS	–	Тріс-оксиметил-аміно-метан
DPBF	–	1,3-дифенілізобензофуран
FBS	–	Фетальна бичача сироватка

ВСТУП

Актуальність теми. Швидкі темпи розвитку біотехнологій створюють необхідність у вдосконаленні методів та матеріалів для виявлення та візуалізації біологічних об'єктів. Традиційне використання радіоізотопів призводить до серйозних обмежень, таких як високі витрати, нестабільність та створення небезпечних умов праці. У цьому контексті сучасні технології флуоресцентної діагностики виходять на передній план, забезпечуючи не лише безпечність, але й зручність, що відкриває широкі можливості для точного вивчення біологічних процесів. Існує велика кількість флуоресцентних сполук, проте найбільш привабливими є поліметинові барвники, що вирізняються яскравістю, високими квантовими виходами флуоресценції, біосумісністю та можливістю хімічної модифікації структури. Найвищу ефективність для біовізуалізації мають поліметини, що випромінюють в довгохвильовій частині спектрального діапазону, тобто в області, де світло має більшу глибину проникнення в тканини (650-1400 нм).

Для біологічних застосувань переважно використовують катіонні поліметинові барвники. Проте здатність до селективного накопичення таких барвників в мітохондріях не дає змогу сконструювати кон'югати для таргентної доставки потрібних молекул в певні компартаменти клітини. Для проведення дизайну адресних флуоресцентних кон'югатів необхідним є дослідження внутрішньоіонних поліметинів. До таких сполук відносять мероціанінові та сквараїнові барвники.

Аналіз літератури показав, що основна увага при дослідженнях мероціанінових барвників, приділяється сполукам із мезо-незаміщеним поліметиновим ланцюгом. Практично не відображені вплив мезо-замісників на взаємодію із сироватковими альбумінами та клітинну проникність. Також малочисельними є дослідження із вивченням логічних серій сквараїнових барвників, які б розглядали вплив заряду чи довжини алкільного радикалу при

гетероатомі на зв'язування із біомакромолекулами та на клітинну проникність. Тоді як нековалентне зв'язування з альбумінами, є основним механізмом біорозподілу флуорофору чи його доставки до потенційної мішенні.

Окрім візуалізації, деякі поліметини, зокрема сквараїнові барвники, привертають увагу науковців через здатність генерувати активні форми кисню. Це робить можливим використання їх як потенційних реагентів для фотодинамічної терапії. Оскільки фотодинамічна терапія є неінвазивним методом руйнування пухлин, пошук ефективних фотосенсиблізаторів є важливим напрямком досліджень. Розподіл у крові та зв'язування з альбумінами є необхідними характеристиками, які можуть впливати на фармакокінетику та на протипухлинну ефективність фотосенсиблізаторів у клінічній фотодинамічній терапії.

Отже, пошук нових флуоресцентних довгохвильових барвників для візуалізації клітин та як реагентів для фотодинамічної терапії, вивчення впливу їх будови на ефективність зв'язування із альбумінами, а також на клітинну проникність є актуальною задачею на сьогоднішній день. Розробка та дослідження флуорофорів, що не містять заряду чи заряд є скомпенсованим всередині молекули, допоможе розширити практичні можливості для флуоресцентної візуалізації клітин та дизайну адресних флуоресцентних кон'югатів.

Зв'язок роботи з науковими програмами, планами, темами. Дисертаційна робота відповідає основному плану науково-дослідних робіт відділу біомедичної хімії Інституту молекулярної біології і генетики НАН України та виконувалася в рамках гранту Європейського Союзу «Горизонт 2020» дослідної та інноваційної програми імені Марії Складовської-Кюрі «NoBiasFluors», №872331 (2020 – 2024 pp.).

Мета і завдання. Метою роботи є пошук нових реагентів для візуалізації клітин і фотодинамічної терапії на основі внутрішньоіонних барвників.

Для досягнення мети були поставлені наступні завдання:

1. Синтезувати довгохвильові мероціанінові та сквараїнові барвники та вивчити їх спектрально-флуоресцентні характеристики.

2. Визначити вплив замісників мероціанінових та сквараїнових барвників на процеси зв'язування із альбуміном.

3. Дослідити мероціанінові та сквараїнові барвники як зонди для флуоресцентної візуалізації клітин на прикладі клітинних ліній MCF-7 та A2780.

4. Вивчити фотодинамічні властивості бензіндольних сквараїнових барвників із використанням пастки синглетного кисню та на клітинній лінії MCF-7.

5. Дослідити вплив агрегації та зв'язування із бичачим сироватковим альбуміном на фотодинамічні властивості сквараїнових барвників.

6. Синтезувати кон'югати мероціанінових та сквараїнових барвників із глюкозаміном, вивчити їх спектральні властивості та проникність в клітини MCF-7 за допомогою конфокальної мікроскопії.

Об'єкт дослідження: мероціанінові та сквараїнові барвники, та їх комплекси із сироватковими альбумінами.

Предмет дослідження: спектрально-флуоресцентні характеристики внутрішньоіонних барвників в органічному, водному середовищах та в присутності глобулярних білків.

Методи дослідження. У роботі використані наступні методи дослідження: органічний синтез, флуоресцентна спектроскопія, електронна спектроскопія поглинання, конфокальна та флуоресцентна мікроскопії, проточна цитометрія, молекулярний докінг.

Наукова новизна одержаних результатів. Вперше досліджений ряд мероціанінових барвників із жорстко закріпленими мезо-замісниками в поліметиновому ланцюзі, а також ряд сквараїнових барвників із бічними замісниками різної йонності та ліпофільноті. Показано, що введення мезо-замісника в поліметиновий ланцюг мероціанінових барвників підвищує фотостійкість молекули, впливає на спектральні характеристики, а також на зв'язування із людським сироватковим альбуміном.

На прикладі сквараїнових барвників встановлено, що структура бічного радикалу впливає на зв'язування із альбумінами, їх проникність у клітину, а також на їх здатність до генерації активних форм кисню. Встановлено, що бензоіндоскварайн із метильними бічними радикалами генерує активні форми кисню ефективніше, ніж його аналоги із гідрофільними радикалами, що обумовлено його більшою склонністю до агрегації. Показано, що агрегація сквараїнів, яка, як правило, небажана у медико-біологічних експериментах, може відігравати корисну роль для сенсибілізації активних форм кисню.

Практичне значення одержаних результатів. Розроблені нові реагенти для флуоресцентної візуалізації клітин на основі внутрішньоіонних мероціанінових та сквараїнових барвників. Барвники збуджуються червоним світлом, що робить їх перспективними мітками та зондами через можливість використання в області низької автофлуоресцентної інтерференції.

Запропонований потенційний фотосенсибілізатор на основі сквараїнового барвника, що характеризується збудженням у довгохвильовій частині спектру, та здатний до флуоресцентної візуалізації клітин.

Особистий внесок здобувача. Основний обсяг експериментальних даних частини, які викладені у дисертації, отримані за безпосередньою участю її автора. Автором самостійно вивчені спектральні характеристики барвників, їх взаємодія із альбумінами, оцінені фотодинамічні властивості сквараїнових барвників *in vitro*. Синтез сполук проведено у співпраці з к.х.н. А.Р. Синюгіним. Дані по флуоресцентній та конфокальної мікроскопії отримані у співпраці з к.б.н. С.В. Черній та к.б.н. с.н.с. О.М. Маланчук. Обчислення констант зв'язування з альбумінами здійснено спільно з к.ф.-м.н. с.н.с. М. Ю. Лосицьким. Дослідження молекулярного докінгу було проведено із к.б.н. с.н.с. Г.П. Волинець. Планування роботи здійснено із науковим керівником д.х.н, проф. С.М. Ярмолюком.

Апробація результатів дисертації. Результати дисертаційної роботи доповідалися на конференціях: Всеукраїнська наукова конференція молодих вчених (Київ, Україна, 2020), Міжнародна наукова конференція для студентів та молодих учених «Хімічні проблеми сьогодення» (Вінниця, Україна, 2020),

Міжнародна наукова конференція для студентів та молодих учених з міжнародною участю «Хімічні проблеми сьогодення» (Вінниця, Україна, 2021), наукова конференція «Львівські хімічні читання 2021» (Львів, Україна, 2021), Міжнародна наукова конференція студентів і аспірантів «Молодь і поступ біології» (Львів, Україна, 2021), XV Всеукраїнська конференція з молекулярної та клітинної біології з міжнародною участю (Київ, Україна, 2022), Конференція молодих вчених Інституту молекулярної біології і генетики (Київ, Україна, 2023).

Публікації. Результати дисертаційної роботи опубліковано у 5 статтях у наукових фахових журналах, а також представлено на 5 наукових конференціях у вигляді усних доповідей і стендових презентацій.

Структура та обсяг дисертації

Дисертаційна робота складається з анотації, вступу, літературного огляду (розділ 1), матеріали і методи (розділ 2), обговорення отриманих результатів (розділи 3, 4, 5), висновків, списку використаних джерел та додатку. Роботу викладено на 162 сторінках стандартного друкованого тексту, містить 75 рисунків та 9 таблиць, переліку використаних джерел (181 посилання).

РОЗДІЛ 1

ОГЛЯД ЛІТЕРАТУРИ

1.1 Вплив структури поліметинів на їх властивості для використання у біовізуалізації

Флуоресцентна візуалізація із використанням органічних барвників, зокрема поліметинових барвників, є перспективним та потужним інструментом для детекції та візуалізації біологічних об'єктів. Наразі флуоресцентна візуалізація використовується для вирішення наступних біологічних задач: ідентифікація клітинних процесів, візуалізація однієї клітини *in vivo*, ідентифікація нових терапевтичних стратегій, полегшення хірургічного втручання із наведенням зображень. До основних переваг техніки флуоресцентної візуалізації відносять просторово-роздільну здатність, безпечність проведення, високу вибірковість та чутливість [1-4]. Основними необхідними умовами для використання органічних флуорофорів у біоімейджингу є високі коефіцієнти екстинкції, квантові виходи флуоресценції, гарна розчинність, нетоксичність, а також можливість структурної модифікації: введення функціональних груп, що впливають на ліпофільність чи розчинність флуорофору та груп, що можуть бути використані для кон'югації з біомолекулами, специфічними лігандами, ліками [2, 5]. Найбільш цікавими та перспективними є поліметинові барвника, що мають флуоресценцію в червоному та близькому червоному спектральному діапазоні, тобто в області, де світло має глибше проникнення в тканини - так зване терапевтичне вікно (650-1400 нм). Крім того, на візуалізацію біомолекул *in vivo* за допомогою NIR-барвників практично не впливає фонова автофлуоресценція. Пошук нових поліметинових барвників, що мають високий квантовий вихід флуоресценції у водних розчинах, хімічну стійкість, фотостабільність є актуальним на сьогоднішній день. Структурна модифікація є одним із варіантів зміщення

поглинання флуорофору в довгохвильову частину спектрального діапазону. Наприклад, максимальна довжина хвилі поглинання та випромінювання може регулюватися кінцевими групами та довжиною поліметинового ланцюга. Подовження спряженого ланцюга збільшує ступінь делокалізованих π-електронів, що є класичним методом отримання барвників із батохромним зсувом. Проте дана стратегія також може призводити до порушення рівномірності у розподілі заряду в хромофорі та до зниження фотостабільності молекул [6]. Відсутність жорсткості поліметинового ланцюга призводить до процесу ізомеризації, який викликає розсіювання енергії збудження та безвипромінюальної дезактивації збудженого стану, що зменшує квантовий вихід та фотостабільність [7]. Для підвищення стабільності поліметинового барвника (ПБ), проводять структурну оптимізацію, наприклад, закріплення поліметинового ланцюга каркасними угрупуваннями [8]. В ролі таких угрупувань найчастіше використовуються насычені шестичленні циклічні місткові групи. У γ,γ' - положенні вони не порушують електронну симетрію молекули своїм донорним ефектом, проте викликають додатковий батохромний зсув смуги поглинання і вирівнюють розподіл заряду між кінцевими гетероциклічними групами і ланцюгом [9]. Останнє забезпечує додаткове зростання інтенсивності і звуження смуги поглинання.

Введення гетероциклів на кінцях поліметинового ланцюга, що мають власну розширену систему конюгації є альтернативним підходом для синтезу довгохвильових поліметинових флуорофорів без зниження фотохімічної стабільності [10]. Введення кількох донорних груп в структуру вихідного барвника типу 1 (рис. 1.1) призводить до зміщення максимумів поглинання в інфрачервону області та зростання квантових виходів незважаючи на відносно короткий метиновий ланцюг [11]:

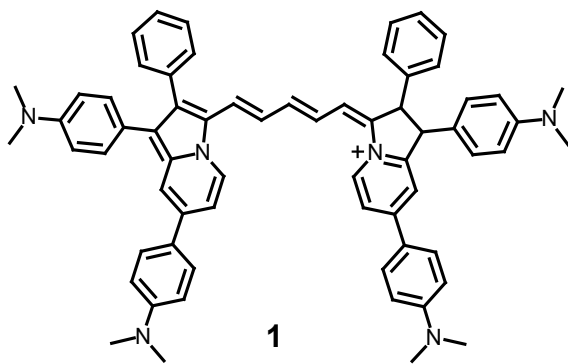


Рис. 1.1 Приклад барвника 1 із розшиrenoю π -системою

Проте, доляючи проблему поглинання, подібна стратегія сприяла появі іншій проблемі – незадовільній розчинності отриманих сполук у фізиологічному середовищі.

Ще один корисний крок - заміщення атому водню в мезо-положенні каркасної групи замісниками. Наприклад, введення атому хлору викликає додатковий батохромний зсув [12], покращує фотостабільність, збільшує квантовий вихід, зменшує фотовідбілювання та агрегацію в розчині [13,14]. Окрім того, атом хлору в мезо-положенні є хімічно активним і слугує для створення похідних на основі флуорофору [15, 16].

Модифікація гетероциклів бічними групами найчастіше приводить до оптимізації розчинності, гідрофільністі чи гідрофобності барвника, можливості його ковалентного прив’язування до біомолекул тощо, та практично не впливає на спектрально-люмінесцентні властивості отриманих сполук. Так, введення залишка капронової кислоти в **IR 780** [17], **IR 808** [18] та **ICG (IR825)** [19] підвищує жиророзчинність та дозволяє використовувати барвник як ковалентну флуоресцентну мітку. Для уникнення агрегації структуру гетероциклів модифікують введенням гідрофільних груп [20, 21]. Проте структурні модифікації можуть вливати на їх біологічні властивості, що необхідно враховувати при розробці барвників [22]. Так, для барвників **IR-780** [17], **IR-783** [23] та **MNI-148** [24], показана вибіркова здатність накопичуватися в ракових клітинах і давати вищі співвідношення сигнал/шум з мінімальною фоновою флуоресценцією (рис. 1.2). Найкращу вибірковість для візуалізації пухлин

продемонстрував барвник **IR-783**, що містить в бічному ланцюзі сульфогрупи, які забезпечують більшу розчинність у водному середовищі, нижчу токсичність, швидке виведення з організму та високі квантові виходи (0,095 в порівнянні з **ICG** (іndo-цианіновий зелений), що має квантовий вихід 0,025). Барвник **IR-783** проявив специфічність у поглинанні культивованими клітинами раку шийки матки із можливістю виявляти пухлинні клітини в клінічних зразках і циркулюючій крові. Це може використовуватися для візуалізації глибоких тканин раку шийки матки [23].

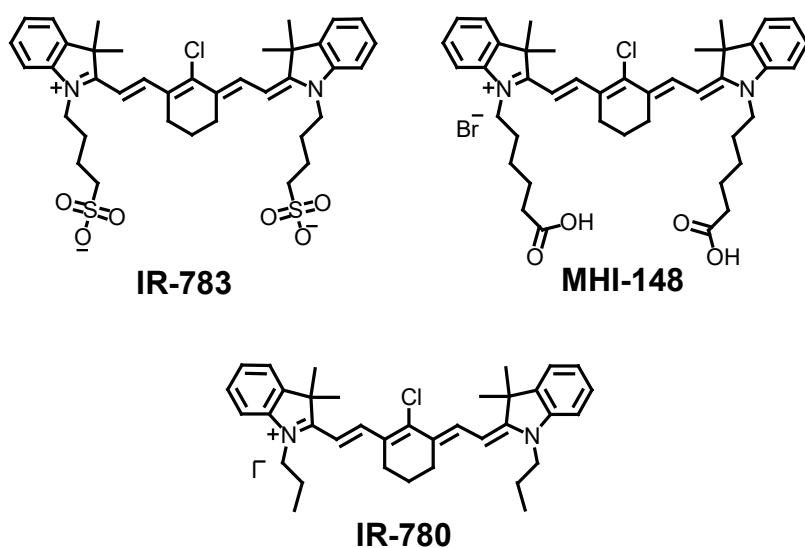


Рис. 1.2 Будова барвників **IR-780**, **IR-783**, **MHI-148**

Наявність карбоксильної групи у барвника **MHI-148** робить його здатним до подальшої структурної модифікації або створення кон'югатів на його основі. При чому барвник з бічним ланцюгом довжиною $n = 5$, дає найвищий сигнал при мікроскопічному дослідженні накопичення барвника в ракових клітинах підшлункової залози [25].

Кон'югати на основі поліметинових барвників застосовують для вивчення розподілу препарату [26] чи біомолекул [27], а також для дослідження їх фармокінетики. Окрім того, кон'югація флуорофору із лігандом, що здатний до селективного зв'язування із мішенню вивчається для таргентного націлювання. Як ліганди використовують різноманітні антитіла [28], пептиди [29], фолієву

кислоту [30], похідні глюкози [31-33]. Також можливе створення флуоресцентних зондів із селективним націлюванням в результаті нековалентної збірки [34].

Чимало робіт протягом останніх двадцяти років присвячені виявленню пухлин молочної залози за допомогою барвника індоціанін зелений (**ICG**) як контрастного агенту, оскільки **ICG** є єдиним поліметиновим барвником, дозволений у медичному використанні (рис. 1.3) [35-37].

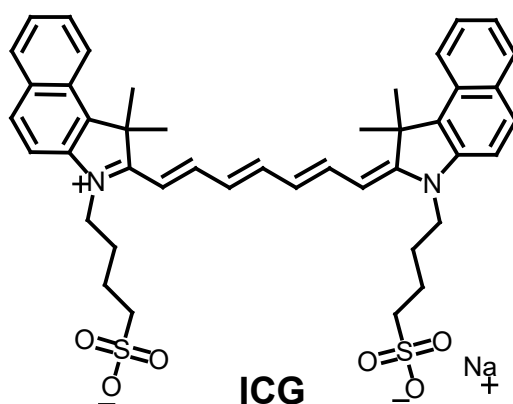


Рис. 1.3 Будова барвника індоціанінового зеленого

Проте міцне зв'язування з білками плазми та швидке очищення печінкою обмежують його ефективність як агенту візуалізації, особливо для виявлення глибоких тканин. **ICG** не властиве націлювання на пухлину на основі селективного зв'язування. Тому продовжується пошук нових сполук на його основі з можливістю використання для виявлення пухлин *in vivo*. Зокрема, ведуться спроби модифікації **ICG**, селективними до ракових пухлин, групами. Наприклад, введення pH-Low Insertion Peptide (pHLIP) – водорозчинного гідрофобного pH-чутливого пептиду, що націлевий на пухлини завдяки їх високій кислотності. Дослідження даного кон'югату продемонструвало ефективне флуоресцентне виявлення малих, середніх і великих пухлин, що розташовані глибоко в тканині, включаючи невеликі мікрометастази поблизу. Отримані результати дають надію на покращення резекції краю під час операції [38]. Еберт та його співробітники провели модифікацію структури **ICG**, з

утворенням його гідрофільного аналогу, барвника **SIDAG** (рис. 1.4), з низьким коефіцієнтом розподілу та низьким рівнем зв'язування з білками плазми [39].

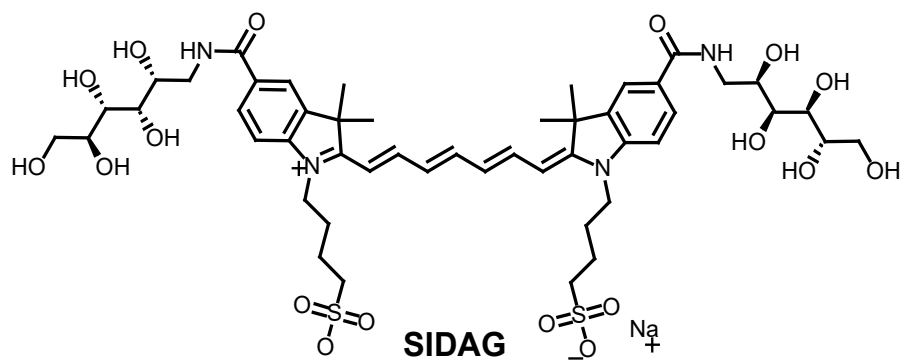


Рис. 1.4 Приклад модифікації ICG

SIDAG продемонстрував яскравий сигнал флуоресценції в пухлинній тканині, створюючи достатній контраст для її візуалізації. Через низький рівень зв'язування з білками плазми барвник швидко дифундував крізь пори змінених пухлинних судин і так досягав більш глибоких ділянок пухлинної тканини за коротший час. Також виявлено високий флуоресцентний контраст через 24 години, механізм якого потребує додаткового дослідження [39].

Серед поліметинів оремий клас становлять мероціанінові барвники. Мероціанінові барвники - це нейтральні несиметричні сполуки, які складаються з двох фрагментів – донора (D) і акцептора (A), що поєднані між собою поліметиновим ланцюгом [40]. Такі барвники можна розглядати як гібрид двох симетричних барвників катіонного та аніонного типу з однаковою довжиною поліметинового ланцюга. Мероціаніни теоретично описують за допомогою суперпозиції трьох основних граничних структур, які відповідають уявним ідеальним станам: неполярний поліен (**a**) та диполярний поліен (**b**), а також ідеальний поліметин (**c**) (рис. 1.5). У випадку слабких донорно-акцепторних властивостей барвник в основному стані наближається до нейтральної структури **a** ідеального поліенового стану. При збільшенні донорних чи акцепторних властивостей кінцевих груп відбувається збільшення або позитивного або негативного зарядів внаслідок зміщення електронної густини за допомогою

поліметинового ланцюга від D до A. При певному підборі D та A усі зв'язки стають полуторними з утворенням структури *б*, яка відповідає ідеальному поліметиновому стану [41-44].

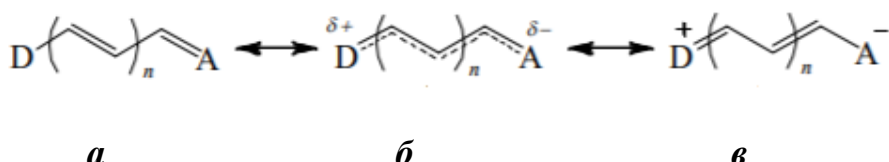


Рис. 1.5 Основні граничної будови основних мероціанінових барвників

Подальше зростання донорно-акцепторних властивостей фрагментів D та A приводить до утворення структури *в* з протилежним порядком зв'язків в порівнянні зі структурою *а*: досягається структура поліену із зарядами на кінцевих групах, проте, як і в структурах *а* та *б*, із сумарним нульовим зарядом. Через можливість плавної зміни електронної будови від структури *а* до *в* шляхом підбору D та A, мероціаніни називають донорно-акцепторними полієнами [45]. Можливість резонансної делокалізації в поліеновій системі робить мероціанінові барвники чутливими до зміни водневих зв'язків із оточуючим розчинником – явище сольватохромії. Для мероціанінів із граничною структурою між *б* та *в*, поглиблення кольору відбувається під час переходу до неполярних розчинників. Тоді як для структур із проміжним станом між *а* та *б* поглиблення кольору спостерігається у більш полярних розчинниках. При певному підборі донорних і акцепторних груп, а також природи розчинника, можна досягнути стану мероціаніна, що відповідає ідеальному поліметиновому стану. У такому випадку як зменшення так і збільшення полярності розчинника приводить лише до гіпсохромним зсувам смуг поглинання [45].

Оскільки мероціанінові барвники є особливо чутливими до природи розчинника чи середовища, вони знайшли своє використання для побудови порівняльної шкали полярності розчинників та для визначення води в органічних середовищах [46]. Також, мероціанінові барвники стали перспективними матеріалами в молекулярній біології, як фотосенсибілізатори для

фотодинамічної терапії [47], як флуоресцентні зонди для визначення градієнтів полярності біологічних середовищ, зонди полярності мембран [45], як мітки специфічних біологічних сайтів [48].

Зміни в локальній сольватациї приводять до змін інтенсивності флуоресценції, а також до зсувів в максимумах збудження та випромінювання. Ці зміни використовують для вимірювання активності цільового білка при кількісній візуалізації живих клітин [49]. Флуоресцентні біосенсори на основі чутливих до навколошнього середовища мероціанінів вивчали для відстеження ендогенного Cdc42 у живих клітинах. Інтенсивність флуоресценції зростала при зв'язуванні з активованим Cdc42 [50].

Активно проводяться дослідження при використані нейтральних мероціанінових барвників близького інфрачервоного діапазону як зондів для візуалізації *in vivo* β -амілоїдних бляшок. Утворення β -амілоїдних бляшок у головному мозку є однією з патологічних особливостей хвороби Альцгеймера. Існує чимало зондів, що вивчаються для візуалізації β -агрегатів, оскільки це є важливим інструментом для ранньої діагностики хвороби [51]. Серед мероціанінових барвників також проводиться пошук, оскільки дані барвники здатні проникати через гематоенцефалічний бар'єр [52-54]. Шляхом модифікації ціанінового скелета барвника **IR-780** синтезовані нові мероціанінові барвники [52] та їх похідні [53], які демонстрували значне посилення флуоресценції при взаємодії з амілоїдними бляшками внаслідок зв'язування з гідрофобними щілинами фібрил. Барвники подібної роторної структури також використовувалися для моніторингу змін в'язкості ліпідних крапель [55, 56].

В'язкість і полярність розчинника, а також здатність до утворення стійких водневих зв'язків гетероатомами барвника, є важливими факторами при дослідженні флуоресценції мероціанінів. Барвники із слабкими донорами, такими як бензотіазол, бензооксазол, індоленін показали найбільші значення інтенсивності флуоресценції в полярних розчинниках [50], структурна заміна в положенні 2 барбітурату на селен призвела суттєвого зменшення фотоізомеризації і, відповідно, до зростання флуоресценції [57]. Введення

малонітрильного фрагменту як донора, приводить до посилення випромінювання флуоресценції у сильнов'язких середовищах [53]. Окрім того, увага дослідників прикута до вивчення мероціанінів з похідними барбітурової [58-61] та тіобарбітурової кислоти [60-63], індадіону [64, 65], піразолідіндіону [66], триціанофурану [67].

Сквараїнові (скварилієві) барвники, які є продуктами конденсації квадратної кислоти з багатими на електрони гетероциклами, являють собою сімейство сполук, які знайшли широке застосування в галузі фотоніки завдяки своїм унікальним властивостям, а саме різкому та інтенсивному поглинанню у видимому та близькому інфрачервоному діапазоні, високим молярним коефіцієнтам екстинкції та високим квантовим виходам флуоресценції [68-70]. Електронну будову сквараїнів можна записати у вигляді граничних структур (рис. 1.6). За рахунок того, що дипольний момент структур *в*, *г* менше за *а* та *б*, сквараїновим барвникам притаманна слабка від'ємна сольватхромія [71-73].

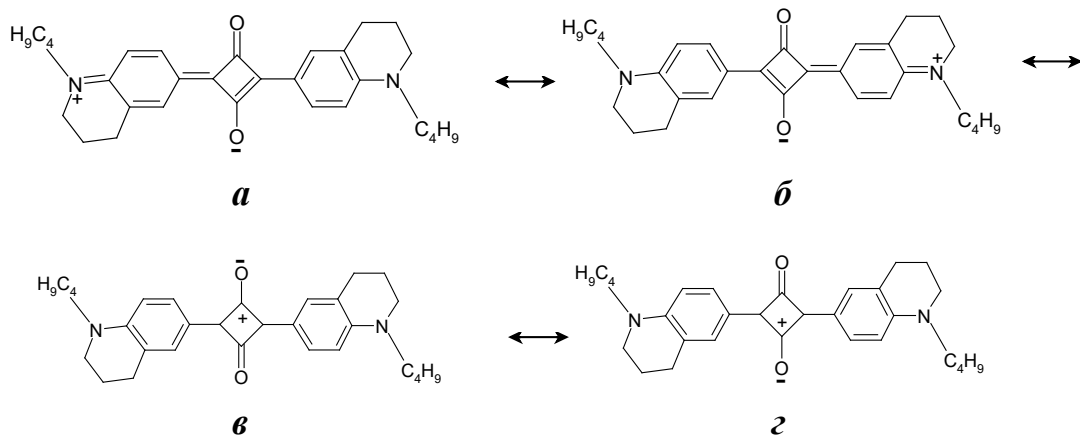


Рис. 1.6 Основні граничної будови основних сквараїнових барвників

Встановлено, що введення дицианометилену [74] замість центрального атома кисню в квадраті та галогенів в гетероциклічні фрагменти [75] приводить до помірного батохромного зсуву в спектрі поглинання, а найбільші квантові виходи мають барвники з бензоксазоловим гетероциклічним фрагментом [76]. Включення сульфонатних та карбоксильних груп покращує розчинність сквараїнів у воді [77] та робить їх здатними до подальшої кон'югації з біомолекулами [78] та націлюючими лігандами [79]. Завдяки своїй цвіттеріонній

будові, молекули сквараїнів є більш полярними, ніж аналогічні за будовою катіонні барвники [7]. Тому для них характерним є утворення агрегатів в полярних розчинниках. І навпаки, в гідрофобному оточенні чи неполярному середовищі, квантові виходи флуоресценції зростають, що робить їх перспективними флуоресцентними зондами.

1.2 Взаємодія флуорофорів з альбумінами

Сироватковий альбумін (SA) є найбільш поширеним білком у крові. Взаємодії SA з малими лігандами стали відомі завдяки використанню в клінічних, біологічних і фармацевтичних цілях. У людини людський сироватковий альбумін (HSA) демонструє високу стабільність і здатність зв'язувати різні лікарські речовини. Зміна рівню альбуміну в крові, як його зменшення, так і зростання, вказує на ряд захворювань таких як ниркова недостатність, гіпертонія, цукровий діабет та ін. [80, 81]. Бичачий сироватковий альбумін (BSA), який є гомологом HSA, використовується у фармакокінетичних і афінних тестах ліків як заміна HSA.

Здатність альбуміну зв'язуватися з органічними сполуками залежить від тривимірної структури сайтів зв'язування, які розподілені по біомолекулі. Білок HSA є одним із основних білків-переносників в організмі та становить приблизно половину білка, що міститься в крові людини. Він утворений одним поліпептидним ланцюгом, який організований у три домени, кожен з яких складається з двох субдоменів А і В [82]. HSA містить численні сайти зв'язування, але загальновизнано, що органічні ліганди зв'язуються в областях, які розташовані в гідрофобних порожнинах субдоменів IIА та IIIА: сайт I та сайт II. Спорідненість зв'язування із сайтом I (або сайт варфарину), в основному відбувається через гідрофобну взаємодію, переважає зв'язування великих гетероциклічних і негативно заряджених сполук (рис. 1.7). Тоді як сайт II (або сайт індол-бензоіазепіну) включає комбінацію гідрофобних, водневих зв'язків та

електростатичних взаємодій і є кращим місцем для малих ароматичних карбонових кислот [83].

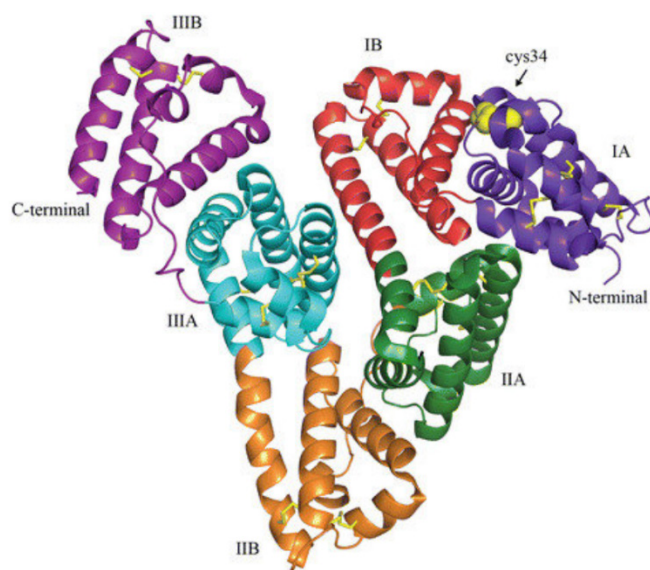


Рис. 1.7 Будова людського сироваткового альбуміну

Наприклад, флубіропрофен арилпропіонової кислоти в основному зв'язується із сайтом II, тоді як його метиловий ефір переважно розташовується на сайті I [83]. Альбумін може зв'язуватися з декількома лігандами різною мірою, і рівень зв'язування сполуки може варіюватися від дуже сильного до слабкого залежно від різних афінностей, відповідальних за взаємодію.

При взаємодії поліметинових флуорофорів із альбуміном в більшості випадків відбувається зростання інтенсивності флуоресценції барвників. Розглядають два механізми взаємодії: гідрофобні при фіксуванні молекули барвника в гідрофобній кишенні протеїну та електростатичні за рахунок створення йонних пар між зарядженими групами барвника та амінокислотами білка. Вцілому HSA має загальний негативний заряд (його $pK_a \approx 5,4$ [84]) при фізиологічних значеннях pH і має високу розчинність завдяки наявності на поверхні великої кількості іонізованих груп.

Якщо обговорювати здатність флуорофорів до візуалізації та їх накопичення в пухлинах, потрібно брати до уваги фармокінетику процесу доставки флуорофору до клітин. Основними факторами, що впливають на

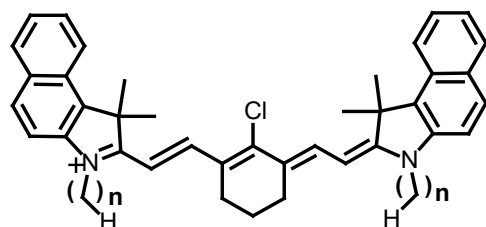
процес розподілення – це структура тканин, pH середовища і здатність речовини зв'язуватися з макромолекулами [85]. При потраплянні у плазму крові речовина переміщується разом із кров'ю і на її розподіл може вплинути зв'язування з білками плазми. Взаємодії білок–ліганд відбуваються переважно в результаті гідрофобних сил, водневих зв'язків і сил Ван-дер-Ваальса. Через високу молекулярну масу білків плазми, зв'язані з ними барвники не можуть проникати крізь стінки капілярів. Отже, фракція барвників, що зв'язана з білками плазми, не одразу доступна для розподілу в позасудинний простір [86]. Взаємодія хімічної речовини з білками плазми є зворотнім процесом. Проникнення в клітину і повернення в плазму можливе лише для незв'язаних речовин. Сполуки кислотного характеру зв'язуються з альбуміном, що присутній як в плазмі, так і в тканинах, тоді як основні – утворюють зв'язки з кислотними залишками а-глікопротеїнів і ліпопротеїнів.

Здатність барвників поглинатися і накопичуватися в пухлинах пов'язують із зв'язуванням барвників з поліпептидами, що транспортують органічні аніони (OATP), які надмірно експресуються в різних типах пухлин, включаючи карциноми легенів, мозку та в гіпоксичному мікрооточенні ракових клітин [87]. Проте також активно вивчається роль людського альбуміну у накопиченні та персистенції барвників у пухлині. Так, Усама та співавтори наводять дані, які свідчать про те, що поглинання барвників опосередковується скоріше рецепторами альбуміну, ніж OATP [88]. Ковалентні і нековалентні комплекси з альбуміном проникають в клітини пухлин через рецептори альбуміну, що надмірно експресовані в ракових клітинах [89]. Разом з тим, ковалентні аддукти альбуміну накопичуються в пухлинній тканині завдяки ефекту ЕПР (Enhanced Permeability and Retention), тобто полегшеному проникненню та накопиченню частинок у пухлинах за рахунок пасивної дифузії через характерні для пухлин капілярні пори збільшеного розміру, та утримуються протягом деякого часу. Про це свідчать роботи з дослідження накопичення міченого альбуміну в пухлинах [90-92]. Беручи до уваги високу концентрацію HSA у плазмі, афінність зв'язування органічних молекул з HSA є важливим фактором, який слід

враховувати при проектуванні та розробці нових флуорофорів [93], оскільки така взаємодія впливає на кінцеву фармокінетику і, відповідно, на біорозподіл.

Поглиблене вивчення взаємодії між альбуміном і барвниками має важливе значення для розробки покращених методів та засобів візуалізації. Також необхідно враховувати, що в більшості випадках утворення комплексів білок-барвник відбувається зміна спектрально-люмінесцентних властивостей барвників [94]. Зокрема, зв'язування з альбуміном перешкоджає агрегації флуорофорів та сприяє збільшенню квантового виходу [95]. Тому важливими є дослідження впливу молекулярної структури барвників на зв'язування з альбумінами та дослідження фармокінетики комплексу барвник-білок [25, 96, 97]. Наприклад, зв'язування з білками плазми крові, в першу чергу з β -ліпопротеїнами, робить можливим повторне використання барвника **ICG** [98], а також призводить до більш інтенсивної флуоресценції та зміщення максимуму поглинання в довгохвильову область спектру: максимальний пік поглинання спостерігається при 805-810 нм у шкірі людини *in vivo* [99, 100]. Оскільки ICG має як ліпофільні, так і гідрофільні властивості, він також проявляє оборотне зв'язування з альбуміном і глобулінами сироватки, такими як альфа-1-ліпопротеїнами. На відміну від вільного барвника, комплекс, утворений ICG з цими білками, поводиться як макромолекула [35].

В роботі [25] досліджений вплив довжини N-алкільної бічної групи модифікованого барвника **MNI-148** на зв'язування з транспортними білками та поглинання пухлинами. Показано, що короткі бічні ланцюги перешкоджають взаємодії з білками, тоді як довговуглецеві замісники змінюють гідрофобність і жорсткість структури отриманих сполук, впливаючи на їх утримання раковими клітинами. Схожі результати отримані в роботі японських вчених [97], що вивчали вплив довжини N-алкільного ланцюга похідних барвника **IC7-1** на біорозподіл зонду у пухлинах пацюків. Для цього були синтезовані ціанінові барвники з різною довжиною (від 1 до 7) метильних груп в бічних ланцюгах (рис. 1.8), які забезпечили широкий діапазон ліпофільноті і зв'язування із сироватковим альбуміном:

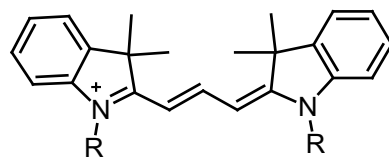


IC7-1-Me ($n=1$); **IC7-1-Et** ($n=2$); **IC7-1-Pr** ($n=3$);
IC7-1-Bu ($n=4$); **IC7-1-Pe** ($n=5$); **IC7-He** ($n=6$).

Рис. 1.8 Барвник **IC7-1** та його аналоги

При мікроскопії клітин краще поглинання виявили для сполук з короткими бічними ланцюгами, тоді як вищу інтенсивність флуоресценції при дослідження *in vivo* спостерігали для похідних, що містять алкільні ланцюги середньої довжини ($n= 3 - 5$), також для них виявлене і специфічне зв'язування з альбуміном із високими константами зв'язування.

На прикладі триметинціанінів **2-4** (рис. 1.9) показано, що розмір ліганда впливає на зв'язування із людським альбуміном, зокрема заміна етильних груп на бутильні чи фенілпропільні приводить до зростання констант спорідненості з альбуміном, проте у випадку **4** виникає стерична перешкода у взаємодії з білками [90]:



2, $R = C_2H_5$; **3**, $R = C_4H_9$; **4**, $R = (CH_2)_3Ph$

Рис. 1.9 Будова триметинціанінів

Окрім впливу ліпофільності барвників, проводилися дослідження впливу зміни гідрофобності барвників на здатність зв'язуватися з білками плазми і, відповідно, на фармокінетичні властивості [101]. Для цього були синтезовані несиметричні ціанінові барвники, що відрізнялися кількістю груп сульфокислоти ($n = 1 - 4$). Константа зв'язування найбільш гідрофобного

барвника, що містив одну сульфогрупу в структурі ($n = 1$), із сироватковим альбуміном бика (BSA) була у 18 разів більша, ніж у найбільш гідрофільного барвника ($n = 4$). Додавання однієї сульфогрупи в структуру призводило до зменшення константи зв'язування приблизно в 2-3 рази.

Чимало робіт присвячено вивченю взаємодії сквараїнових барвників із сироватковими альбумінами. Зокрема, селективне зв'язування сквараїнового барвника **5** із BSA використовували для моніторингу ендоцитозу бичачого альбуміну в живих клітинах у режимі реального часу [102], а нековалентні комплекси його аналога **6** із людським альбуміном досліджували як перспективний реагент для флуоресцентного визначення білків (рис. 1.10) [103].

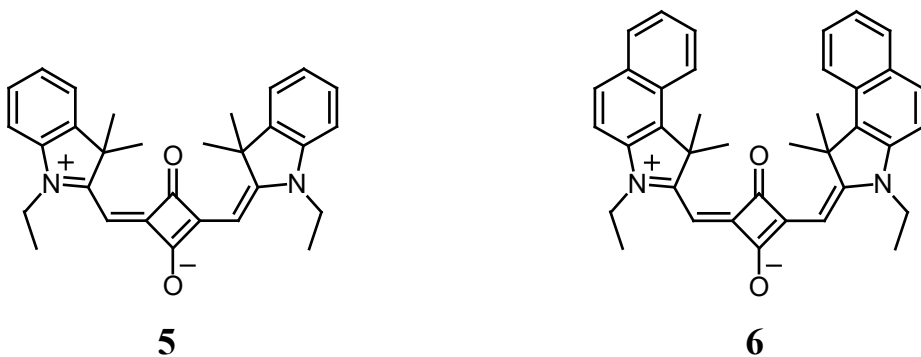


Рис. 1.10 Будова сквараїнових барвників **5** та **6**

Для здійснення контрольованої фармокінетики створюють зонди для візуалізації шляхом як ковалентної кон'югації, так і супрамолекулярної інкапсуляції. Нековалентна взаємодія сквараїнових барвників з BSA сприяла 10-кратному зростанню інтенсивності флуоресценції та збільшення часу життя флуорофорів з 0.32 нс до 3,7 нс, утворені нанокомpleкси барвник-білок були використані як зонди для внутрішньоклітинної візуалізації [104]. Для барвників, що містять хлор в мезо- положенні зазначається можливість ковалентної модифікації, серед якої і зв'язування з альбумінами [15, 105]. Так, для **MNI-148** та його аналогу, що містить фенільну групу замість атома хлору, були проведені дослідження з поглинання та флуоресценції при взаємодії з розчином HSA. Для обох барвників був виявлений характерний зсув максимуму поглинання в довгохвильову область, що свідчить про нековалентну взаємодію з альбуміном.

Проте, для **MHI-148** з атомом хлору спостерігалося з часом повільне гіпсохромне зміщення від 805 до 791 нм, ймовірно пов'язане з утворенням ковалентного комплексу альбуміну з барвником [88]. Широко досліджується вплив мезо-замісників на спектральні властивості барвників, а також їх здатність до взаємодії із нуклеїновими кислотами та білками [90]. При розгляді спектральної поведінки тіокарбоціанінових барвників, що містять в поліметиновому ланцюзі мезо-замісники показана наявність цис- і транс-ізомерів, що знаходяться в термодинамічній рівновазі. На зміщення цієї рівноваги у бік флуоресцентних транс-ізомерів може впливати мікрооточення барвників. Барвники даного типу запропоновані як зонди для детекції нуклеїнових кислот та для виявлення альбумінів [90].

Кон'югати на основі поліметинів із лікарською сполукою потребують мінімальної взаємодії із транспортними білками [28, 106] для уникнення швидкого виведення з організму. В ряді робіт показано, що одним з ключових факторів впливу на зв'язування з альбумінами є розподілений по поверхні флуорофору заряд. Виявлено, що катіонні +2 (**ZW800-3a**) та аніонні -4 (**CW800**) флуорофори неспецифічно поглинаються в різних органах (рис. 1.11). При чому аніонний барвник демонстрував значну екскрецію в жовч з високим флуоресцентним сигналом по всьому шлунково-кишковому тракту, катіонний розподілявся в печінці, кишечнику та в нирках. Тоді як цвіттеріонна молекула **ZW800-1** виводилася виключно нирками без помітного неспецифічного фонового сигналу в тканинах та інших органах.

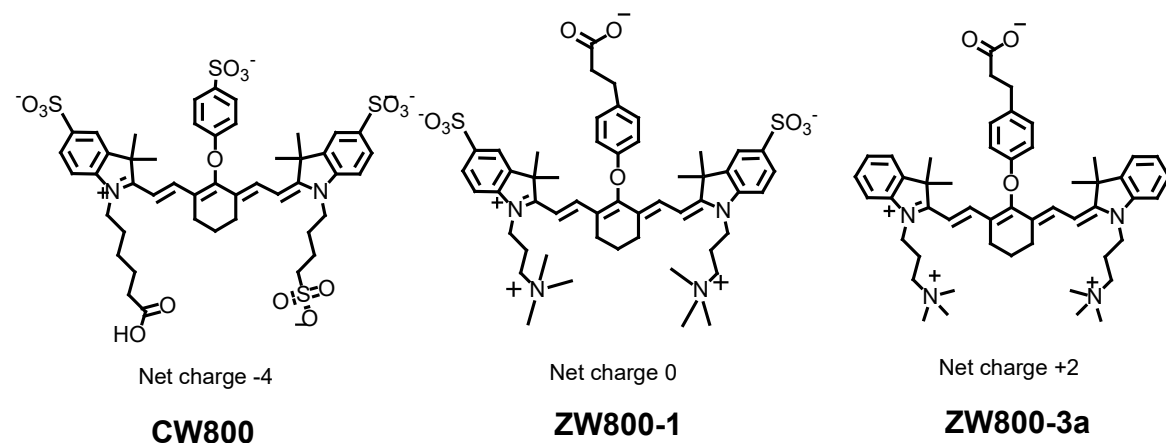


Рис. 1.11 Будова барвників із різним сумарним зарядом на поверхні

В роботі припускають, що цвіттеріонні молекули мінімізують взаємодію із сироватковими білками через внутрішню скомпенсованість зарядів [107].

Негативним наслідком взаємодії білок-барвник може бути утворення неспецифічної флуоресценції, яка маскує специфічний сигнал від аналіту чи заважає аналізу даних при використанні донорно-акцепторних пар з ефектом гасіння, а також забезпечує неконтрольовану фармокінетику [105]. Okрім того, зв'язування з альбумінами часто призводить до швидкого вивільнення препарату.

1.3 Поліметинові барвники як фотосенсибілізатори для фотодинамічної терапії

Фотодинамічна терапія (ФДТ) – неінвазійний терапевтичний метод лікування пухлин, що проводиться в безпосередній локації світлопоглинаючого фотосенсибілізатора [108]. Історична першість PS належить сполукам порфіринового ряду. До теперішніх часів проводяться розробки та модифікації похідних порфірину, оскільки досі залишається не розв'язаною ціла низка проблем, що пов'язана з їх використанням, зокрема, темнова токсичність, нестійкість. Більшість клінічно схвалених фотосенсибілізаторів (ФС) – це сполуки порфірийного ряду, що характеризуються генерацією синглетного кисню при опроміненні світлом з довжиною хвилі, специфічною для фотосенсибілізатора. Основний механізм дії ФС полягає у проходження фотодинамічної реакції (ФДР), при цьому ФС фотозбуджується до синглетно-збудженого стану (наприклад S₁) з подальшим міжсистемним перетинанням (ISC) та утворенням триплетно-збудженого стану (T₁). Далі, завдяки триплет-триплетному переносу енергії можливе утворення синглетного кисню (тип II) або утворення радикалів та інших активних форм кисню (АФК) (наприклад, супероксид-радикальний аніон) (тип I) [109]. Обидва типи передбачають присутність кисню, водночас схильність до проходження реакцій за I чи II типом залежить від рівня кисню та від типу субстрату. Проникнення світла залежить

від оптичних властивостей тканини та довжини хвилі світла, що використовують. Зокрема, використання спектрального діапазону або так званого «фототерапевтичного вікна» (600 – 1300 нм), є важливою умовою при створенні нових ФС. Пошук нових ефективних ФС також зосереджується на їх низькій темновій токсичності та вибірковим накопиченням у пухлинній тканині. Поліметинові барвники мають значний потенціал для функціоналізації під різноманітні умови використання у медико-біологічних застосуваннях. Наприклад, можуть бути функціоналізовані гідрофільними, гідрофобними, ліпофільними, ліпофобними і амфіфільними групами. Однак слід зазначити, що значення квантових виходів генерації $^1\text{O}_2$ у ПБ значно нижче, ніж похідних порфірину. Це пов'язано з тим, що у поліметинах основним каналам дезактивації електронно-збудженого стану є фотоізомеризація, яка відбувається на декілька порядків швидше, ніж заборонена інтеркомбінаційна конверсія [110-113]. Тому триплетний стан у ПБ заселяється недостатньо, щоб ефективно сенсиблізувати синглетний кисень. Для вирішення цієї проблеми розроблені різні модифікації структури ПБ. Одна з найбільш поширених базується на введенні в структуру важких атомів, які посилюють спін-орбітальну взаємодію, а відповідно інтеркомбінаційну конверсію.

Основними вимогами для створення ефективного фотосенсиблізатора є:

- високий коефіцієнт молярної екстинкції в діапазоні робочої смуги поглинання світла;
- інтенсивне поглинання світла у вікні прозорості тканин, тобто у діапазоні довжин хвиль 650-1200 нм, оскільки глибина проникнення світла збільшується у напрямку від видимого до ближнього ІЧ діапазону спектра;
- висока інтенсивність флуоресценції, яка дозволить використовувати флуоресцентні ознаки злоякісних або передракових утворень замість гістологічної діагностики, а також контролювати процес лікування;
- ефективна генерація кисневих або некисневих активних форм, що здатні руйнувати онкоклітини;

- мати низьку темнову цитотоксичність і високу фототоксичність. Для цього електронний перехід барвника, який збуджується під дією світла, повинен значно перевищувати по інтенсивності інші електронні переходи і відстояти від них на достатній відстані, щоб мінімізувати шкідливе поглинання;
- мати здатність накопичуватися в пухлині порівняно зі здоровими тканинами. Це один із найважливіших аспектів вибіркової дії ФДТ.

Серед поліметинових барвників відомим і найбільш дослідженим є фотосенсибілізатор на основі мероціанінового барвника - **МС 540** (рис. 1.12).

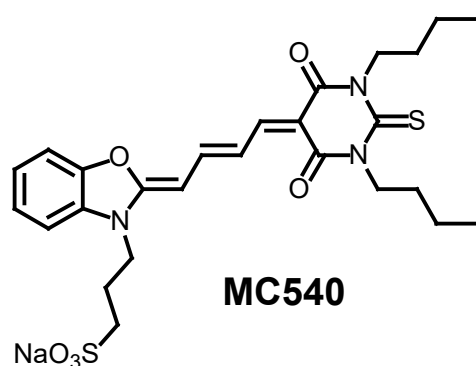
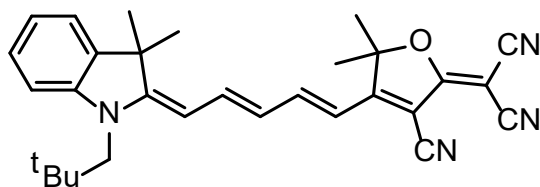


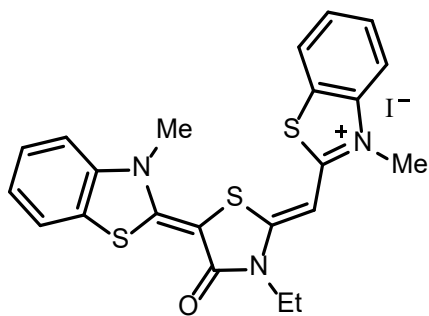
Рис. 1.12 Будова мероціаніну **МС 540**

Барвник успішно досліджувався на тваринних моделях аутологічної трансплантації кісткового мозку для усунення клітин лейкемії або нейробластоми з імітованих аутологічних трансплантантів кісткового мозку [114]. Крім того, мероціаніни прекрасні зонди полярності біомембрани. На їх основі розроблені унікальні зонди, що можуть вибірково реагувати на універсальні або специфічні (нуклеофільну і електрофільну) сольватацию [115]. До недоліків групи мероціанінів можна віднести максимальне поглинання світла за межами ближнього ІЧ діапазону спектра. Ця проблема сьогодні вирішена розробкою нового типу мероціанінів на основі триціанофурану, які інтенсивно поглинають і люмінесціють у терапевтичному вікні, наприклад, **МС-6TCF** ($\lambda_{\text{amax}} = 812 \text{ нм}$, $\epsilon = 22.1 \times 10^4 \text{ M}^{-1}\text{cm}^{-1}$, $\lambda_{\text{fmax}} = 840 \text{ нм}$, $\Phi_f = 22\%$ в ДМФА) (рис. 1.13) [116]:

**MC-6TCF****Рис. 1.13** Будова барвника **MC-6TCF**

Ще один недолік – невисокі значення виходу ${}^1\text{O}_2$. Для покращення цього аспекту є широке коло структурних модифікацій мероціанінів. Мероціаніни викликають перекисне окиснення фосфоліпідів у мембрані [117], що індукує некроз та обмежує користь ліків. Однак дослідження мероціанінів для лікування раку не припиняється. Так, застосування мероціаніну **MCRh** для лікування лейкемії виявило зниження життєздатності рапових клітин K562 [118]. Крім лікування раку, мероціаніни також застосовують для antimікробної терапії (рис. 1.14) [119].

Встановлено, що мероціаніни виявляють імунорегуляторні властивості [120]. ФДТ з **MC540** у мишачих гемопоетичних стовбурових клітинах показало, що чутливість клітин до мероціаніну визначається барвником зв'язування з клітинами-мішенями. Спорідненість зв'язування знижується у зрілих лімфоцитах і підвищується у гемопоетичних стовбурових клітинах.

**MC Rh****Рис. 1.14** Будова барвника **MCRh**

Окрім мероціанінових барвників, як фотодинамічні агенти широко досліджуються представники сквараїнового ряду. Сквараїни характеризуються значною фото- і теромостійкістю, високими значеннями молярної екстинкції і досягають діапазону поглинання світла 1000 нм. Ці властивості зробили їх привабливими для біомедичних застосувань, у тому числі як сенсибілізатори для ФДТ. Введення важких атомів, зокрема, йоду, індукують вироблення значної кількості синглетного кисню, що призводить до опосередкованого мітохондріями апоптичного руйнування пухлини [121]. У індоленінових сквараїнів **7 – 9** (рис. 1.15) здатність до генерації синглетного кисню зростає зі збільшенням атомної маси галогену [122], бутильні групи при цьому сприяють збільшенню розчинності і проникненню крізь біомембрани.

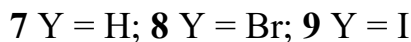
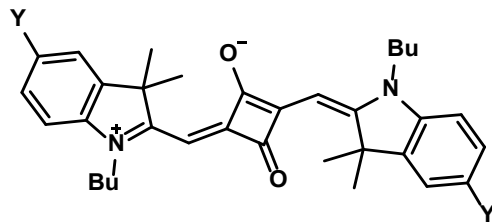


Рис. 1.15 Будова індоленінових сквараїнових похідних

В наступній запропонованій серії сквараїнів заміна ізопропіліденової групи барвника **10** атомами S (ПБ **11**) і Se (ПБ **12**) (рис. 1.16) підвищує генерацію синглетного кисню і ФДТ активність [122,123]:

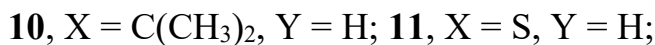
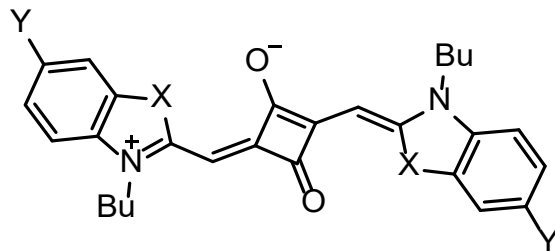
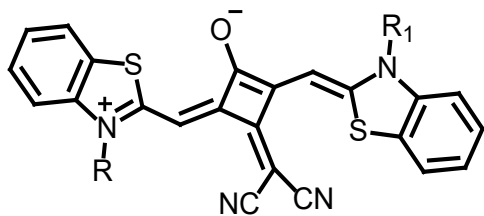


Рис. 1.16 Будова сквараїнових похідних барвника **10**

Максимальний ефект досягається при комбінації двох важких атомів: у катіонному хромофорі атому Se, а у аніонному – I (ПБ 13) [124]. Цікаво що барвник **10** ефективно генерував $^1\text{O}_2$ в порівнянні зі стандартом - метиленовим синім, хоча в його структурі відсутні важкі атоми [125]. Ймовірно така здатність сквараїну є наслідком ефекту взаємодії катіонного і аніонного хромофорів. Відчутна їх взаємодія відзначалася на прикладі ковалентно зв'язаних таких хромофорів у катіон-аніонних барвників [126, 127], а також у незв'язаних хромофорів в йонних парах катіон-аніонних барвників [128]. Взаємодія хромофорів приводить до зближення S_1 і T -рівнів, і, відповідно, до зростання ймовірності інтеркомбінаційної конверсії. Її зростанням можна пояснити таку ж активність у дицианометиленових аналогів **14** - **17** сквараїну **11** (рис. 1.17) [129,130]:



14, R = R1 = Me; **15**, R = R1 = $(\text{CH}_2)_3\text{COOMe}$;

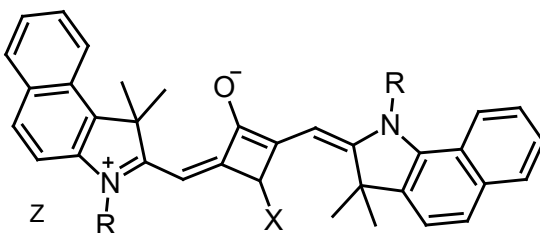
16, R = Me, R1 = $(\text{CH}_2)_3\text{COOMe}$; **17**, R = R1 = $(\text{CH}_2)_3\text{SO}_3^-$

Рис. 1.17 Будова дицианометиленових сквараїнів

Вони, як і типові сквараїни, характеризується високою інтенсивністю поглинання і флуоресценції. Заміна атома кисню на діцианометиленову групу приводить до батохромного зсуву смуг поглинання і флуоресценції за рахунок подовження хромофора, що збільшує глибину зондування тканин порівняно з аналогічним сквараїном. Усі сполуки проявили дуже низьку темнову цитотоксичність, але виявляли різну фотоцитотоксичність за рахунок генерації $^1\text{O}_2$ у порядку **15**, **16**, **14**, **17**, що узгоджується з глибиною поглинання клітинами цих сполук. Експерименти *in vivo* у моделі підшкірного ксенотранспланта миші під опроміненням лазером 690 нм показали, що дицианосквараїн **15** повністю інгібує ріст злоякісних клітин шляхом як некрозу, так і апоптозу, що

свідчить про високу ефективність його як фотосенсибілізатора PDT. Одним з його обмежень є відсутність націлювання на пухлину. Проте результати *in vitro* показали, що висока ефективність ФДТ барвника **15** в основному визначається його дицианометилензаміщеним ядром. Бічні ланцюги впливають на фармакокінетичні властивості. Тому шляхом модифікування такими ланцюгами та іммобілізацією за допомогою націлюючих агентів, наприклад, фолієвої кислоти, гефітинібу, RGD пептиду, антитіл та наночастинок, на основі дицианометилензаміщених сквараїнових барвників можна отримати ефективні ФС для ФДТ.

Модифікація вихідних барвників **18** та **19** піколіл та дипіколіламіногрупами сприяла зростанню темнової токсичності, тоді як значення IC₅₀ після опромінення світлом визначено від 0,15 до 2 μM, в залежності від клітинної лінії, що у 8-24 разів вище, ніж темнова токсичність (рис. 1.18) [131].



18, X = O⁻, Z = -, R = CH₂CH₃,

19, X = O⁻, Z = -, R = (CH₂)₅CH₃

Рис. 1.18 Будова барвників **18** та **19**

Сильний ефект спін-орбітальної взаємодії спостерігався при заміні атома кисню в аніонному хромофорі атомом сірки (тіосквараїн **20**) [132]. Звісно, що останній, як важкий атом, вносить певну долю в IST-конверсію (рис. 1.19). Однак також значно впливає на взаємодію хромофорів за рахунок зближення їх діапазонів поглинання і зростання сили осцилятора аніонного хромофора при такій заміні. Квантово-хімічний аналіз показує, що при поглинанні кванту світла у барвника **20** відбувається інверсія безвипромінювального ππ* і випромінювального ππ* нижчих електронних станів.

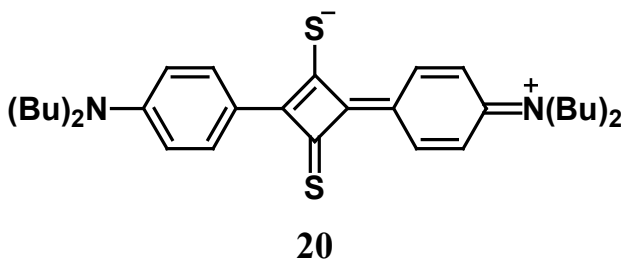


Рис. 1.19 Будова тіосквараїну 20

Це значно зменшує енергію синглет-триплетного розщеплення і збільшує час життя збудженого стану. Наслідком цього є сильне підвищення квантового виходу в триплет і генерації синглетного кисню практично до 100% [132].

Слід зазначити, що присутність важкого атома не завжди впливає на фотодинамічний ефект [12, 122]. Так, у роботі [12] повідомляють про синтез і спектроскопічні характеристики бромзаміщених бензіндопентаметинціанінів із алкільними замісниками різної довжини при гетероциклічному атомі азоту. Показано, що ці ПБ здатні генерувати реактивні види кисню в незалежності від присутності галогену в структурі. Автори припускають, що така поведінка пов'язана з глибиною локалізації PS у біомембрани, яка визначається довжиною алкільних ланцюгів при атомі азоту в гетероциклі. Про схожі результати повідомляється в роботі [122]. Крім того, фотодинамічна активність похідних скварилієвих барвників із галогенами залежить від положення останніх у гетероциклі. Вона сильніше виражена для Br-C4 та I-C4, ніж для Br-C2 та I-C2, ймовірно, через відмінність в ліпофільноті структур. Ліпофільність впливає на характеристики лікарських засобів, сприяючи їх розчинності та проникності через біологічні мембрани. Також останніми роками проводиться пошук безатомних триплетних ФС із малими органічними молекулами, з довшим часом життя в триплетному стані, оскільки вони є більш ефективні в сенсибілізації синглетного кисню в гіпоксичному мікрооточенні пухлинної тканини. Такі триплетні ФС можуть базуватися на спін-орбітальному переносі ISC, ISC посиленому радикалами та інше.

Окрім будови, на ефективність фотосенсибілізатора також впливає їх внутрішньоклітинний розподіл. Зокрема помічено, що цільове розташування в лізосомах та мітохондріях приводить до зростання терапевтичної дії [133, 134]. Роль мітохондріально-націленої терапії раку у ФДТ виявилася більш ефективною, ніж інші подібні ненацілені методи, оскільки мітохондрії відіграють ключову роль у регуляції апоптозу та виробляють більшу частину енергії клітини [133]. Мітохондрії можуть бути використані як маркери раку через їх високий трансмембраний потенціал. Роль мітохондрій у протипухлинному підході досягається шляхом націлювання на їх метаболізм (гліколіз і цикл Кребса), також на апоптоз і гомеостаз ROS. Націлені на мітохондрії сенсибілізатори відіграють вирішальну роль у подоланні фактора гіпоксії, що забезпечує високу терапевтичну ефективність. Тому багатьма науковими групами розробляються нові фотосенсибілізатори із селективністю до мітохондрій. Так, заміна атома хлору у **IR-780** на дифторид бору підвищує фотостійкість барвника, призводить до накопичення в мітохондріях та до апоптозу рапових клітин [135]. До структури ФС вводять також гуанідинієві чи бісгуанідинієві [133], трифенілфосфінові групи [136] та ін. для збільшення делокалізованого позитивного заряду та підвищення ліпофільноті сполук (рис. 1.21).

У розроблених PS на основі ПБ **21-26**, мезо- положення кон'юговано з похідним трифенілфосфонію для націлювання на мітохондрії, N-алкільний бічний ланцюг модифікований для регулювання зарядового балансу та розчинності, а індоленінові ядра бромовані для посилення генерація ROS після лазерного опромінення. ПБ **21 - 23** підвищують ефективність лікування раку, завдяки ліпо-катіонним властивостями трифенілфосфонію з одного боку. З другого боку за рахунок чутливості мітохондрій до ROS, у відповідь на яку мітохондрії вмикають апоптичний протипухлинний процес. Ці результати одержані *in vitro* та *in vivo*, що свідчить про значний потенціал ПБ **21 – 23** як PS для ФДТ.

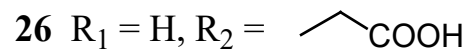
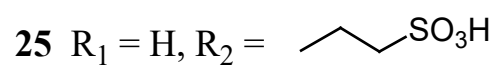
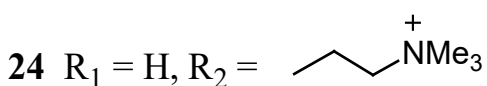
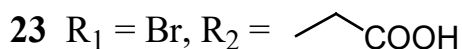
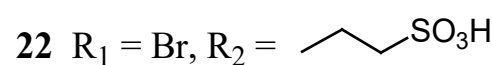
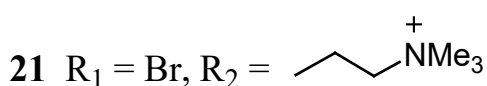
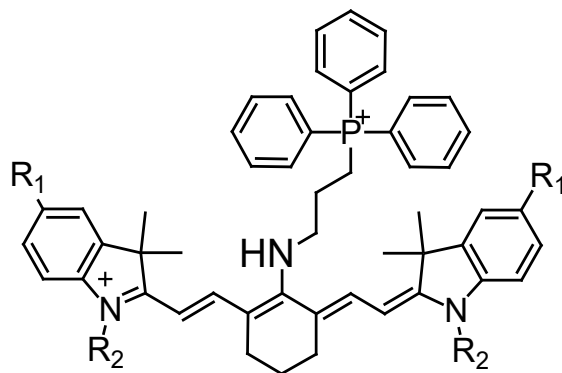


Рис. 1.21 Будова мітохондріально націлених барвників **21 – 26**

В роботі [137] описані барвники **27** і **28** на основі мероціаніну з трифенілфосфонієвою групою, яка націлена на мітохондрії (рис. 1.22):

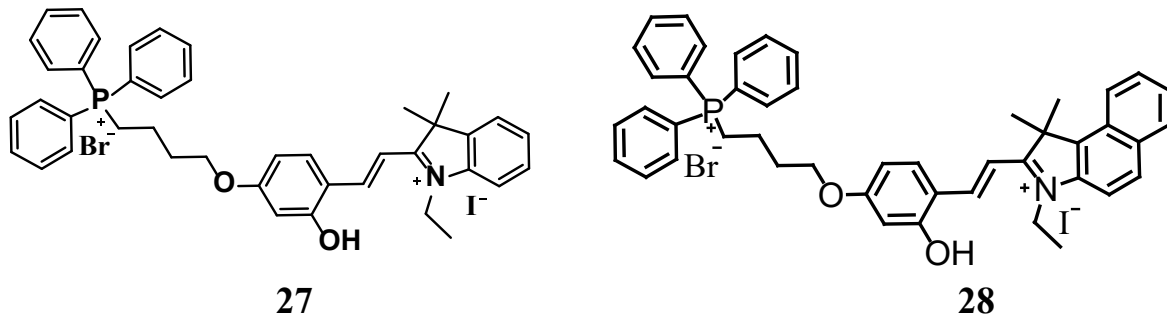


Рис. 1.22 Будова барвників **27** та **28**

У водному розчині обидва барвники демонстрували високу чутливість до pH середовища, а також здатність до самозбірки з утворенням наночастинок розміром 1,5 нм, наймовірніше J-агрегатів. На це вказує батохромний зсув смуги поглинання, сильне звуження, зростання інтенсивності і практично резонансне співпадіння зі смugoю флуоресценції при збільшенні концентрації. При цьому ПБ **25** має сильніший флуоресцентний сигнал при конфокальному

зображені клітини. Тести на життєздатність клітин продемонстрували підвищений рівень цитотоксичності обох сполук для ракових клітин, тоді як нормальні клітини піддавалися їх цитотоксичному впливу лише при високих концентраціях. Це пояснюється тим, що ракові клітини мають більш високий потенціал мітохондріальної мембрани. Тому зонди, що націлені на мітохондрії, накопичуються більше в ракових клітинах, внаслідок чого виявляють сильніший токсичний ефект.

1.4 Вплив взаємодії барвників із альбумінами на їх фотодинамічні властивості

Розподіл у крові та зв'язування з білками плазми може впливати на фармакокінетику та на протипухлинну ефективність фотосенсибілізаторів у клінічній фотодинамічній терапії. Пряме знищення клітин залежить від вибіркового накопичення достатньої кількості ФС в пухлині. Розподіл і утримання сенсибілізатора в пухлині залежить від фізико-хімічних властивостей ФС [138]. Наприклад, ліпофільні фотосенсибілізатори поглинаються неопластичними клітинами частково через рецептор-опосередкований шлях і зв'язуються переважно з клітинними мембранами. Тому фотоактивація цих препаратів може привести до прямого знищення клітин. Навпаки, гідрофільні сенсибілізатори, такі як три- і тетрасульфати порфіринів і фталоціанінів, нековалентно зв'язуються з білками плазми (альбумін і глобуліни) і згодом локалізуються в стромі судин та пухлинних тканинах [140]. Фотоактивація таких ФС спричиняє пошкодження мікроциркуляторного русла, призводить до стазу судин і інфаркту пухлини (непряме знищення клітин). Альбуміни крові можуть покращувати пасивну пухлинну селективність препарату головним чином за рахунок ефекту проникнення та утримання (ЕПР). Значна кількість робіт пов'язана із здатністю барвників нековалентно зв'язуватися із сироватковими альбумінами, що може бути одним із засобів транспортування і розподілу цих молекул *in vivo* [138-142]. Okрім того, взаємодія більшості барвників з

альбумінами сприяє руйнуванню агрегатів та підвищує їх флуоресценцію, а отже надає можливість використовувати барвники при флуоресцентно-керованій хірургії [139]. Так, дослідений комплекс диціанометилен-заміщеного сварилієвого барвника з бичачим сироватковим альбуміном для комбінування візуалізації та терапії. Утворені нековалентні комплекси барвник-білок продемонстрували значний цитотоксичний ефект при опроміненні лазером у мишей з ксенотрансплантованими пухлинами [143]. Іншим підходом для покращення терапевтичних властивостей є інкапсуляція ПБ з метою підвищення їх терапевтичної активності. Диціанометиленскварилієвий барвник інкапсульований у фосфоліпідні подвійні шари ліпосом продемонстрував бімодальне зображення пухлин [144]. Підвищене поглинання кон'югату фталоціанінового фотосенсибілізатору з BSA привела до загибелі 90% клітин Hep-G2 [145]. А включення ICG у везикулярний колоїдний наноносій (трансферсоми) для уникнення швидкої деградації та швидкого вивільнення барвника, підтримувало вивільнення ICG більше двох годин [146]. Подібна стратегія застосована з використанням людського альбуміну HSA. Для створення білкового комплексу спершу проведена модифікація структури ICG: введення жорсткого циклогексенілу та заміна бічних алкільних груп на карбоксильну та ефірну. Далі отримані нанокомpleкси з 66,7% інкапсуляції барвника та малим діаметром (10 нм). Такі комплекси ефективно накопичувалися в пухлинах завдяки ефекту ЕПР та викликали гіпотермію та високу генерацію активних форм кисню в ракових клітинах при опроміненні [147].

Дослідження зміни фотодинамічних властивостей хлорину є6 при його інкапсуляції з HSA показало, що присутність білка сприяє проходженню фотохімічних реакцій при опроміненні світлом за типом I і не впливає суттєво на механізм типу II. Генерація синглетного кисню залишалася на високому рівні, тоді як присутність альбуміну сприяла зростанню також і значної кількості пероксидних радикалів [148].

Проте зв'язування з альбумінами може мати і негативні наслідки для фототоксичних властивостей ФС. Так, присутність BSA зменшувала ступінь агрегації Zn-фталоціаніну та його похідних у водному розчині, проте асоціація з BSA негативно вплинула на фотофізичні властивості ФС (рис. 1.23). За рахунок обмеженого доступу кисню крізь білкову оболонку спостерігалося гасіння триплетних станів ФС. Це призводило до зменшення генерації синглетного кисню та зниження фотодинамічної активності [149,150].

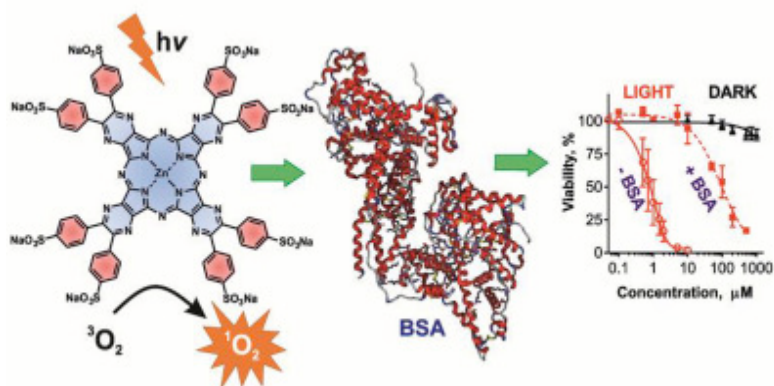


Рис. 1.23 Зменшення цитотоксичності Zn-фталоціаніну в присутності BSA

Життя триплетних збуджених станів фталоціанінів алюмінію в присутності HSA залежало від кількості сульфогруп в молекулі ФС. Дисульфоване похідне продемонструвало в два рази більший час життя триплетів в присутності альбуміну, ніж у вільному стані. Тоді як для моно-, три- та тетрасульфованих сполук такий ефект не спостерігався. Автори пояснюють збільшення тривалості життя триплетного стану здатністю альбуміну забезпечувати певний захист від водної фази та залежності констант зв'язування з альбуміном від хімічної будови молекул ФС, зокрема, від положення сульфогруп [151]. Також, позитивний і негативний вплив біокон'югації на фототоксичність продемонстровано при дослідженні фотодинамічної активності фталоціанінів кремнію [152]. При нековалентному зв'язуванні з BSA виявлено, що фотоцитотоксичність зростала у 8 разів для ФС з незарядженими групами, тоді як тетрокатіонний ФС агрегував в білковій кишені і його цитотоксичність була найменшою серед досліджуваних сполук.

Отже, враховуючи вищепередбачені літературні дані, потрібно відмітити, що при дослідженні флуоресцентних зондів основна увага зосереджена на йонних барвниках, найчастіше катіонного типу. Дійсно, такі барвники мають ряд переваг, а саме: високі молярні коефіцієнти екстинкції і квантові виходи флуоресценції, здатність селективно накопичуватися у мітохондріях. Але здатність до селективного накопичення катіонних барвників в мітохондріях не дає змогу сконструювати кон'югати для адресної доставки потрібних нам молекул в певні компартаменти клітини. Довгохвильові флуоресцентні барвники, що не містять заряду чи заряд є скомпенсованим всередині молекули, розширяють практичні можливості для флуоресцентної візуалізації клітин та дизайну адресних флуоресцентних кон'югатів. До таких барвників відносять поліметинові мероціанінові та сквараїнові барвники. В літературних джерелах особлива увага зосереджена на дослідженні барвників із мезо-незаміщенним поліметиновим ланцюгом, що здатний до негативного ефекту ізомеризації. Практично не відображені вплив мезо-замісників у поліметиновому ланцюзі на взаємодію із сироватковими альбумінами та клітинну проникність. Окрім того, увага дослідників прикута до вивчення мероціанінів з похідними барбітурової та тіобарбітурової кислоти, індадіону, піразолідіндіону, трицианофурану. Проте відомо, що такі сполуки можуть утворювати водневі зв'язки, які впливають на кінцевий результат при вивчені біорозподілу. Тоді як похідні з малонодинітрильним фрагментом згадуються лише при вивчені амілоїдних агрегатів. Виходячи з вищесказаного, введення мезо-замісників в поліметиновий ланцюг може покращити фотостійкість нових мероціанінових барвників, вплинути на їх взаємодію із білками та на проникність у клітини.

Існує велика кількість робіт із дослідженням різноманітних за структурою сквараїнів, проте логічних серій, які б розглядали вплив заряду замісників при гетероатомі чи довжини бічного алкільного радикалу на зв'язування із глобулярними білками малочислені. Окрім того, розглядаючи здатність сквараїнів до генерації синглетного кисню, численні наукові групи зосереджуються на посиленні впливу важкого атома за рахунок введення

галогенів, сірки чи селену в структуру флуорофору. В той же час, дуже мало досліджень, які вивчають вплив агрегації на генерацію активних форм кисню.

РОЗДІЛ 2

МАТЕРІАЛИ І МЕТОДИ

2.1 Матеріали

У роботі використані: бичачий сироватковий альбумін (BSA), сироватковий альбумін людини (HSA), кінський сироватковий альбумін (ESA), яєчний лізоцим (LYS), бета лактоглобулін (BLG), курячий овальбумін (OVA), ДМСО (диметилсульфоксид) вітчизняного виробництва; TRIS (трис(гідроксиметил)амінометан) виробництва «Sigma-Aldrich» (США), DPBF (1,3-дифенілізобензофуран) Sigma-Aldrich (США). Сквараїнові барвники **4.4 – 4.7, 3.0** були люб’язно надані Л.Ю. Сломінським та О.О. Іщенком, Інституту органічної хімії НАНУ. Чистота всіх досліджуваних сполук складала > 95%.

2.2 Синтез барвників

Солі імінію **a, b** і **c** були отримані за відомими реакціями з реактивом Вільсмайєра [146,147] (Схема 4.1). Проміжні продукти (**3.2a, 3.3a, 3.1c, 3.4b, 3.5b**) отримані з використанням конденсації солей бензотіазолію або 4,5-дигідротіазолію та солей імінію в присутності ацетату натрію як основи. До суміші 1,2 ммоль відповідних солей імінію **a-c** і 1,0 ммоль солей бензотіазолію або 4,5-дигідротіазолію у 5 мл сухого EtOH додавали 0,2 г (2,5 ммоль) свіжорозплавленого NaOAc однією порцією. Після продування аргоном реакційну посудину закривали і нагрівали при 80°C протягом 3 годин. Розчинник випарювали, а залишок, що залишився, обробляли 5% водним розчином HCl (5 мл). Отриману тверду речовину відфільтрували та сушили у вакуумі при 60°C.

Досліджувані мероціанінові (3.1 -3.5) барвники синтезовано шляхом взаємодії інтермедіатів з малонодинітрилом в етанолі в присутності ацетату натрію. До суміші 1 ммоль відповідних проміжних продуктів і 1,2 ммоль малонодинітрилу в 5 мл сухого EtOH додавали 2,0 ммоль свіжерозплавленого NaOAc однією порцією. Після продування аргоном реакційну посудину закривали і нагрівали при 80°C протягом 3 годин. Розчинник випарювали, а осад, що залишився, обробляли 5% водним розчином HCl (5 мл). Отриману речовину відфільтровували та сушили у вакуумі при 60°C. Продукти були очищені методом препаративної тонкошарової хроматографії (ТШХ) з рухомою фазою CH₂Cl₂-CH₃OH (9:1).

Структури отриманих барвників були підтвердженні ¹H ЯМР, ¹³C ЯМР та масспектрометрією високої роздільної здатності (HRMS). Чистота сполук була підтверджена методом високоефективної рідинної хроматографії з мас-приставкою (LCMS) і становила 92-99 %

Барвник (3.1) HRMS m/z: calc for C₂₅H₂₄ClN₃O₂S⁺ 465,9958 obsd 465,1261; ¹H ЯМР (400 MHz, DMSO-d₆): δ 1.36-1,44 (m, 2H); 1,51-1,59 (m, 2H); 1,67-1,80 (m, 4H); 2,20 (t, J=7,09Hz, 2H); 7,54 – 7,59 (m, 2H); 2,75-2,79 (m, 2H); 4,32 (t, J =7,34Hz, 2H); 6,24 (d, J1=13,21, 1H); 7,32 (t, J1=7,58Hz, 1H); 7,49 (t, J1=7,09Hz, 1H); 7,59 (s, 1H); 7,60-7,63 (m, 1H); 7,68 (d, J1=12,72Hz, 1H); 7,87 (d, J1=7,83Hz, 1H); 11,91 (bs, 1H). ¹³C ЯМР (100 MHz, DMSO-d₆) δ 24,57; 25,92; 26,37; 27,09; 27,22; 33,93; 45,92; 61,78; 97,23; 113,31; 118,14 (CN); 119,79 (CN); 121,14; 122,28; 123,28; 125,05; 128,37; 130,03; 133,95; 141,25; 142,06; 146,53; 148,69; 162,52; 174,96.

Барвник (3.2) HRMS m/z: calc for C₂₇H₂₉N₃O₂S⁺ 459,6042 obsd 459,1960; ¹H ЯМР (400 MHz, CDCl₃) δ 1,32-1,34 (m, 2H); 1,50-1,64 (m, 4H); 1,75-1,83 (m, 2H), 2,31-2,34 (m, 4H); 2,70-2,85 (m, 2H); 2,94-2,97 (m, 2H); 3,25-3,29 (m, 2H); 3,65-369 (m, 2H); 5,30 (d, J1=12.08Hz, 1H); 6,12 (d, J1=11,72Hz, 1H); 6,74 (s, 1H); 6,95-7,05 (m, 2H); 7,30-7,4 (m, 3H); 10,70 (b.s., 1H). ¹³C ЯМР (100 MHz, CDCl₃) δ 21,59; 24,32; 25,39; 26,11; 26,41; 26,56; 27,25; 29,78; 33,60; 47,92; 56,11; 67,32; 92,08; 116,87 (CN); 118,39(CN); 127,07; 127,41; 128,06; 130,33; 137,69; 144,30; 156,30; 160,13; 160,19; 178,42.

Барвник (3.3) HRMS m/z: calc for C₃₁H₂₉N₃O₂S⁺ 507,647 obsd 507,1966; ¹H ЯМР (601 MHz, CDCl₃) δ 1.40 – 1.54 (m, 2H), 1.74 (dp, J1 = 26.4, J2 = 7.5 Hz, 4H), 1.91 (p, J = 6.3 Hz, 2H), 2.39 (t, J = 7.3 Hz, 2H), 2.48 (s, 2H), 2.87 (d, J = 9.3 Hz, 2H), 3.85 (t, J = 7.6 Hz, 2H), 5.59 (d, J = 12.3 Hz, 1H), 6.21 (d, J = 12.2 Hz, 1H), 6.83 (s, 1H), 6.89 (d, J = 8.2 Hz, 1H), 7.01 (td, J = 7.6, 0.9 Hz, 1H), 7.07 – 7.12 (m, 2H), 7.20 – 7.29 (m, 3H), 7.38 – 7.47 (m, 3H). ¹³C ЯМР (100 MHz, CDCl₃) δ 21,46; 24,25; 25,39; 26,05; 26,31; 26,41; 33,34; 44,95; 62,87; 91,45; 109,75; 116,56 (CN); 118,08 (CN); 121,76; 122,71; 124,63; 126,85; 127,64; 128,07; 128,31; 128,53; 130,35; 137,44; 140,47; 142,00; 155,77; 156,21; 159,17; 177,63.

Барвник (3.4) HRMS m/z: calc for C₃₂H₃₂N₄O₂S⁺ 536,6882 obsd 536,2236; ¹H ЯМР (601 MHz, CDCl₃) δ 1.32 – 1.40 (m, 2H), 1.60 (p, J = 7.6 Hz, 2H), 1.62 – 1.69 (m, 2H), 2.37 (t, J = 7.3 Hz, 2H), 2.62 – 2.67 (m, 2H), 3.01 (t, J = 7.0 Hz, 2H), 3.03 – 3.09 (m, 2H), 3.26 (t, J = 7.4 Hz, 2H), 3.67 (t, J = 7.0 Hz, 2H), 5.04 (d, J = 12.1 Hz, 1H), 6.35 (dt, J = 12.1, 2.0 Hz, 1H), 7.00 – 7.07 (m, 7H), 7.21 – 7.27 (m, 5H).

¹³C ЯМР (100 MHz, CDCl₃) δ 21,18; 26,25; 26,27; 26,47; 26,85; 27,22; 33,40; 47,76; 65,80; 92,41; 117,00 (CN); 118,13 (CN); 122,47; 123,53; 128,86; 129,45; 130,55; 134,88; 147,44; 147,59; 158,44; 163,42; 178,13.

Барвник (3.5) HRMS m/z: calc for C₃₆H₃₂N₄O₂S⁺ 584,731 obsd 584,2248; ¹H ЯМР (400 MHz, CDCl₃) δ 1,32-1,35 (m, 2H), 1,51-1,63 (m, 4H); 2,18 (t, J1=7,32Hz, 2H); 2,72-2,81 (m, 2H); 2,91-3,00 (m, 2H); 4,05 (t, J1=7,14Hz, 2H); 5,68 (d, J1=12,45Hz, 1H); 6,51 (d, J1=12,45Hz, 1H); 6,84 (s, 1H); 7,04-7,13 (m, 7H); 7,29-7,37 (m, 6H); 7,62 (d, J1=7,32Hz, 1H); 12,06 (bs, 1H). ¹³C ЯМР (100 MHz, DMSO-d₆) δ 24,12; 25,54; 26,15; 26,19; 26,31; 33,50; 44,69; 60,10; 94,38; 111,59; 117,55 (CN); 118,81 (CN); 122,07; 123,29; 123,51; 123,92; 127,36; 127,99; 129,57; 129,66; 131,01; 133,24; 141,76; 144,39; 147,05; 156,72; 174,35.

Для синтезу барвника **4.2** суміш четвертинної солі **2** 0,996 г (2,1 ммоль) і квадратної кислоти 0,117 г (1 ммоль) кип'ятили в 12 мл суміші н-бутанол/толуол (2:1 об'єм/об'єм) за допомогою апарату Діна–Старка. Реакційний розчин охолоджували до кімнатної температури і потім фільтрували. Отриманий осад промивали EtOAc і перекристалізовували з ПС, після чого сушили у вакуумній

печі при 60 °C. Структуру отриманого барвника підтверджено ^1H ЯМР та ^{13}C ЯМР: ^1H ЯМР (601 MHz, DMSO-d6) δ 7.55 – 7.52 (m, 2H), 7.47 – 7.44 (m, 2H), 7.38 (td, J = 7.8, 1.2 Hz, 2H), 7.19 (td, J = 7.4, 0.9 Hz, 2H), 5.86 (s, 2H), 3.41 – 3.36 (m, 4H), 3.26 (q, J = 7.2 Hz, 12H), 2.02 (p, J = 7.7 Hz, 4H), 1.69 (s, 12H), 1.19 (t, J = 7.2 Hz, 22H). ^{13}C ЯМР (151 MHz, DMSO) δ 180.52, 179.79, 168.99, 141.94, 141.28, 128.04, 123.90, 122.39, 110.25, 86.30, 53.06, 52.27, 48.82, 26.55, 19.21, 7.22, 7.15.

Для одержання барвника **4.1** суміш солі **3** (3,26 г; 9,2 ммоль) і сквараїнової кислоти (0,5 г; 4,4 ммоль) кип'ятили в 30 мл суміші н-бутанол/толуол (2:1 об./об.) за допомогою апарату Діна-Старка. Реакційний розчин охолоджували до кімнатної температури і потім випарювали, до отриманого сирого продукту додавали 50 мл EtOAc і тверду речовину фільтрували. Отриманий порошок перекристалізовували з етанолу і сушили у вакуумній печі при 60°C. Структуру отриманого барвника підтверджено ^1H ЯМР та ^{13}C ЯМР: ^1H ЯМР (601 MHz, DMSO-d6) δ 7.52 – 7.48 (m, 2H), 7.35 – 7.28 (m, 4H), 7.15 (td, J = 7.2, 1.2 Hz, 2H), 5.78 (s, 2H), 4.07 (s, 4H), 3.95 (t, J = 6.6 Hz, 4H), 2.27 (t, J = 7.2 Hz, 4H), 1.71 (t, J = 7.8 Hz, 4H), 1.67 (s, 12H), 1.57 (p, J = 7.3 Hz, 4H), 1.51 – 1.45 (m, 4H), 1.37 (tt, J = 9.6, 6.3 Hz, 4H), 1.30 – 1.22 (m, 4H), 0.84 (t, J = 7.4 Hz, 6H). ^{13}C ЯМР (151 MHz, DMSO) δ 180.54, 178.76, 172.73, 168.95, 142.22, 141.37, 127.91, 123.60, 122.20, 110.26, 86.03, 63.36, 48.66, 42.77, 33.27, 30.12, 26.49, 26.25, 25.65, 24.20, 18.57, 13.50.

Для синтезу барвника **4.3** 0,5 г (0,68 ммоль) **4.1** кип'ятили в 10 мл 10 М водного розчину HCl протягом 2 годин. Після того як ТШХ показала завершення реакції, реакційний розчин охолоджували до кімнатної температури і потім фільтрували. Отриманий барвник **4.3** був висушений у вакуумній шафі при 60°C. Структуру отриманого барвника підтверджено ^1H ЯМР та ^{13}C ЯМР: ^1H ЯМР (601 MHz, DMSO-d6) δ 12.01 (s, 2H), 7.51 (d, J = 7.3 Hz, 2H), 7.43 – 7.22 (m, 4H), 7.22 – 7.05 (m, 2H), 4.06 (s, 4H), 2.20 (t, J = 7.2 Hz, 4H), 1.71 (q, J = 7.6 Hz, 4H), 1.67 (s, 12H), 1.55 (p, J = 7.4 Hz, 4H), 1.39 (qd, J = 9.8, 9.1, 6.1 Hz, 4H). ^{13}C ЯМР (151 MHz, DMSO) δ 180.62, 178.55, 174.29, 168.65, 142.21, 141.41, 127.95, 123.63, 122.22, 110.28, 86.00, 55.53, 48.67, 42.83, 33.47, 26.49, 25.83, 24.16, 23.41.

Синтез кон'югату барвника **3.4** із глюкозаміном проводили за наступною методикою: до розчину 25 мг (0,04 ммоль) барвника **3.4** в 2 мл ДМФА додавали 15 мг (0,2 ммоль) гідроксибензотриазолу (НОВТ), 20 мг (0,2 ммоль) ммоль EDCI і 0,03 мл (0,2 ммоль) триметиламіну при інтенсивному перемішуванні. Через 15 хвилин додавали водний розчин 24 мг (0,1 ммоль) гідрохлориду D-глюкозаміну з 0,03 мл (0,2 ммоль) триметиламіну та реакційну суміш перемішували протягом ночі. Після випаровування продукт очищали препаративною ТШХ з CH₂Cl₂-CH₃OH (9:1) як рухомою фазою. Одержаній кон'югат **3.4-GlcN** очищений за допомогою ПТШХ, структура була підтверджена за допомогою ¹H ЯМР, ¹³C спектроскопії та LCMS. ¹H ЯМР (400 MHz, DMSO-D6) δ ppm 1.50 (m, 4H), 2.11 (m, 2H), 2.67 (m, 2H), 2.92 (m, 2H), 3.17 (m, 2H) 3.2 (s, 1 H) 3.41-3.64 (m, 6 H), 3.88 (t, *J*=7.3 Hz, 2H), 4.39-4.54 (d, 2H), 4.56-4.82 (m, 2H), 4.88-4.93 (m, 2H), 5.40 (d, *J*=12.2 Hz, 1H), 6.38-6.52 (m, 1H), 6.57 (d, *J*=12.7 Hz, 1H) 6.69 (s, 1H), 6.97-7.07 (m, 6H), 7.27-7.34 (m, 4H), 7.54-7.68 (m, 1H, CONH). ¹³C ЯМР (101 MHz, DMSO-d6) δ (172.47, 172.11, CONH ротамери) 163.92, 163.41, 147.03, 142.83, 138.30, 129.56, 128.47, 126.56, 123.24, 121.82, (119.57, 118.25 CN ротамери), 116.69, (95.57, 94.85 ротамери), 90.60, (76.76, 74.34 ротамери), 72.03, 71.20, (70.89, 70.45 ротамери), 61.15 CH₂OH, (57.09, 56.75 ротамери), 56.50, 54.19, 47.61, (35.40, 34.93 ротамери), 26.79, 26.17, 26.09, 25.91, 25.74, 25.64, 24.80. LCMS R_f – 0.954 мин. m/z = 698 [M+1]

Методика синтезу (**4.3-GlcN**): до розчину 50 мг (0,08 ммоль) барвника **4.3** в 3 мл ДМФА додавали 27 мг (0,2 ммоль) гідроксибензотриазолу (НОВТ), 38 мг (0,2 ммоль) ммоль EDCI і 0,03 мл (0,2 ммоль) триметиламіну при інтенсивному перемішуванні. Через 15 хвилин додавали водний розчин 42 мг (0,2 ммоль) гідрохлориду D-глюкозаміну з 0,03 мл (0,2 ммоль) триметиламіну та реакційну суміш перемішували протягом ночі. Після випаровування продукт очищали препаративною ТШХ з CH₂Cl₂-CH₃OH (9:1) як рухомою фазою. Структуру отриманого барвника підтверджено ¹H ЯМР та ¹³C ЯМР: ¹H ЯМР (400 MHz, DMSO-d6) δ 7.77 – 7.48 (m, 4H), 7.38 – 7.31 (m, 4H), 7.20 – 7.13 (m, 2H), 6.44 (s, 1H), 5.79 (s, 2H), 4.93 (d, *J* = 3.4 Hz, 3H), 4.65 (s, 1H), 4.45 (d, *J* = 8.4 Hz, 2H), 4.05

(s, 4H), 3.70 – 3.41 (m, 8H), 3.11 (dd, $J = 19.5, 10.3$ Hz, 3H), 2.18 – 2.05 (m, 4H), 1.68 (s, 12H), 1.60 – 1.52 (m, 4H), 1.40 (d, $J = 6.7$ Hz, 4H). ^{13}C ЯМР (101 MHz, DMSO) δ 180.70, 178.29, 172.43, 172.12, 169.05, 142.16, 141.44, 127.98, 123.65, 122.19, 110.31, 90.59, 85.95, 72.02, 71.17, 70.47, 61.16, 54.28, 48.68, 42.93, 40.43, 35.39, 35.00, 26.50, 25.85, 25.00. LCMS R_f – 0.723 мин. $m/z = 927$ [M+1]

2.3 Спектрально-флуоресцентні вимірювання

Стокові розчини барвників готували шляхом розчиненням відповідних наважок у ДМСО із досягненням концентрації 2 мМ. Стокові розчини білків (HSA, BSA, ESA, BLG, LYS та OVA) готували розчиненням у 50 мМ Трис-HCl буфері (рН 7,9) у концентрації 0,2 мг/мл. Молярна концентрація білка у вихідному розчині дорівнювала 3 μM для BSA, HSA та ESA та 4,5 μM для OVA, BLG та LYS.

Робочі розчини барвників готували шляхом роздавлення стокових розчинів в 50 мМ буфері Трис-HCl (рН 7,9) та органічних розчинниках. Розчини усіх барвників у ДМСО та метанолі підчинялися закону Ламберта – Бера в інтервалі концентрацій 1 – 100 μM . Це означає, що вони в них знаходилися у неагрегованій мономерній формі. Робочі розчини барвників у присутності білків готували шляхом додавання основного розчину барвника до основного розчину білка. Концентрація флуорофорів в робочих розчинах становила від 5 до 10 μM .

Абсорбційна та флуоресцентна спектроскопії використані для вивчення спектрально-флуоресцентних властивостей синтезованих барвників та їхніх комплексів із білками. Усі спектроскопічні вимірювання виконувались при кімнатній температурі, одразу ж після приготування розчинів барвників та їхніх комплексів із макромолекулами.

Електронні спектри поглинання реєстрували на приладі «Specord M-40» (CarlZeiss, Німеччина), який має дві дифракційні гратки по 1302 штрих/мм. Спектральний діапазон приладу становив 185-900 нм. Спектри флуоресценції

були записані за допомогою флуориметра «Cary Eclipse» (Varian, Австрія). Виміри проводили в кварцевих кюветах (10×10 мм) при кімнатній температурі.

Значення квантових виходів барвників у вільному стані та в присутності сироваткових альбумінів визначали з використанням розчину нільського синього Nile Blue (NB) в етанолі як еталон ($Q_{NB} = 0,27$). А саме, розчини кожного барвника без вмісту білків у буфері та NB в EtOH були взяті в таких концентраціях, щоб значення їх оптичної густини були рівними при певній довжині хвилі поглинання. Флуоресценцію обох розчинів збуджували на цій довжині хвилі, і розраховували площину під кожним спектром ($S_{\text{барвник}}$ і S_{NB} відповідно). Значення квантового виходу флуоресценції було розраховано за наступним рівнянням:

$$Qdye = \frac{S_{\text{dye}}}{S_{\text{NB}}} \times \frac{n_{H2O}}{n_{EtOH}} \times Q_{NB} \quad (1)$$

де n_{H2O} та n_{EtOH} – показники заломлення водного розчину та етанолу відповідно.

Фотостійкість барвників вивчалася при опроміненні їх етанольних розчинів інтегральним світлом ксенонової лампи, що має безперервне спектральне розподілення випромінювання в УФ та видимій областях, інтенсивність в зоні опромінення складала приблизно 50 мВт/см^2 . Реєстрація відбувалася за зміною оптичої густини в максимумі поглинання барвника.

Визначення синглетного кисню проводили з використанням свіжовиготовленого стокового розчину 1,3-дифенілізобензофурану (DPBF) (5мМ) в етанолі. Виміри були проведені в суміші етанол-буферний розчин (1:1), концентрація усіх барвників була однакова і у вимірювальному розчині складала 5 μM , концентрація DPBF складала 50 μM . Спектр поглинання розчину був записаний після кожного опромінення лазером 670 нм (180 мВт/см^2) через рівні інтервали часу при постійному перемішуванні в темряві.

2.4 Визначення константи зв'язування флуорофорів із альбумінами

Константу зв'язування флуорофорів із білками оцінювали на підставі експериментальних вимірювань в залежності інтенсивності флуоресценції сполук при сталій концентрації 5 μM від концентрації білків в буфері (pH 7,9). Для кожного барвника експеримент було проведено тричі та вирахуване середнє значення інтенсивності флуоресценції, яке використовували в подальших розрахунках. Припускаючи, що константа рівноваги зв'язування має однакове значення для усіх сайтів зв'язування, записуємо вираз:

де n - кількість сайтів зв'язування в HSA, C_{BL} , C_P , C_L – концентрації зв'язаних молекул барвника з HSA, концентрація HSA та концентрація барвника, відповідно.

Розв'язуючи квадратне рівняння (2) отримуємо вираз для концентрації зв'язаних молекул барвника:

$$C_{BL} = \frac{nC_P}{2} + \frac{C_L}{2} + \frac{1}{2K} - \sqrt{\left(\frac{nC_P}{2} + \frac{C_L}{2} + \frac{1}{2K}\right)^2 - nC_P C_L} \quad (3)$$

Припускаючи що інтенсивність флуоресценції барвника пропорційна кількості зв'язаних молекул барвника, експериментальну інтенсивність флуоресценції барвника можна виразити рівнянням:

$$I = \frac{C_L - C_{BL}}{C_I} \times I_0 + \frac{C_{BL}}{C_I} \times I_{max} \quad (4)$$

де I_0 та I_{max} - інтенсивності флуоресценції вільного барвника та усіх молекул барвника, що зв'язані з білком, відповідно.

Поєднуючи рівняння (4) та (3), отримуємо вираз для обчислення константи зв'язування:

$$Y = A \times \left[\frac{1}{2} + \frac{X \times n}{2 \times C_L} + \frac{1}{2K \times C_L} - \sqrt{\left(\frac{1}{2} + \frac{X \times n}{2 \times C_L} + \frac{1}{2 \times K \times C_L} \right)^2 - \frac{X \times n}{C_L}} \right] \quad (5)$$

де $X = C_P$, $Y = (J - J_0)$, $A = (J_{max} - J_0)$;

Експериментально отримана крива інтенсивності флуоресценції сполук будується у вигляді залежності $(I - I_0)$ від C_p , а потім апроксимується за рівнянням (5), де значення K , n та A отримають як параметри підгонки.

2.5 Культивування клітин

Лінія клітин раку A2780 (ендометроїдна аденокарцинома яєчників) отримана від Sigma-Aldrich. Клітини A2780 вирощували в середовищі RPMI-1640 з додаванням 10% фетальної бичачої сироватки (FBS), 1% L-глутаміну та 1% пеніциліну/стрептоміцину. Клітини культивували до 80–90% конфлюентності та відокремлювали від колби за допомогою розчину трипсину/ЕДТА (0,025%/0,01%, мас./об., Biochrom GmbH, Німеччина) у DPBS буфері.

Лінію клітин аденокарциноми молочної залози людини MCF-7 культивували в культуральному середовищі DMEM (Gibco, США) з додаванням 10% FBS, 2 мМ глутаміну, 50 ОД/мл пеніциліну та 0,25 мкг/мл стрептоміцину (Lonza). Клітини культивували до 80–90% конфлюентності та відокремлювали від колби за допомогою розчину трипсину/ЕДТА (0,025%/0,01%, мас./об., Biochrom GmbH, Німеччина) у PBS буфері. Клітини культивували в атмосфері 5 % вуглекислого газу (CO₂) при 37 °C.

2.6 Візуалізація живих клітин

Для візуалізації живих клітин, їх ресуспендували в середовищі RPMI-1640, що містило 5% FBS, 1% L-глутаміну та 1% пеніциліну/стрептоміцину, і висівали в концентрації 80 клітин/мкл на флуоресцентну чашку зі скляним дном (μ -dish 35 мм, ibidi GmbH, Німеччина). Кожну чашку із загальним об'ємом 2 мл залишали на ніч при 37 °C у камері, заповненій CO₂ (5%). Наступного дня клітини промивали (2×2 мл DPBS) і додавали свіжу порцію HBSS (2 мл). Розчини Hoechst 33342, MitoTracker Green і досліджуваного барвника у відповідних концентраціях в ДМСО додавали в окремі та в одну чашку на 30 хв. Потім клітини двічі промивали DPBS і додавали свіжий HBSS (2 мл). Флуоресцентні зображення були отримані за допомогою Zeiss Axio Vert.A1 і набору фільтрів: зб. 625–655/випр 665–715 нм (темно-червоний) для візуалізації барвників, зб. 335–383/випр 420–470 нм (синій) для візуалізації Hoechst 33342, зб 450–490/випр

500–550 нм (зелений) для візуалізації MitoTracker Green. Об'єктив: 40x/1,30. Масло (DIC). Отримані зображення аналізували за допомогою безкоштовного програмного забезпечення Fiji/ImageJ v1.52b.

2.7 Конфокальна візуалізація фіксованих клітин

Для конфокального аналізу клітини MCF-7 поміщали в культуральні планшети з 12 лунками, що містять круглі стерильні скляні покривні скельця, і інкубували протягом 48 годин при 370 °C у присутності 5% CO₂. Після досягнення 80% конфлюентності середовище для росту видаляли і клітини тричі промивали PBS. Далі клітини інкубували з досліджуваними барвниками в концентрації 0,1 μM у FluoroBrite DMEM (Gibco, США) без FBS протягом 15 хв при 370 С у присутності 5% CO₂. Після інкубації клітини промивали PBS, фіксували в 10% нейтральному забуференому формаліні (Sigma-Aldrich, США) протягом 15 хв при 22⁰ С і знову промивали PBS. Потім протягом 15 хвилин додавали Hoechst 33342 у концентрації 1 μM і повторно промивали PBS. Нарешті, скляні покривні скельця вставляли в середовище, що містило 0,1 % DABCO. Аналіз проводили за допомогою конфокального мікроскопа Zeiss.

2.8 Проточна цитометрія

Флуоресценцію живих клітин кількісно визначали за допомогою проточного цитометра Guava easyCyteTM 6-2L від Merck Millipore (Дармштадт, Німеччина) шляхом моніторингу випромінювання при 695±26 нм з використанням джерела збудження λex 642 нм (червона флуоресценція). Для цього трипсиновані клітини ресуспендували в середовищі RPMI-1640, що містить 5% FBS, 1% L-глутаміну та 1% пеніциліну/стрептоміцину, і переносили в 24-лунковий планшет в концентрації 200 клітин/мкл на лунку. Планшет із загальним об'ємом 0,5 мл на лунку залишали при 37 °C у камері, заповненій CO₂ (5%), на ніч. Через 12 годин клітини промивали (2×0,5 мл DPBS) і додавали свіжу порцію HBSS (0,5 мл).

Розчини барвників в ДМСО або просто ДМСО додавали в окремі лунки протягом 30 хв інкубації. Концентрація барвників **3.2** і **3.4** становила 1 μM (1% ДМСО). Потім клітини двічі промивали DPBS і додавали свіжий HBSS (0,5 мл) і обробляли трипсином (0,2 мл/мас.) протягом 1 хвилини, залишали сухими протягом 5 хвилин в інкубаторі. Потім додавали свіжий HBSS (0,5 мл) і клітини переносили в поліпропіленові мікропробірки. Була кількісно визначена флуоресценція клітин, не оброблених жодним барвником (які містять лише аліквоту ДМСО як контроль), а також барвники **3.2** і **3.4**. Дані обробляли за допомогою програмного пакету inCyteTM від Merck Millipore.

2.9 Визначення цитотоксичності барвників

Цитотоксичність була оцінена з використанням МТТ-реагенту. Спершу клітини рівномірно висівали в кожну лунку 96-лункових планшетів (6000 клітин на лунку) і інкубували протягом у культуральному середовищі DMEM з 10 % FBS протягом 24 годин. Потім середовище видаляли і замінювали свіжим безсироватковим середовищем (або з 5% BSA) із додаванням досліджуваних барвників в різних концентраціях. Частину планшетів залишали на 24 год для визначення темнової токсичноності, іншу – після однієї години інкубації з барвниками, опромінювали світлодіодом 670 нм (180 мВт/см^2) протягом 1 хв на лунку і також залишали протягом доби при 37°C у камері, заповненій CO_2 (5%). Виживаність клітин вимірювали за допомогою МТТ методу. Для цього видаляли середовище та додавали реагент МТТ (5,0 мг/мл, 100 мкл) у безсироватковому середовищі, у темряві з подальшою інкубацією протягом 4 годин. Після цього розчин видаляли і додавали 150 мкл ДМСО для розчинення кристалів формазану. Оптичну густину (OD) реєстрували при 570 нм за допомогою пристрою для зчитування мікропланшетів після 15 хв інкубації при кімнатній температурі. Число живих клітин, що залишилися після проведення досліду розраховували за наступним рівнянням:

$$\text{Виживаємість клітин (\%)} = \frac{\text{(ОДбарвник} - \text{ОДбланк})}{\text{(ОДконтроль} - \text{ОДбланк})} \times 100 \%, \quad (3)$$

В експериментах використовували наступні типи контролю: лунки з клітинами без барвників і без дії лазера, лунки з клітинами без барвників та після дії лазера, лунки з клітинами і з ДМСО без барвників (без лазера та з обробкою світлом).

2.10 Молекулярний докінг

Молекулярний докінг флуоресцентних зондів здійснювали по всій поверхні молекули сироваткового альбуміну людини (кристалічна структура з PDB ID: 1AO6) здійснювали за допомогою веб-сервера CB-DOCK (<http://clab.labshare.cn/cb-dock/php/index.php>) [155, 156]. Візуалізацію комплексів флуоресцентного барвника з альбуміном людини здійснювали за допомогою Discovery Studio Visualizer 2017 R2.

2.11 Молекулярна динаміка

При проведенні розрахунку молекулярної динаміки комплексу “сироватковий альбумін людини – флуоресцентний барвник” (“рецептор – ліганд”) використовували пакет програм GROMACS. Топологію ліганда (формат файлу .itp) будували за допомогою серверу ATB (<https://atb.uq.edu.au/>).

Початкову позицію ліганда у гемін-зв'язувальному сайті рецептора генерували за допомогою веб-сервера CB-DOCK (<http://clab.labshare.cn/cb-dock/php/index.php>). Наступним етапом проводили конвертацію вихідного молекулярного комплексу (формат PDB) у внутрішній формат GRO пакету GROMACS, протонування амінокислотних залишків молекули рецептора проводили програмою pdb2gmx у відповідності до структури топологій та силового поля GROMOS54A7. Розташування структури комплексу “ліганд-рецептор” в центрі кубічного боксу проводили з таким розрахунком, щоб дистанція від граничних атомів комплексу до стінок боксу не перевищувала 1

нм. Далі бокс заповнювали молекулами води та проводили мінімізацію енергії комплексу у водному оточенні з використанням алгоритму крутого спуску (steepest descent) протягом 1000 кроків. Фінальні координати системи “рецептор – ліганд – розчинник” використовували для розрахунку “обмеженої” молекулярної динаміки протягом 40 пс, яка включала гармонічну прив’язку позицій атомів рецептора та ліганда до вихідних координат. Як вихідну брали систему “протеїн – ліганд – вода”, отриману в результаті “обмеженої” динаміки. Молекулярну динаміку проводили при температурі 300К. Для підтримання константної температури системи застосовували метод слабкого сполучення Берендсена.

2.12 Статистичний аналіз

Статистичну обробку одержаних результатів проводили за допомогою методів варіаційної статистики та кореляційного аналізу з використанням комп’ютерної програми Exel, пакету програм Origin та за допомогою програмного забезпечення GraphPad Prism 8 (GraphPad Software Inc., США). Статистичне порівняння проводили з використанням t-критерія Стьюдента з р-значеннями < 0,05 як мінімального рівня достовірності.

РОЗДІЛ 3

МЕРОЦІАНІНОВІ БАРВНИКИ

Флуоресцентна візуалізація використовується для низки біологічних завдань таких як ідентифікація клітинних процесів, вивчення біорозподілу в клітині, візуалізація однієї клітини *in vivo* та для ідентифікації нових прогностичних і терапевтичних стратегій. Сучасною тенденцією є дослідження як агентів візуалізації наночастинок металів, які є біосумісними, фотостабільними та мають яскраву флуоресценцію [157], розробляються різноманітні флуорофори на основі неорганічних матеріалів [158], таких як вуглецеві нанотрубки, квантові точки [159], наночастинки леговані рідкоземельними елементами [160]. Поглинання в широкому спектральному діапазоні в залежності від розмірів, високі коефіцієнти екстинкції (вищі ніж в 10 разів в порівнянні з органічними молекулами) та стійкість до фотовідбілювання надають значної переваги у використанні неорганічних флуорофорів [161]. Проте їх застосування все ж є обмеженим. Перш за все через кількісну оцінку сигналу та необхідність затверджених протоколів. Okрім того, неорганічним матеріалам властива неконтрольована фармокінетика і здатність до накопичення в різних органах, також необхідною є їх солюбілізація за рахунок введення гідрофільних поверхневих молекул. На відміну від неорганічних флуоресцентних матеріалів, органічні молекули відрізняються простотою використання, комерційною доступністю та можливістю проводити структурну модифікацію в залежності від потреб використання.

Окрім оптичних властивостей, при дослідженні розподілу флуоресцентних барвників чи їх кон'югатів у клітині, велике значення має зарядженість молекули. Основний масив флуорофорів, що широко використовується для вивчення клітинних процесів передбачає використання позитивно заряджених барвників Cy5/Cy5.5/, оскільки вони дійсно мають високі квантові виходи

флуоресценції та молярні коефіцієнти екстинкції. Проте здатність катіонних барвників до накопичення в мітохондріях може впливати на біорозподіл їх кон'югатів, окрім того, призводити до зміни мітохондріального мембранного потенціалу і як наслідок – розриву мембрани та порушення мікрооточення [162, 163]. Тому задачею дослідження стала розробка довгохвильових барвників, які не проявлятимуть (або матимуть низьку) здатність селективного накопичення в органелах клітин.

В дисертаційній роботі розроблений ряд барвників, які не мають загального заряду і включають або справді нейтральні, або цвіттер-йонні хромофори. Внутрішньоіонні барвники - це сполуки, в яких катіон та аніон поєднані між собою системою спряжених зв'язків із розподіленням заряду по атомам хромофору. Сумарний позитивний заряд внутрішньоіонних барвників є +1, а негативний -1, а в цілому така молекула є електронейтральною, тому внутрішньоіонний барвник не містить протийону і відноситься до числа несолетворних сполук. Наявність різномінних зарядів, а також можливість їх локалізації в різних частинах молекули, обумовлює виникнення постійного дипольного моменту. Тоді як молекули йонних барвників є монополями і не існують без протийону. При електронному збудженні внутрішньоіонних барвників дипольний момент може як різко зростати, так і падати до нуля [163]. За цією ознакою їх умовно поділяють на нейтральні і бетаїнові. До нейтральних внутрішньоіонних барвників відносять мероціанінові барвники, у яких, як висвітлено в літературному огляді, один із станів (основний чи збуджений) може бути представлений у вигляді як нейтральної структури, так і біполярної [164]. Бетаїнові барвники – це барвники, що мають біполярну будову як в основному так і збудженному стані [163].

Мероціаніни широко використовуються для вирішення різних біологічних задач, наприклад, як зонди полярності мембран [46]. Відомий барвник МС-540, знайшов своє застосування у фототерапевтичних дослідженнях. В даний час мероціаніни знаходяться в доклінічних дослідженнях, спрямованих на лікування лейкемії. Найпоширенішими є мероціаніни на основі барбітурової [58, 59] і

тіобарбітурової [62, 63] кислоти та індандіону [64, 65], які мають заборонені $n - \pi^*$ переходи, що гасяТЬ флуоресценцію, а також утворювати водневі зв'язки із біомолекулами, що, в свою чергу, може впливати на кінцевий результат. Окрім того, для більшості мероціанінових барвників характерним є поглинання світла в області до 600 нм, що знаходиться за межами терапевтичного вікна. В літературних джерелах особлива увага приділяється дослідженню барвників із мезо-незаміщеним поліметиновим ланцюгом, що здатний до негативного ефекту ізомеризації. Практично не відображеній вплив мезо-замісників у поліметиновому ланцюзі на взаємодію із сироватковими альбумінами та клітинну проникність.

Отже, в даній частині роботи досліджуються нові мероціанінові барвники із жорсткозакріпленими фрагментами в поліметиновому ланцюзі для зменшення фотоізомеризації та зміщення максимуму поглинання в довгохвильову область. Для дослідження впливу мезо-замісника на зв'язування із білками, також синтезовано барвник **3.0** із «відкритим» поліметиновим ланцюгом. Усі сполуки **3.0 – 3.5** містили малонодинітрильний фрагмент як акцепторну частину та бензотіазоловий чи тіазолідіновий фрагменти як донор. Малононітрильний акцептор, на відміну від карбонільної групи барбітуратів, тіобарбітуратів і індандіону, практично не утворює водневі зв'язки і їх $n - \pi^*$ перехід неактивний у безвипромінювальних процесах [165, 166]. Донорну та акцепторну частини поєднано поліметиленовим ланцюгом, в який введено каркасні насищені шести та п'ятичленні місткові угрупування з різними замісниками (рис. 3.1), що відрізняються за своєю ліпофільністю. Окрім того, усі синтезовані барвники містили аліфатичний лінкер із карбоксильною групою для підвищення розчинності та для можливості ковалентної пришивки даних флуорофорів.

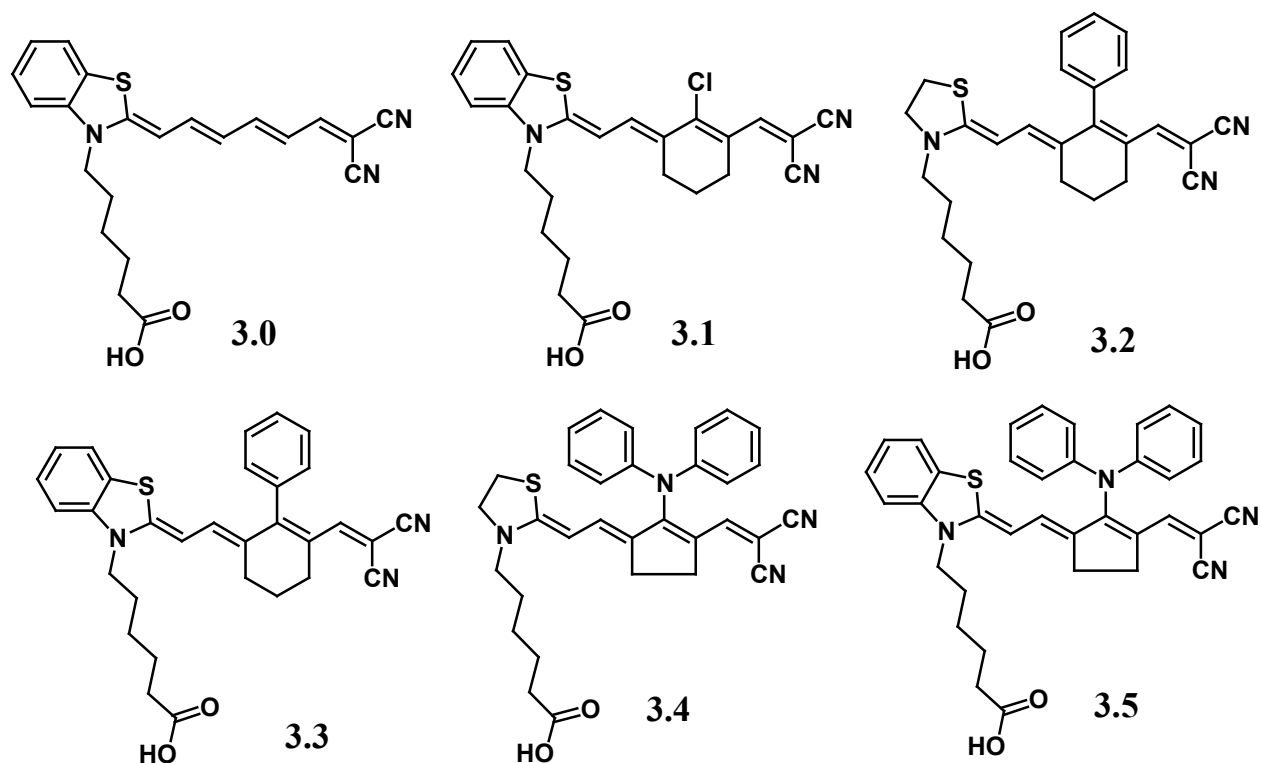


Рис. 3.1. Структури досліджуваних барвників

3.1 Синтез мероціанінових барвників

Для можливості створення кон'югатів на основі нових мероціанінових барвників, спершу комерційно доступні 2-метилбензотіазол і 2-метил-4,5-дигідротіазол алкілювали 6-бромогексановою кислотою з утворенням відповідних четвертинних солей. Введений лінкер із карбоксильною групою надає змогу отримувати широкий спектр кон'югатів із біологічно активними молекулами (лікі) та природніми субстратами. Проміжні продукти (3.2a, 3.3a, 3.1c, 3.4b, 3.5b) отримані з використанням конденсації солей бензотіазолію або 4,5-дигідротіазолію та солей імінію в присутності ацетату натрію як основи (рис. 3.2).

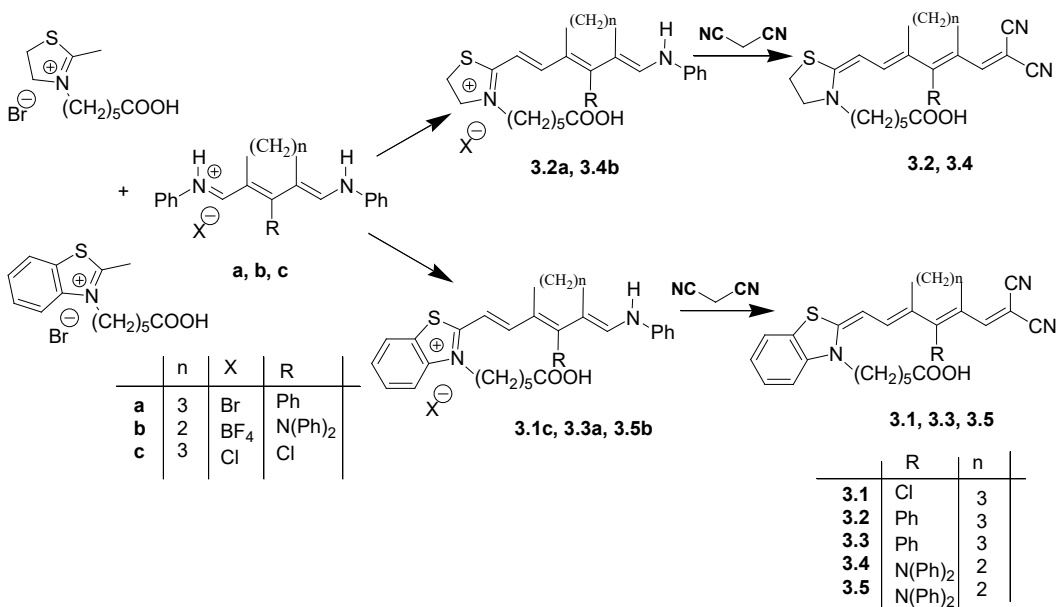


Рис. 3.2 Схема синтезу мероціанінових барвників

Оскільки відомо, що малонодинітрильний фрагмент практично не утворює водневих зв'язків, а також може мати роторні властивості і сприяти зростанню інтенсивності флуоресценції молекул у в'язких середовищах, його було обрано як акцепторний фрагмент при розробці дизайну барвників.

3.2 Спектрально-флуоресцентні характеристики досліджуваних сполук

Оскільки синтезовані сполуки є новими, спершу досліджений вплив будови на їх спектральні характеристики. Максимуми поглинання та флуоресценції барвників розташовані в області 624 – 730 нм, що робить можливим для використання їх в біоіміджингу *in vitro*. Цьому також сприяють високі коефіцієнти молярної екстинкції досліджуваних сполук. В метанолі вони знаходяться в області $(0.73 - 1,84) \times 10^5 \text{ M}^{-1}\text{cm}^{-1}$ (рис. 3.3, таблиця 3.1).

При переході від одного типу донора – тіазолідінового замісника (3.2 та 3.4) до донора, що містить бензотіазоловий замісник (3.0 - 3.3 та 3.5), спостерігається зміщення максимуму поглинання в довгохвильову спектральну область. Так, наприклад, заміна тіазолідінового фрагменту в структурі барвника 3.4 на бензотіазоловий в 3.5 приводить до зсуву максимуму абсорбції на 44 нм.

Таблиця 3.1

Спектральні характеристики барвників в метанолі (λ_{\max} – максимум поглинання, λ_{em} – максимум випромінення, ϵ – коефіцієнт молярної екстинкції)

Барвники	MeOH		
	λ_{abs} , nm	λ_{em} , nm	ϵ , $10^5 \text{ M}^{-1}\text{cm}^{-1}$
3.0	640	672	1.6
3.1	685	703	0.73
3.2	624	645	0.92
3.3	673	697	1.82
3.4	653	688	1.84
3.5	697	730	1.27

Заміна центрального фрагменту поліметинового ланцюга також впливає на спектрально-флуоресцентні властивості мероціанінів. Для барвників із циклопентильним кільцем, що містить дифеніламіно замісники, максимуми збудження та випромінювання флуоресценції зміщуються в довгохвильову спектральну область порівняно з їх аналогами, що містять циклогексильне кільце із фенільною групою (3.4 і 3.2 та 3.5 і 3.3, відповідно).

Як видно з таблиці 3.1, введення мезо-замісника приводить до гіпсохромного зсуву максимуму поглинання та флуоресценції: при введенні атому Хлору (барник 3.1) зміщення відбувається на 45 та 31 нм, а при введені дифеніламіно групи (барник 3.5) на 57 та 58 нм, відповідно, в порівнянні із барвником 3.0.

Отже, введення дифеніламіно групи чи атому Хлору в центральне кільце поліметинового ланцюга та бензотіазолу як акцепторної частини сприяє найбільшому зсуву в довгохвильову спектральну область.

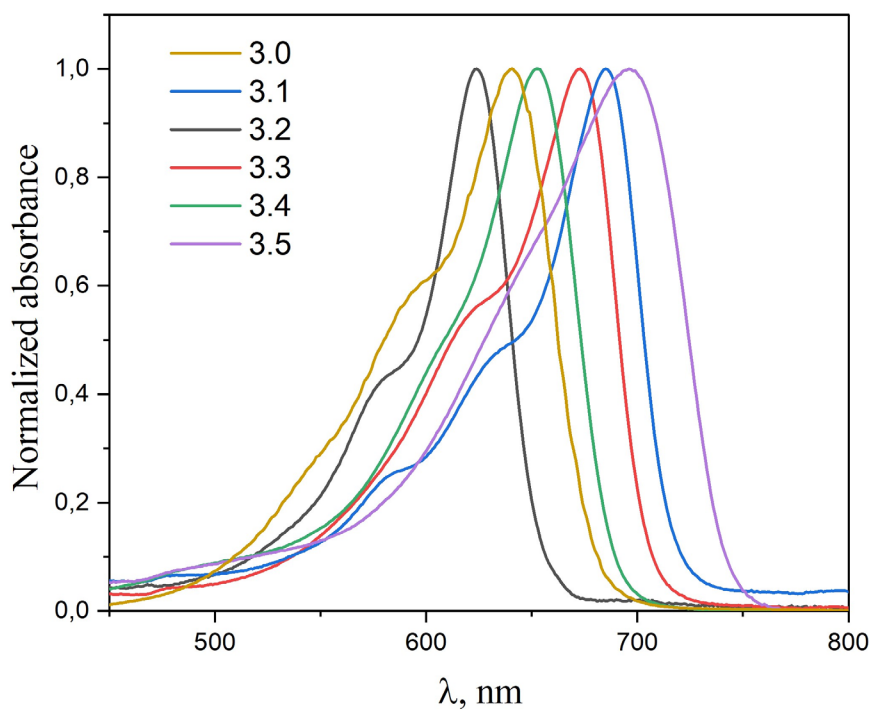


Рис. 3.3. Нормалізовані спектри поглинання в метанолі $C(\text{dye}) = 5\mu\text{M}$

Однак відомо, що введення гідрофобних груп може негативно вплинути на спектральні властивості у водному середовищі, а збереження флуоресцентних властивостей у водному буфері є необхідною умовою при дослідженні барвників як флуоресцентних зондів. Тому наступним етапом роботи стало дослідження впливу будови барвників на їх спектральні властивості у водному буферному середовищі (рН 7,9), а також за присутності людського альбуміну HSA.

Як зазначено на рис. 3.4, перехід від метанольного до водного буферного розчину впливає на форму спектральної кривої барвників. Зокрема, для мероціанінів **3.1** та **3.3** спостерігається поява додаткових короткохвильових максимумів, а криві поглинання барвників **3.0** та **3.5** розширяються, що може вказувати на тенденцію до агрегації у водному буфері. Форми кривих спектрів поглинання зберігаються для барвників з тіазолідіновими замісниками (**3.2** та **3.4**)

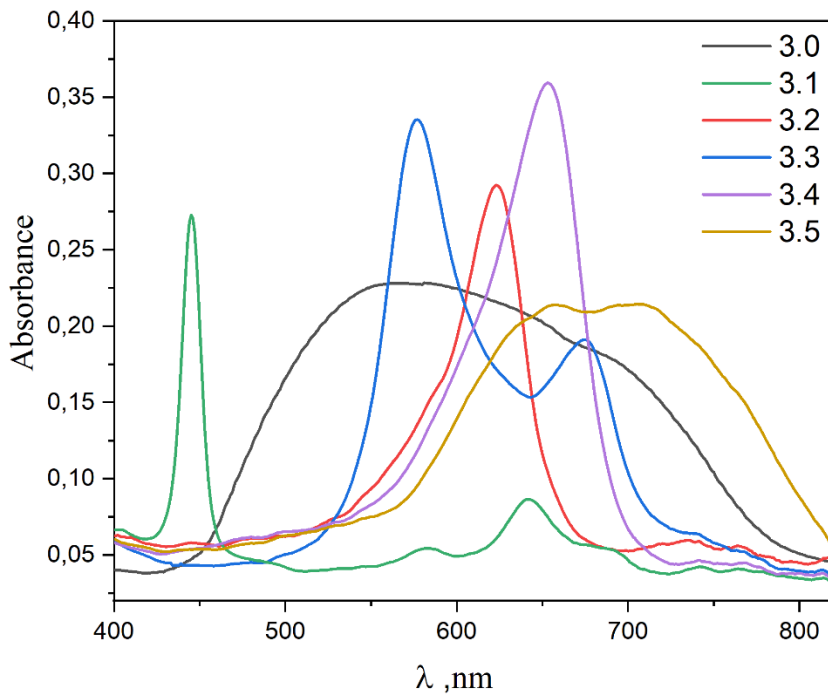


Рис. 3.4 Спектри поглинання барвників **3.0 – 3.5** в буферному розчині $C(\text{dye}) = 5\mu\text{M}$

Поліметинові барвники найбільш схильні до утворення асоціатів сендвічевої будови за рахунок дисперсійних взаємодій, які виникають завдяки протяжної спряженої системи легко поляризуємих π -зв'язків [167]. Цьому сприяє планарна будова хромофора і відсутність об'ємних замісників. Барвник **3.1** найбільш відповідає цим критеріям. Атом Хлору у мезо-положенні менш об'ємний ніж фенільна і, особливо, дифеніламіно група, яка за рахунок стеричних перешкод, виведена з площини хромофору майже на 90° . Крім того, легко поляризований атом Хлору додатково підсилює дисперсійні взаємодії між мономерними молекулами у сендвічі. Тому барвник **3.1** практично повністю утворює Н-агрегат, що відображається в наявності сильно гіпсохромно зсунутої смуги поглинання, її звуженні і гасінні люмінесценції. При поступовому додаванні метанолу до водного розчину барвника **3.1** (рис. 3.5) відбувається зменшення інтенсивності короткохвильового максимуму із одночасним зростанням довгохвильового, що свідчить про руйнування Н-агрегатів . Це видно

неозброєним оком: при прикапуванні метанолу до водного розчину барвника спостерігається зміна кольору розчину від зеленого до блакитного.

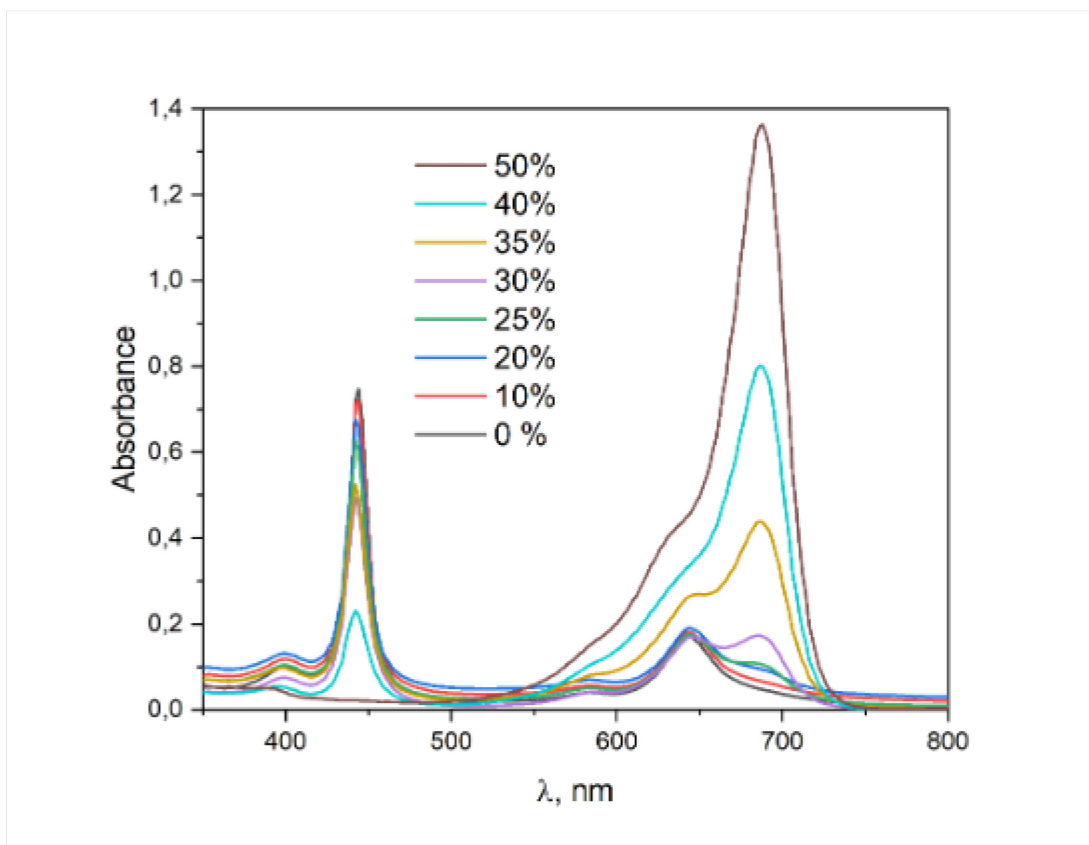


Рис. 3.5 Спектри поглинання 3.1 у водному розчині з вмістом метанолу від 0 до 50%; концентрація барвника 5 μM

Перехід до барвників 3.2 - 3.5 із об'ємними мезо-замісниками значно знижує ймовірність утворення асоціатів сендвічевої будови, що видно зі значно слабшої деформації спектрів поглинання цих барвників. Мероціаніни 3.2 та 3.4, як видно з рис. 3.4, найменш схильні до агрегації. Це можна пояснити коротшою довжиною π -системи серед досліджуваних барвників, наслідком чого є послаблення дисперсійних взаємодій.

При вивчені залежності агрегації барвника 3.3 від концентрації встановлено, що зменшення концентрації барвника призводить до перерозподілу між агрегованим (λ_{max} при 578 нм) та мономерним (λ_{max} при 674 нм) станом. При концентрації 2 μM максимум в короткохвильовій області, що відповідає поглинанню утворених агрегатів практично відсутній (рис. 3.6).

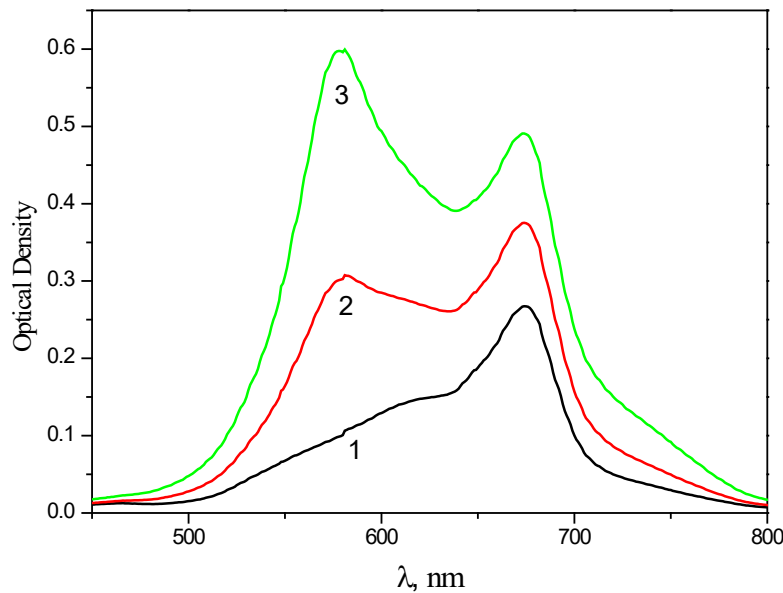


Рис. 3.6. Зміни спектрів поглинання барвника 3.3 в залежності від концентрації (1 – 2 μM , 2 – 5 μM , 3 – 10 μM)

Сироваткові альбуміни є основними транспортними білками в плазмі крові для багатьох сполук, таких як гормони, жирні кислоти і для виконання цієї функції можуть зв'язувати різні ліганди. Зв'язування флуорофорів із сироватковими альбумінами використовується для біомедичної візуалізації, для визначення константи зв'язування лікарських засобів з альбуміном та для дослідження конформаційних змін білкових молекул.

За присутності HSA відбувається батохромне зміщення максимумів поглинання усіх досліджуваних флуорофорів в порівнянні з їх положенням у водному буфері (рис. 3.7). Для барвника 3.1 характерним є зростання довгохвильового максимуму в спектрі поглинання та його зміщення на 59 нм в червону область спектру. Інтенсивність короткохвильового максимуму при 445 нм в цей же час зменшується.

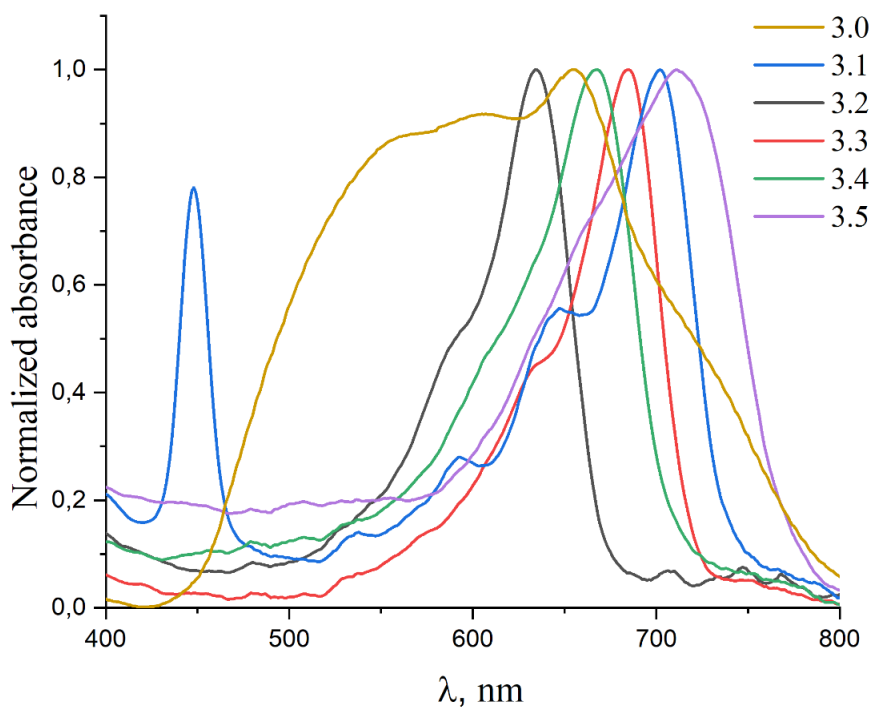


Рис. 3.7 Нормовані спектри поглинання досліджуваних барвників при додаванні HSA (0.2 мг/мл); $C(\text{dye}) = 5\mu\text{M}$

Форма кривої поглинання барвника **3.5** в присутності HSA змінюється, зокрема, широка смуга, що спостерігалася в буферному розчині в області 600 – 800 нм зникає і з'являється максимум поглинання $\lambda_{\text{abs}} = 712$ нм. Тоді як для барвника **3.0** також спостерігається поява довгохвильового мономерного піку, проте основна форма кривої залишається уширеною, що говорить про сильну тенденцію до утворення агрегатів за відсутності замісників в поліметиновому ланцюзі. Схожість за формою кривих спектрів поглинання в MeOH та барвників в середовищі HSA вказує на те, що барвники **3.2 – 3.5** за присутності альбуміну переважно знаходяться в мономерній формі.

Для встановлення впливу мезо-замісника в поліметиновому ланцюзі на фотостабільність, проведено порівняння в змінах оптичної густини при опроміненні етанольних розчинів барвників **3.0** та **3.3** інтегрованим світлом ксенонової лампи, що має неперервне спектральне розподілення випромінювання в УФ і видимій області. Як видно з рис. 3.8, швидкість

фотознебарвлення барвника **3.0** є вищою, ніж для барвника **3.3**, що свідчить про підвищення фотостабільності при введені центрального мезо-замісника в поліметиновий ланцюг.

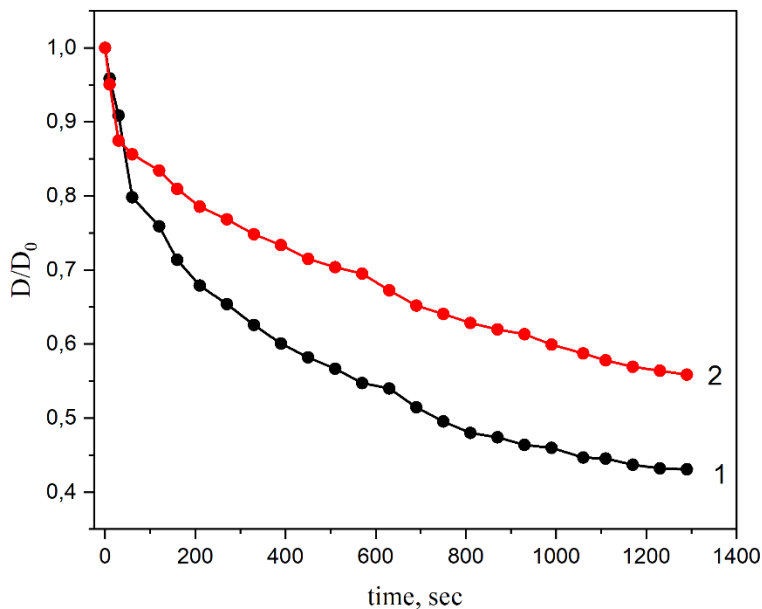


Рис. 3.8 Фотостабільність мероціанінових барвників: 1 – барвник **3.0**, 2 – барвник – **3.3**

3.3 Спектральні властивості мероціанінів за присутності білків

Дослідження флуоресцентних властивостей показало, що додавання HSA збільшує інтенсивність флуоресценції барвників: спостерігається зростання квантових виходів у 8 – 20 разів, а також зміщення максимумів збудження та випромінювання флуоресценції в червону область (таблиця 3.2). Ізомеризація барвників, а також агрегаційні процеси у водному середовищі можуть призводити до безвипромінювальної конверсії $S_1 - S_0$, наслідком якої є невисокі квантові виходи флуоресценції вільних барвників. В той же час нековалентне зв'язування зі структурою альбуміну ускладнює обертання барвника навколо зв'язків поліметинового ланцюга та знижує конформаційну ізомерізацію в полярних середовищах. Це приводить до зростання їх квантових виходів

флуоресценції. Отже, батохромний зсув максимумів поглинання та флуоресценції, а також зростання інтенсивності флуоресценції і квантових виходів вказує на взаємодію барвників з HSA.

Оскільки синтезовані барвники виявилися чутливими до альбуміну, важливо дослідити їх спектрально-флуоресцентну відповідь на інші структурно-подібні альбуміни, а також на глобулярні білки іншої структури. Поглиблене вивчення взаємодії між білками та флуорофорами має важливe значення для виявлення механізмів зв'язування, розробки покращених методів та засобів візуалізації. Спектральні властивості мероціанінів проаналізовані за присутності бичачого сироваткового альбуміну (BSA), людського сироваткового альбуміну (HSA), кінського сироваткового альбуміну (ESA), овальбуміну (OVA) та лізоциму (LYS). Взаємодію оцінювали за зростанням інтенсивності флуоресценції мероціанінових барвників за присутності білків (таблиця 3.2).

Таблиця 3.2

Максимуми збудження та випромінювання флуоресценції для барвників у вільному стані та за присутності білків (λ_{ex} – максимум збудження флуоресценції; λ_{em} – максимум випромінювання флуоресценції, QY – квантовий вихід флуоресценції)

Барвники	Буфер			BSA			HSA			ESA		
	λ_{ex} , nm	λ_{em} , nm	QY	λ_{ex} , nm	λ_{em} , nm	QY	λ_{ex} , nm	λ_{em} , nm	QY	λ_{ex} , nm	λ_{em} , nm	QY
3.0	650	665	0.01	662	674	0,09	664	677	0,10	662	676	0,10
3.1	688	704	-	702	714	0.19	708	718	0.16	707	718	0.17
3.2	624	644	0.02	640	654	0.21	643	657	0.17	639	653	0.20
3.3	678	694	0.03	697	710	0.41	693	709	0.25	694	708	0.33
3.4	662	682	0.02	673	696	0.15	680	696	0.31	674	691	0.12
3.5	716	730	0.01	722	743	0.11	737	748	0.21	722	742	0.13

Додавання барвників до розчину альбумінів приводить до зміщення максимумів збудження та випромінювання флуорофорів у довгохвильову

область спектру та зростанню квантових виходів та інтенсивності флуоресценції. Підвищення інтенсивності флуоресцентного сигналу спостерігається в середньому у 5-14 разів за присутності BSA, в 6 - 24 і 7-13 разів в комплексі з HSA та ESA відповідно.

Як видно з рис. 3.9 барвник **3.2** демонструє найнижчу флуоресцентну відповідь на всі сироваткові альбуміни. Виявлена специфічність барвників до деяких альбумінів, зокрема, найбільше зростання інтенсивності флуоресценції спостерігається при взаємодії барвників з HSA.

В той же час, досліджувані барвники продемонстрували помітно менше зростання інтенсивності флуоресценції в присутності білків інших класів - овальбуміну та лізоциму. Наприклад додавання OVA приводить до збільшення інтенсивності флуоресценції в 1,5 – 7 разів, а LYS в 1 - 1,5 рази.

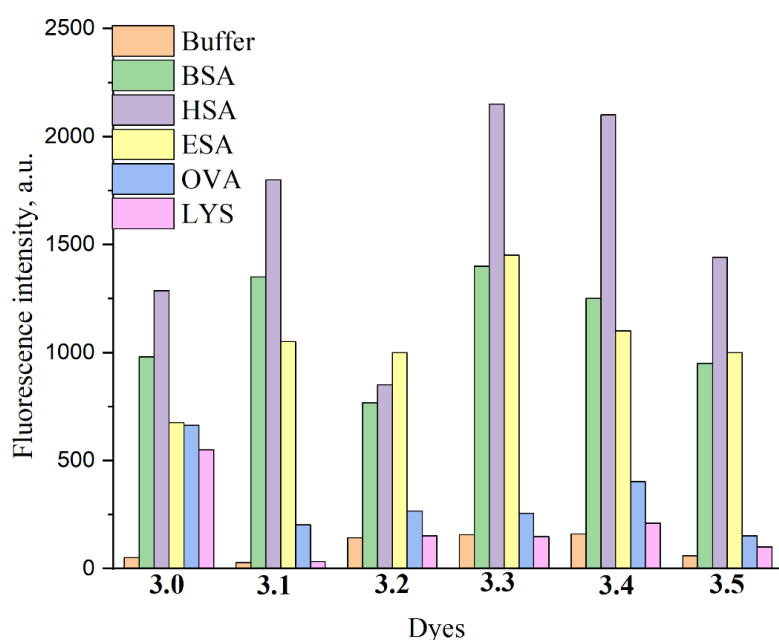


Рис. 3.9 Інтенсивності флуоресценції барвників у водному буфері та за присутності білків

Крім того, спектральні характеристики не змінювалися при додаванні мероціанінових барвників до розчинів ДНК чи РНК, що свідчить про відсутність їх селективного зв'язування.

З літературних даних відомо, що нейтральні флуоресцентні барвники близького інфрачервоного діапазону на основі мероціаніну раніше запропоновані як зонди для візуалізації агрегатів β -амілоїдних бляшок *in vivo*. Вважається, що механізм зв'язування полягає в їх інтеркаляції в гідрофобні щілини агрегованих амілоїдних фібріл. Також мероціанінові барвники чутливі до змін в'язкості середовища через роторну поведінку поліметинового ланцюга.

На рис. 3.10 продемонстроване зростання інтенсивності флуоресценції досліджуваних барвників у гліцеролі, метанолі та буфері.

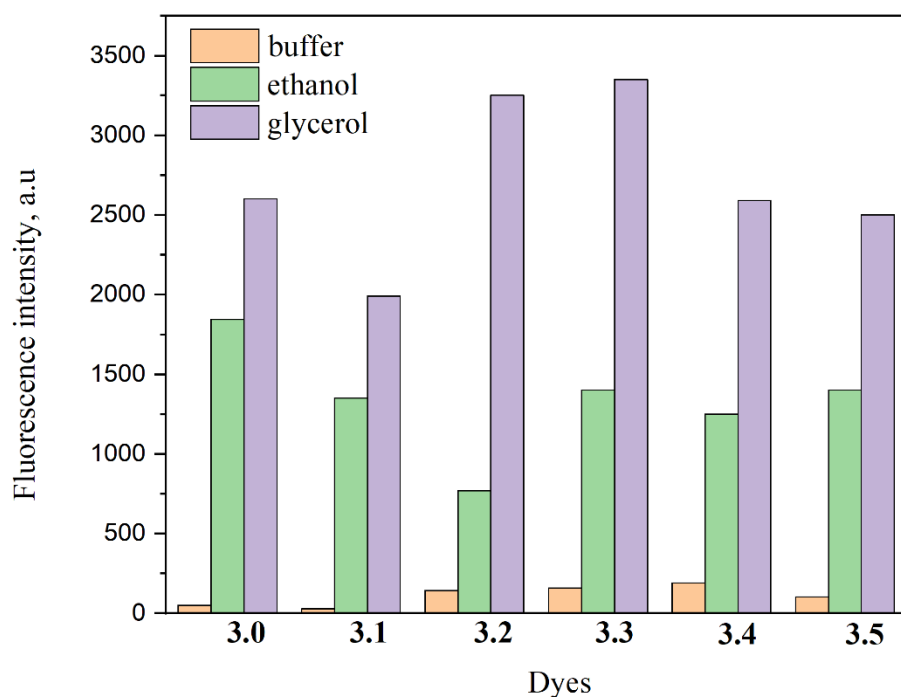


Рис. 3.10 Інтенсивності флуоресценції барвників у буфері, метанолі та гліцеролі

Зростання інтенсивності флуоресценції у гліцеролі відбувається в середньому в 20 разів в порівнянні із флуоресценцією барвників у воді. Зміни флуоресценції при зростанні в'язкості середовища найбільш помітні для барвників, що склонні до агрегації у водному середовищі. Зокрема, для барвників **3.0** та **3.1** в наслідок руйнування агрегатів, спостерігається підвищення інтенсивності флуоресценції в 50 та 70 разів, відповідно. Таким чином,

синтезовані мероціаніни проявляють вищу інтенсивність флуоресценції зі збільшенням в'язкості середовища.

Можна припустити, що зв'язування досліджуваних мероціанінових барвників із сироватковими альбумінами відбувається через гідрофобне зв'язування барвника з гідрофобними ділянками поверхні білка. Оскільки сироваткові альбуміни мають схожу поверхневу структуру та виконують подібні транспортні функції, цілком зрозуміло, що ми бачимо зв'язування барвників, що приводить до збільшення інтенсивності флуоресценції за присутності всіх трьох досліджених альбумінів. Фіксація в гідрофобній кишенні білка перешкоджає руху і обертанню поліметинового ланцюга молекул барвника. Для барвників із склонністю до агрегації іншим механізмом підвищення флуоресценції може бути руйнування слабофлуоресцентних агрегатів барвника за рахунок взаємодії з альбумінами та фіксації мономерної форми барвника.

На основі експериментальних даних визначені константи зв'язування з HSA для барвників **3.0, 3.3, 3.4** та **3.5** (константи зв'язування, K_b) шляхом вимірювання інтенсивності флуоресценції барвників із фіксованою концентрацією ($5 \mu\text{M}$) при зростанні концентрації HSA від 0 до 4 мг/мл. Експериментальні дані були апроксимовані за допомогою рівняння (5) із припущенням, що кожна білкова глобула має n сайтів зв'язування барвника з однаковими константами зв'язування K_b . У результаті підгонки виявилося, що прийнятних значень n як параметра апроксимації отримати не вдалося. Тому обробку даних проводили з використанням фіксованих цілих значень кількості молекул флуорофору на глобулу HSA - n. Найкращу відповідність отримано для $n = 4$ для усіх барвників та оцінені константи зв'язування при даному фіксованому значенні n.

Як видно з таблиці 3.3, більші значення констант зв'язування були оцінені для барвників, що мають угрупування в мезо-положенні поліметинового ланцюга, які сприяють додатковим взаємодіям в гідрофобних кишенях альбуміну. Це підтверджує припущення про те, що найбільший вклад у

зв'язування білок-барвник вносять саме гідрофобні взаємодії, які зменшують можливість перетворити накопичену енергію в механічне обертання.

Таблиця 3.3

Константи зв'язування барвників 3.3, 3.4, 3.5 з HSA

Барвники	$K_b \text{ M}^{-1}$
3.0	$(1.2\pm0.1)\times10^4$
3.3	$(1.1\pm0.3) \times 10^5$
3.4	$(6.2\pm0.4) \times 10^5$
3.5	$(4.3\pm0.3) \times 10^5$

Також ми припускаємо, що сайти зв'язування можуть містити позитивно заряджені групи аргініну та лізину, які будуть взаємодіяти з негативно зарядженими карбоксильними групами барвника та забезпечувати додаткове зв'язування в кишенні.

3.4 Молекулярний докінг флуоресцентного зонду 3.4 по всій поверхні молекули сироваткового альбуміну людини

Для того щоб ідентифікувати потенційні сайти зв'язування флуоресцентного барвника **3.4** із сироватковим альбуміном людини, проведено молекулярний докінг по всій поверхні молекули HSA за допомогою веб-сервера CB-DOCK (<http://clab.labshare.cn/cb-dock/php/index.php>).

Сироваткові альбуміни складаються з приблизно 580 амінокислотних залишків, із яких майже 67% знаходяться в α -спіралі. Глобулярна структура сироваткових альбумінів включає шість витків із 17 дисульфідними містками в повторюваній послідовності з 9 петель. Третинна структура сироваткових альбумінів складається з трьох доменів I, II і III аналогічної структури, кожен із яких містить субдомени A і B, що складаються з 4 і 6 α -спіралей, відповідно.

У результаті проведення молекулярного докінгу флуоресцентного зонда **3.4** по всій поверхні молекули сироваткового альбуміну людини ідентифіковано 5 найбільш імовірних кишень зв'язування (рис. 3.11).

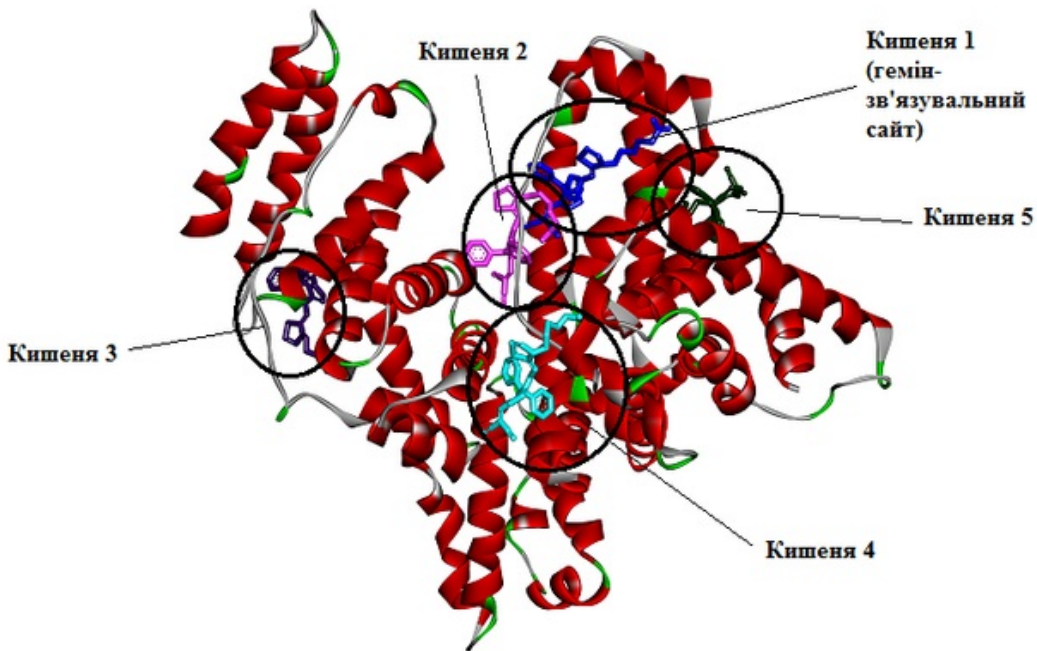


Рис. 3.11 Потенційні кишені зв'язування флуоресцентного барвника **3.4**. на поверхні молекули сироваткового альбуміну людини

Згідно з даними молекулярного докінгу найкраще значення скорингової функції (сума міжмолекулярних електростатичних та Ван дер Ваальсових взаємодій) виявлено для кишені 1, що є гемін-зв'язувальним сайтом і становить $-10,2$ ккал/моль. Значення скорингової функції для кишень 2, 3, 4 і 5 становлять відповідно $-7,9$ ккал/моль, $-7,8$ ккал/моль, $-7,7$ ккал/моль та $-6,4$ ккал/моль.

Детально досліджено комплекси флуоресцентного барвника із амінокислотними залишками передбачених кишень зв'язування.

Як видно з рис. 3.12, *a* сполука фіксується в гемін-зв'язувальному сайті (кишена 1) завдяки гідрофобним взаємодіям із амінокислотними залишками Leu182, Tyr138, Ile142, Arg186, Leu115 та Arg117. Як можна бачити з рис. 3.12, *b* молекула флуоресцентного зонду **3.4** в кишенні 2 задіяна у формуванні гідрофобних взаємодій із амінокислотними залишками Arg114, Leu112, Pro110,

His146, Lys190, а також утворює водневі зв'язки з His146 і Arg145 та π -аніон, π -катіон взаємодії з Glu425 і Arg186, відповідно.

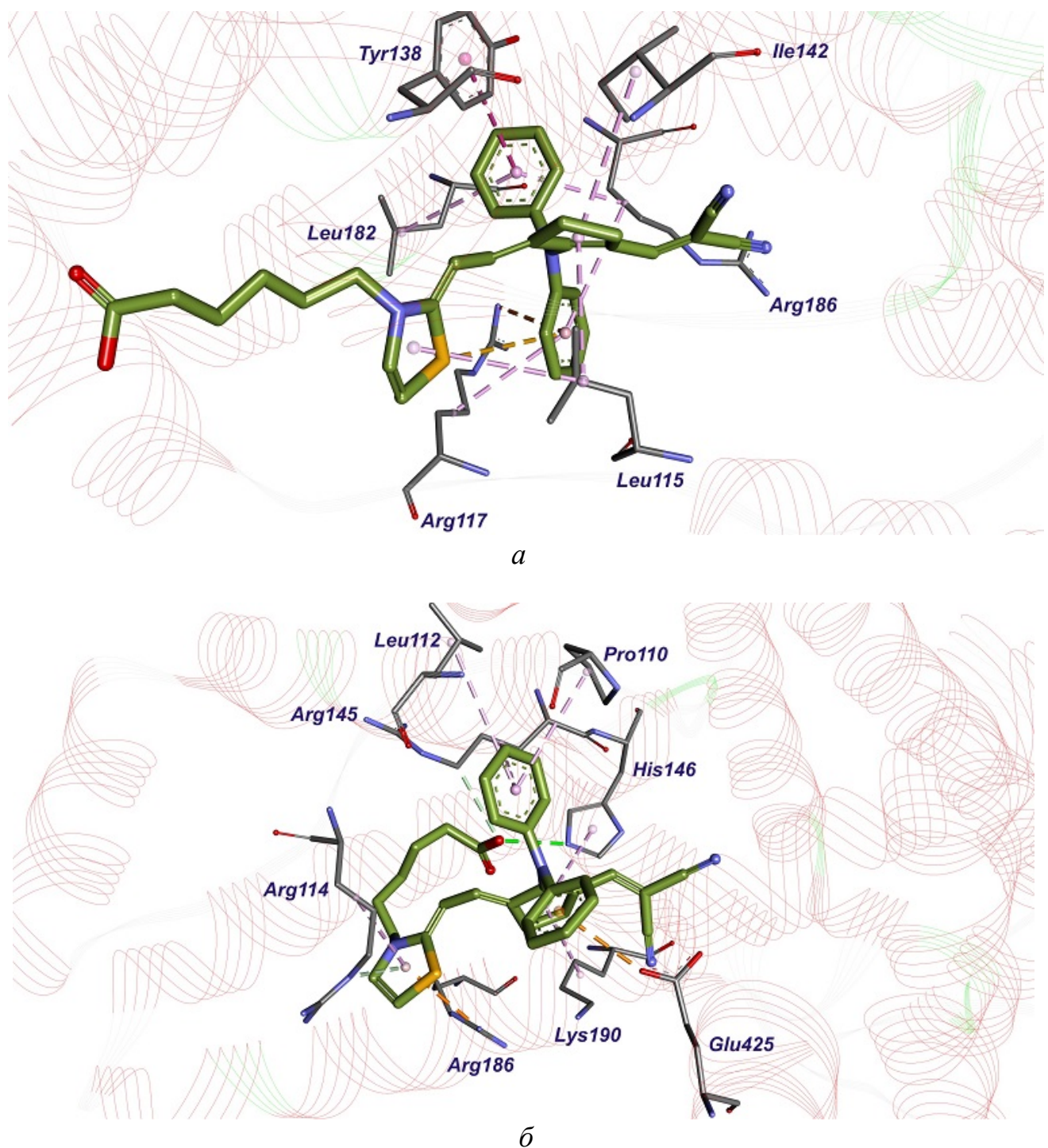


Рис. 3.12 Комплекси флуоресцентного барвника 3.4 із амінокислотними залишками в кишенні 1 (a) та 2 (б)

На рис. 3.13 зображені комплекси флуоресцентного барвника 3.4 з амінокислотними залишками кишені 3 (а) та 4 (б).

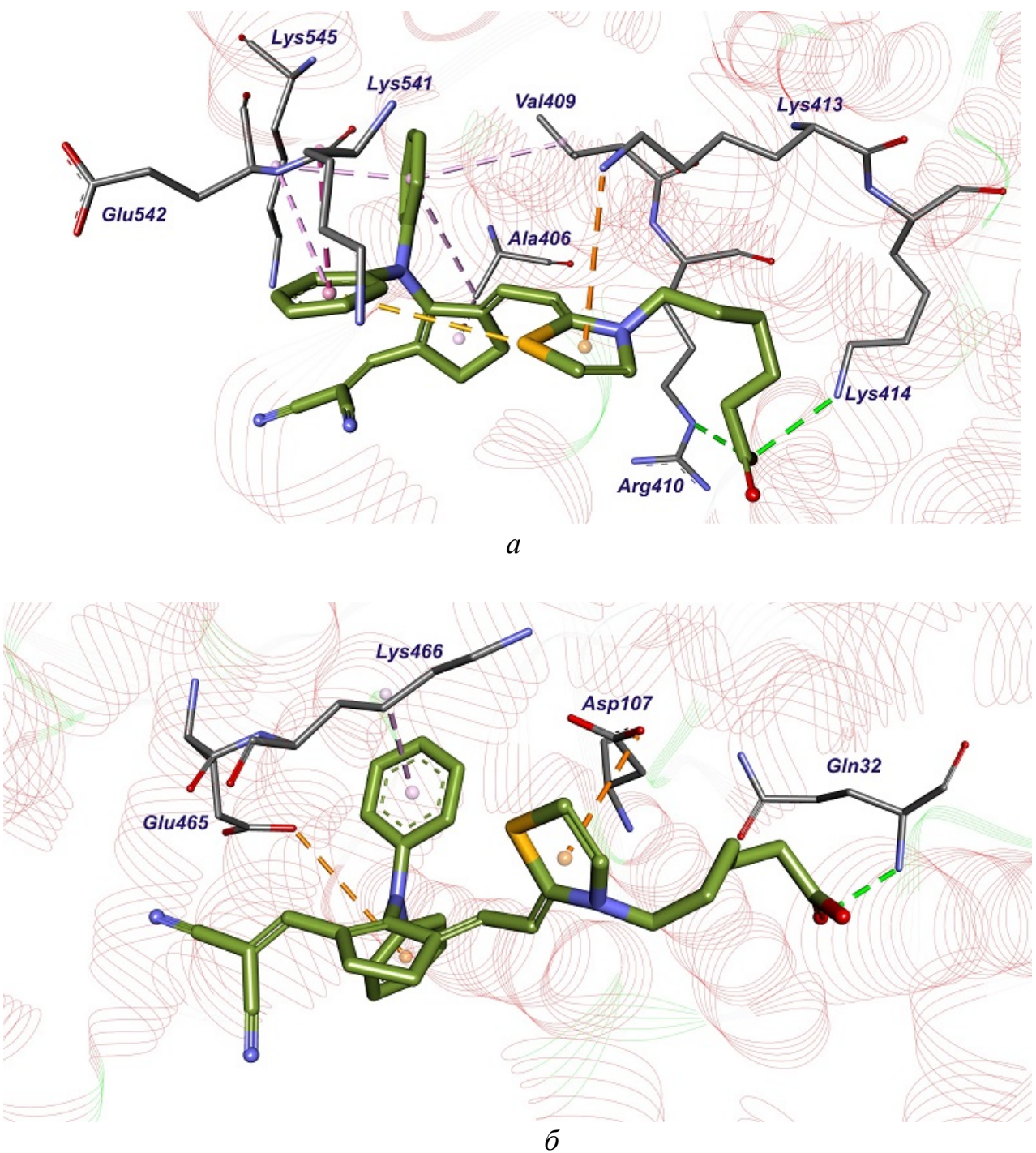


Рис. 3.13 Комpleksi флуоресцентного барвника 3.4 із амінокислотними залишками в кишені 3 (а) та 4 (б)

Сполука утворює гідрофобні взаємодії з Glu542, Lys545, Lys541, Ala406, Val409, а також π -катіон взаємодію з Lys413 та водневі зв'язки з Arg410 і Lys414

в кишені 3 (рис. 3.13, а). У кишені 4 сполука фіксується за участі π -аніон взаємодій із Glu465, Asp107, гідрофобного контакту з Lys466 та утворює водневий зв'язок із Gln32 (рис. 3.13, б).

При аналізі комплексу флуоресцентного зонду з амінокислотними залишками кишені 5, на рис. 3.14, помітно, що сполука утворює гідрофобні контакти з Lys162, Lys159, π -катіон взаємодію з Lys159, π -аніон взаємодію з Glu17, а також водневі зв'язки з Lys159 та Glu132.

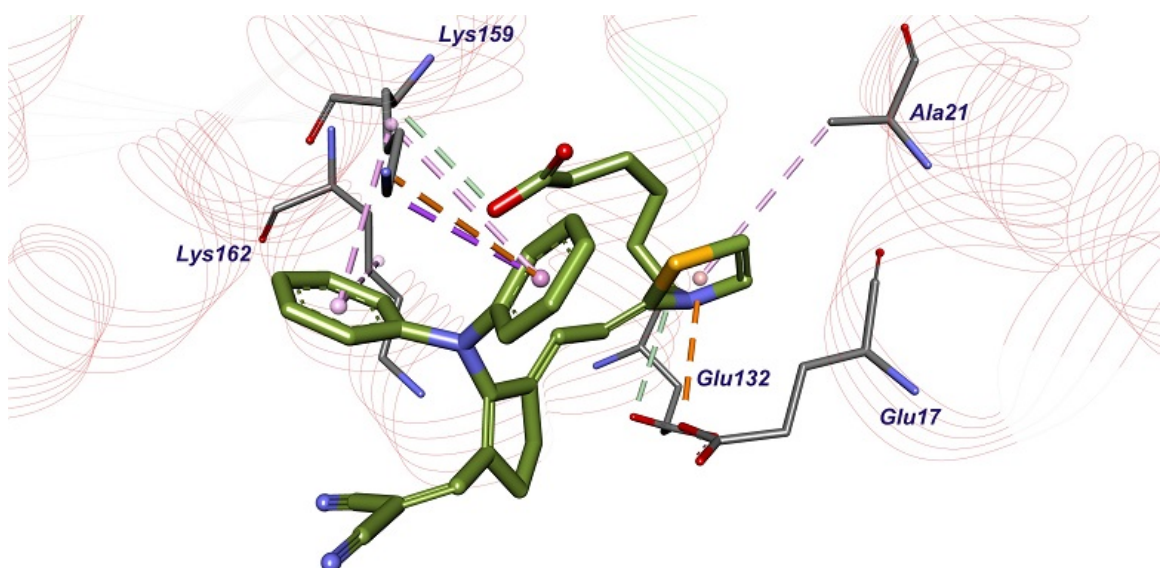
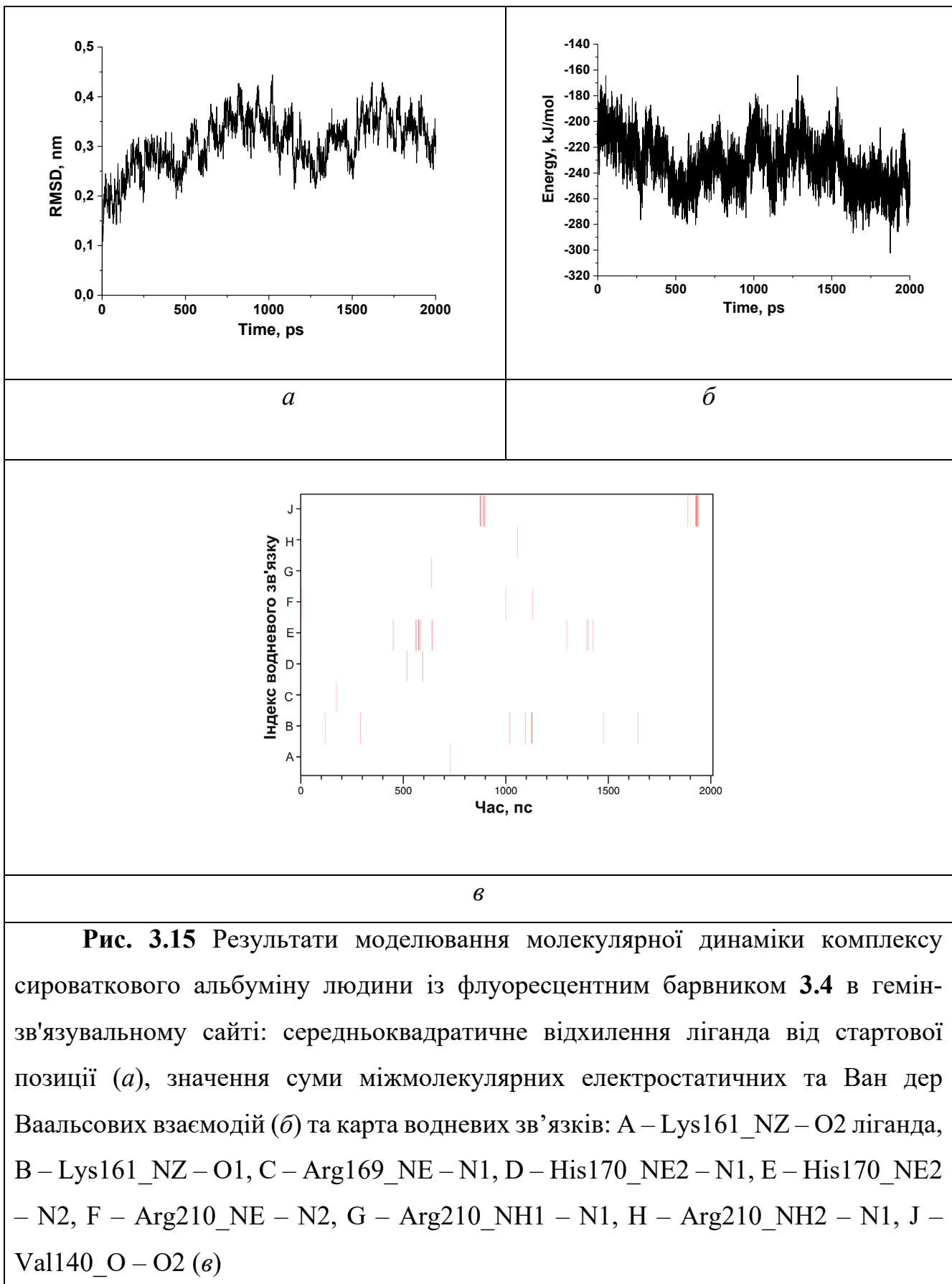


Рис. 3.14 Комpleksi флуоресцентного барвника 3.4 із амінокислотними залишками в кишені 5

Гідрофобні взаємодії барвника 3.4 із амінокислотними залишками в кишенях альбуміну представлені фіолетовими пунктирними лініями, водневі зв'язки – зеленими пунктирними лініями, електростатичні – червоними пунктирними лініями, π -катіон та π -аніон взаємодії – оранжевими пунктирними лініями.

Комплекс флуоресцентного зонду 3.4 в гемін-зв'язувальному сайті сироваткового альбуміну людини, отриманий за допомогою молекулярного докінгу, використаний для розрахунків молекулярної динаміки протягом 2 нс (рис. 3.15, а, б, в).



За результатами молекулярної динаміки виявилося, що комплекс є стабільним, не схильним до дисоціації, оскільки середньоквадратичне відхилення ліганда від стартової позиції коливається не в значних межах (рис. 3.15, *a*). При моделюванні комплексу протягом 2 нс спостерігається зниження середнього значення енергії, що є сумою міжмолекулярних електростатичних та Ван дер Ваальсових взаємодій, із -200 кДж/моль до -250 кДж/моль, що свідчить про стабілізацію комплексу (рис. 3.15, *b*). При аналізі карти водневих зв'язків виявилося, що флуоресцентний зонд **3.4** може короткочасно формувати водневі зв'язки з Lys161 (рис. 3.15, *c*, A, B), Arg169 (рис. 3.15, *c*, C), His170 (рис. 3.15, *c*, D, E), Arg210 (рис. 3.15, *c*, F, G, H), Val140 (рис. 3.15, *c*, J).

Отже, для досліджуваних мероціанінових барвників виявили чутливість до зміни в'язкості середовища, що проявилося у значному зростанні інтенсивності флуоресценції за рахунок утрудненого роторного обертання малонодінітрильного фрагменту, а також руйнуванню нефлуоресцентних сендвічевих агрегатів, що утворюються у водному середовищі. Проте концентрація альбумінів, що використовувалася в ході експериментів, не підвищує в'язкість розчину настільки, щоб цього було достатньо для помітного зростання квантових виходів флуоресценції.

Роль альбуміну, скоріш за все, полягає у перешкодженні асоціації барвників у водних розчинах [168]. Також, можна припустити, що альбуміни утворюють стійкі комплекси з барвниками, в яких флуорофор жорстко фіксується тільки у вигляді одного ізомеру. У випадку фіксації транс-ізомеру, відбувається різке зростання інтенсивності флуоресценції, тоді як у випадку цис-ізомера, навпаки, відбувається тушіння флуоресценції [169]. Ретельне дослідження взаємодії між альбуміном і барвниками має важливе значення для покращення методів та засобів візуалізації, оскільки зв'язування з білками плазми впливає на кінцеву фармокінетику і, отже, на біорозподіл.

3.5 Дослідження клітинної проникності барвників та їх цитотоксичності

Здатність мероціанінових барвників проникати та фарбувати живі клітини вивчали за допомогою проточної цитометрії використовуючи лінію A2780. Контроль власної флуоресценції клітин проводився з використанням аліквоти ДМСО (Рис. 3.16, зелений профіль). Результати показали, що барвники 3.3, 3.4 та 3.5 проникають у клітини. Це супроводжується зростанням інтенсивності флуоресценції у червоному спектральному діапазоні. Варто зазначити, що барвник 3.1 не вдалося виявити, що можна пояснити як його слабкою флуоресценцією у водному буфері, так і непроникністю через клітинну мембрани. Барвник 3.2 також не візуалізувався, оскільки його максимум поглинання знаходиться за межами збудження червоного лазера даного приладу. Okрім того, необхідно відмітити, що дослід проводився у безсироватковому середовищі для культивування клітин, оскільки за присутності фетальної сироватки флуоресцентний сигнал барвників був низьким.

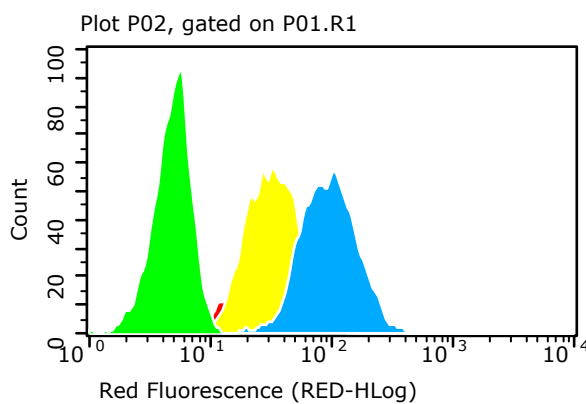


Рис. 3.16 Клітинна лінія A2780 пофарбована мероціаніновими барвниками: клітини оброблені ДМСО - зелений профіль, клітини оброблені 3.3.-жовтий профіль, клітини оброблені барвником 3.4 – синій профіль та клітини з барвником 3.5. – червоний профіль. Концентрація барвників 0.5 μM

Дослідження з використанням МТТ реагенту проводили для визначення цитотоксичного ефекту барвників використовуючи клітинну лінію MCF-7 (аденокарцинома молочної залози) (рис. 3.17). Оскільки проникненню барвників до клітини може заважати зв'язування із фетальною сироваткою, дослідження цитотоксичності проводили у безсироватковому середовищі для забезпечення максимальної проникності барвників у клітини. Інкубацію клітин з барвниками здійснювали протягом доби, в діапазоні концентрацій від 0.1 до 10 μM . Далі клітини промивали та додавали МТТ-реагент (20 мкл з концентрацією 5 мг/мл). Життєздатність клітин, інкубованих без обробки барвниками приймали за 100%. Для обох досліджуваних барвників не виявлено токсичного ефекту на клітини навіть при найвищих концентраціях.

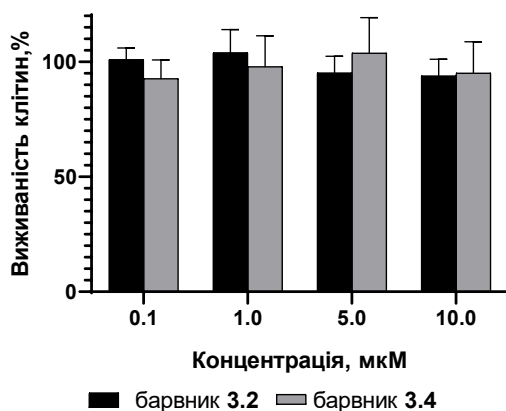


Рис. 3.17 Виживаність клітин лінії MCF-7 після інкубації 24 год з барвниками 3.3 та 3.4

Отже, барвники 3.3 та 3.4 проникають у клітини А2780, про що говорить зростання червоного флуоресцентного сигналу в проточному цитофлуориметрі, а також, за результатами МТТ-тесту, вони не проявляють токсичності по відношенню до клітин MCF-7 після 24-годинної інкубації в досліджуваному діапазоні концентрацій.

3.6 Флуоресцентна мікроскопія барвників 3.3 та 3.4 для фарбування клітин

Для фарбування живих клітин A2780 (карциноми яєчників), обрані два барвники 3.3 та 3.4, оскільки вони мали високу власну флуоресценцію. Клітини A2780 спершу інкубувалися 20 хвилин із барвниками 3.3 чи 3.4, концентрація яких складала 1 μM , далі додатково інкубувалися із мітохондріальним барвником - родаміном-123 та ядерним барвником Hoechst3342. Далі клітини двічі промивали буферним розчином PBS та додавали свіжу порцію HBSS (2 мл).

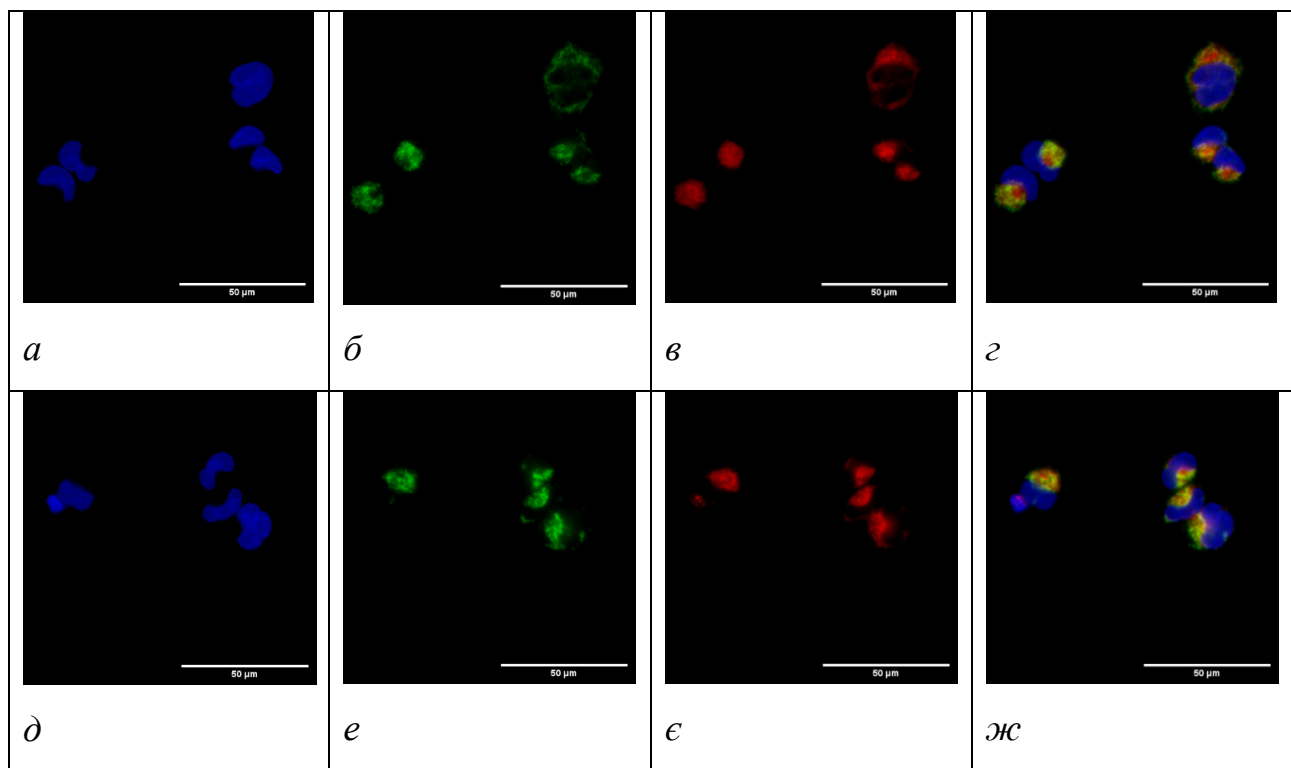


Рис. 3.18 Флуоресцентне зображення клітин A2780. Клітини забарвлені Hoechst 33342 (а, д), Rhodamine 123 (б, е), барвниками 3.3 (в) та 3.4 (є) та об'єднане зображення барвників з родаміном-123 та Hoechst 33342 (г, жс) Концентрація барвників - 1 μM

Флуоресцентні зображення зроблені за допомогою фільтрів: ex 625-655/em 665-715 nm (насичено-червоний) для виявлення досліджуваних барвників, ex

335-383/em 420-470 nm (синій) для виявлення Hoechst3342, 450-490/em та 500-550 nm (синій) для виявлення родаміну-123 (рис. 3.18).

Як видно з рис. 3.18, барвники забарвлюють клітину, при цьому вони не є специфічними до ядра. Аналіз колоколізації на клітинах оброблених барвником **3.3** виявив більш низьке значення коефіцієнта кореляції Пірсона, що мав середнє значення $0,78 \pm 0,10$, тоді як для барвника **3.4** коефіцієнт кореляції Пірсона склав $0,85 \pm 0,05$. Ці результати вказують на те, що досліджувані барвники лише частково колокалізуються зі стандартним барвником для візуалізації мітохондрій.

Отже, спираючись на представлені результати, можна зробити висновок, що структура мезо-замісника в поліметиновому ланцюзі впливає не лише на спектральні властивості барвників, а також на їх здатність до нековалентної взаємодії із альбумінами. При порівнянні барвників із фенільними та дифеніламінними групами виявлено, що зростання ліпофільноті барвників спершу приводить до зростання констант зв'язування, але для найбільш ліпофільного барвника **3.5** значення константи зв'язування знижується. Можна припустити, що підвищення ліпофільноті сприяє утворенню більш стійких асоціатів у водному середовищі, які не встигають зруйнуватися за присутності альбуміну в умовах експерименту.

Введення атому хлору в барвник **3.1** приводить до батохромному зсуву максимумів поглинання та флуоресценції. Проте характерним для даного барвника стала поява яскраво вираженого нефлуоресцентного максимуму у водному середовищі, що відповідає утворенню Н-агрегатів. Вплив середовища на спектральні властивості флуорофорів можна використовувати для різних хіміко-біологічних задач, проте тенденція до утворення стійких агрегатів у буфері барвника **3.1** не дозволяє використовувати його як реагент для біовізуалізації клітин.

Окрім впливу мезо-заміщення в поліметиновому ланцюзі, визначений вплив структури кінцевого гетероатому. Зокрема барвники **3.2** та **3.4** із

тіазолідіновим фрагментом продемонстрували найменшу схильність до утворення агрегатів у водному середовищі. Однак перевагою бензотіазолового фрагменту барвників **3.0**, **3.1**, **3.3** та **3.5** є зміщення їх максимумів поглинання в червону спектральну область. Отже, серед представленого ряду мероціанінів найбільш перспективними виявилися барвники **3.3** та **3.4**, що мали гарну розчинність у водному буфері та високу власну флуоресценцію. Їх було досліджено як реагенти для візуалізації клітин А2750 за допомогою флуоресцентної мікроскопії. Обидва барвники гарно проникали в клітину, частково колокалізувалися із мітохондріями, а також фарбували інші органели цитоплазми. Окрім того, на основі барвника **3.4** та глюкозаміну, синтезований кон'югат, що проникав через мембрани клітин і зафарбовував елементи цитоплазми. Отже, представлені барвники можуть використовуватися як потенційні реагенти для візуалізації клітин, а також як пришивочні зонди для вивчення біорозподілу невеликих молекул.

За результатами досліджень опубліковані наступні наукові праці:

Syniugina A., Chernii S., Losytskyy M., Syniugin A., Slominskii Y., Baland A., Özkan G., Mokhir A., Kovalska V., Yarmoluk, S. “The synthesis and study of novel merocyanine probes for protein detection and cells visualization” Journal of Photochemistry and Photobiology, 2021, 7, 100046; DOI:10.1016/j.jpp.2021.100046.

РОЗДІЛ 4

СКВАРАЇНОВІ БАРВНИКИ

До внутрішньоіонних барвників, окрім нейтральних, відносять також бетаїнові (цвіттер-йонні) барвники, в яких органічний катіон і аніон з'єднані між собою системою кон'югованих зв'язків, а їх позитивні та негативні заряди розподілені по атомах хромофору. Наявність різноменних зарядів і можливість їх локалізації в різних частинах молекули обумовлює появу постійного дипольного моменту, але в цілому бетаїнові молекули є електронейтральними та існують без протийону. Типовими представниками бетаїнів є барвники на основі сквараїнової кислоти – сквараїнові (скварилієві) барвники. Представники цього класу знаходять широке застосування в біологічних та медичних дослідженнях, оскільки мають високі коефіцієнти молярної екстинкції та квантові виходи флуоресценції, фотостійкість та здатність взаємодіяти з біомакромолекулами. Окрім того, сквараїни також характеризуються здатністю до генерації активних форм кисню (АФК) під час опромінення світлом і активно досліджуються як фотосенсибілізатори у фотодинамічній терапії [173]. Інтенсивно розробляються методи модифікації хімічної структури сквараїнів для збільшення генерації ${}^1\text{O}_2$ і АФК. Зазначається, що завдяки плоскій та гідрофобній будові серйозною проблемою при використанні сквараїнових барвників є їх агрегація, що погіршує спектрально-люмінесцентні і фотодинамічні властивості. Розуміння агрегаційної поведінки барвників у розчині має важливе значення для оптимізації цих властивостей.

У процесі виконання дисертаційної роботи синтезовані та досліджені симетричні сквараїнові барвники з індоленіновими та бензіндоленіновими гетероциклами із замісниками, що містять гідрофобні і гідрофільні групи при гетероатомі. Як гідрофобні бічні замісники досліджувалися сполуки із

алкільними радикалами різної довжини, а як гідрофільні - алкільні радикали із карбоксильними, сульфогрупами чи четвертинними солями амонію. Це дозволило оцінити вплив природи бічних замісників на їх зв'язування із білками, проникність у клітини та здатність генерувати АФК.

4.1 Синтез індоленінових сквараїнів

Синтез симетричних індоленінових сквараїнових барвників ілюстровано на рис. 4.1. Спершу комерційно доступний індоленін (1) алкілювали 6-бромгексановою кислотою чи 3-бром-N,N,N-триетилпропан-1-аміній бромідом, щоб отримати відповідні четвертинні солі 2 і 3. Далі проводили конденсацію між відповідними N-заміщеними солями індолію та сквараїновою кислотою з отриманням барвників 4.1 та 4.2. Барвник 4.3 синтезували гідролізом бутилового естера 4.1 шляхом кип'ятіння у хлоридній кислоті.

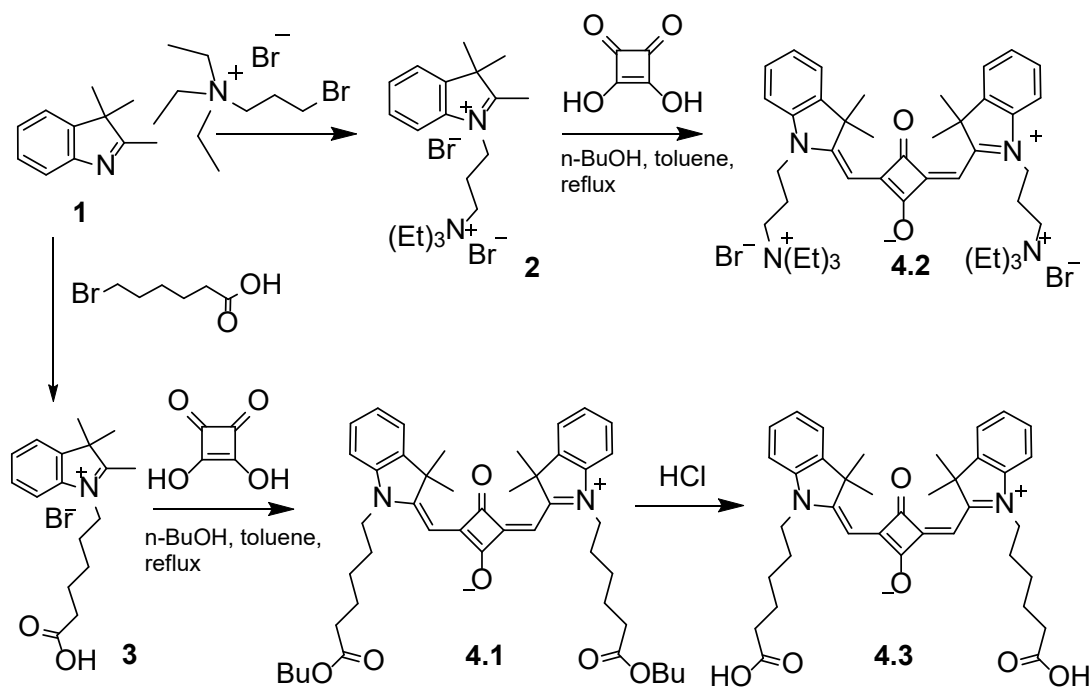


Рис. 4.1 Схема синтезу сквараїнових барвників 4.1 – 4.3

4.2 Спектрально-флуоресцентні властивості індоленінових скварайнів

Структури індоленінових скварайнових барвників представлена на рис. 4.2. Барвник **4.1** містить естерні замісники, що дозволяє молекулі в цілому залишатися електронейтральною, барвник **4.2** із замісниками, що містять червертинні солі амонію та барвник **4.3** із карбоксильними групи на бічних алкільних замісниках.

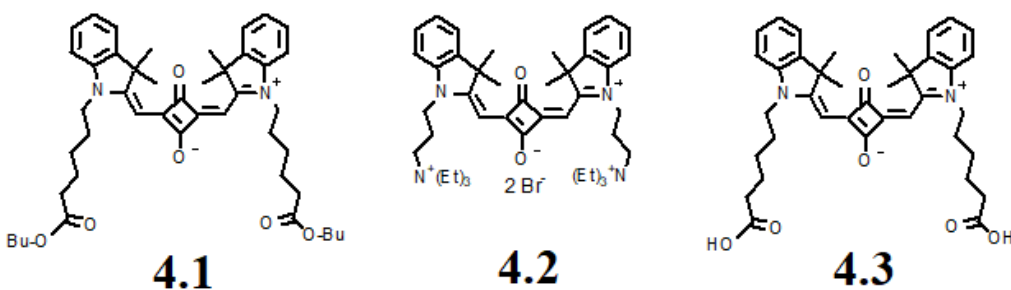


Рис. 4.2 Структури індоленінових скварайнів

Спектральні властивості даного ряду барвників наведені у таблиці 4.1. У метанолі максимуми поглинання барвників знаходяться в області 631 - 633 нм, барвники характеризуються високими значеннями молярних коефіцієнтів екстинкції ($2,5 - 3,1 \cdot 10^5 \text{ M}^{-1}\text{cm}^{-1}$).

Таблиця 4.1

Спектральні характеристики барвників в метанолі (λ_{abs} – максимум поглинання, λ_{em} – максимум випромінювання, ϵ – коефіцієнт молярної екстинкції)

Барвник и	MeOH		
	$\lambda_{\text{abs}},$ nm	$\lambda_{\text{em}},$ nm	$\epsilon,$ $10^5 \text{ M}^{-1}\text{cm}^{-1}$
4.1	631	648	3,1
4.2	633	645	2,5
4.3	631	645	3

Електронні спектри поглинання мають типову для органічних барвників універсальну форму смуги – інтенсивну, вузьку, асиметричну з коливальним максимумом на короткохвильовому спаді (рис. 4.3). Не зважаючи на те, що представлений ряд барвників поглинає в області до 650 нм, проте наявність основних, кислотних, а також нейтральних замісників, дозволила оцінити вплив будови барвників на їх поведінку в присутності глобулярних білків та здатність проникати через мембрану клітин.

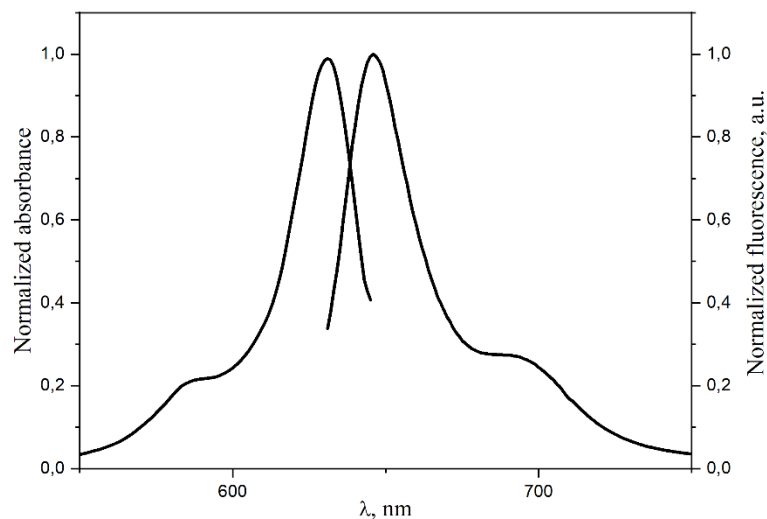


Рис. 4.3 Нормалізовані спектри поглинання (зліва) та флуоресценції (справа) в метанолі на прикладі барвника **4.1**

Криві поглинання та випромінювання флуоресценції для барвників **4.2** та **4.3** у буферному розчині ідентичні кривим в метанолі (рис. 4.4, *a*), тоді як спектр поглинання барвника **4.1** у буфері змінюється: замість однієї різкої смуги з'являється широка смуга з двома максимумами при 603 та 639 нм (рис. 4.4, *b*). Крива флуоресценції при цьому залишається вузькою, що свідчить про флуоресценцію мономерних одиниць в розчині. Інтенсивність флуоресценції у водному середовищі зменшується для усіх барвників.

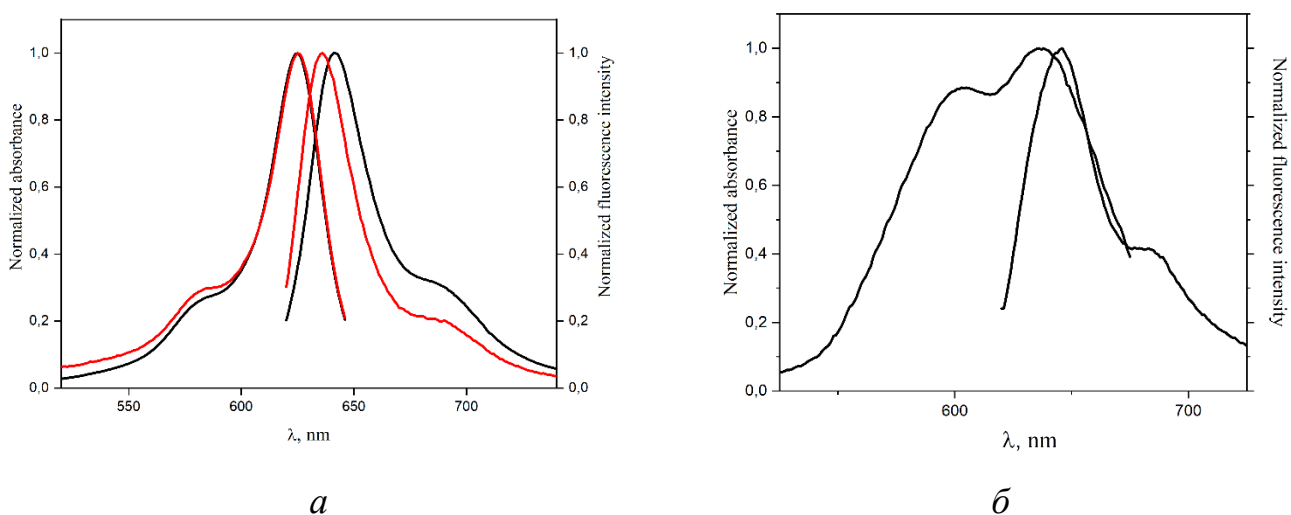


Рис. 4.4 Нормалізовані спектри поглинання та флуоресценції у буферному розчині барвників **4.2** (чорна лінія) **4.3** (червона лінія) (a) та барвника **4.1**. (б)

4.3 Спектральні властивості індоленінових скварайнів за присутності білків

В залежності від будови бічних замісників спектральна поведінка барвників змінюється за присутності бичачого сироваткового альбуміну (BSA). При додаванні до розчину альбуміну барвника **4.3** відбувається зростання його квантового виходу флуоресценції батохромне зміщення максимумів поглинання та флуоресценції на 16 та 13 нм, відповідно (таблиця 4.2).

При додаванні барвника **4.1** до розчину BSA максимум поглинання в короткохвильовій області, що утворюється в результаті агрегації барвника в буферному розчині, зменшується і відбувається зростання довгохвильового максимуму, що говорить про руйнування агрегатів та перехід молекул барвника у мономерний стан (рис. 4.5). В результаті утворення нефлуоресцентних агрегатів барвник **4.1** має слабку емісію у водному буфері, проте інтенсивність та квантовий виход флуоресценції зростають за присутності альбуміну.

Таблиця 4.2

Спектральні характеристики барвників в буферному розчині та в присутності альбуміну (λ_{abs} – максимум поглинання, λ_{em} – максимум випромінювання, QY – квантовий вихід флуоресценції)

Барвники	Буферний розчин (рН 7.9)			В присутності BSA		
	λ_{abs} , nm	λ_{em} , nm	QY	λ_{abs} , nm	λ_{em} , nm	QY
4.1	603/63 9	645	---	639	646	0.12
4.2	625	640	0.04	625	642	0.06
4.3	624	642	0.03	640	655	0.29

Найбільш яскравим виявився барвник **4.2**. Проте присутність альбуміну практично не вплинула на його спектральні властивості. Зокрема, положення та інтенсивність його максимумів поглинання та флуоресценції не змінюються, а зростання квантового виходу флуоресценції незначне.

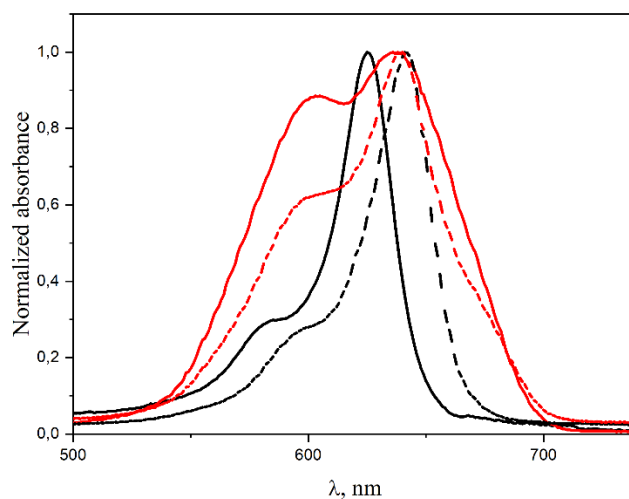


Рис. 4.5 Зміни форм спектрів поглинання в буферному розчині (суцільна лінія) та за присутності BSA (пунктирна лінія) для барвників **4.1** (червона лінія) та **4.3** (чорна лінія)

На основі отриманих значень інтенсивностей флуоресценції барвників при зростанні концентрації BSA (при сталій концентрації барвників $5 \mu\text{M}$), оцінені константи зв'язування флуорофорів із бичачим альбуміном. Значення констант зв'язування (Таблиця 4.3) розраховані при фіксованому $n = 1$. Невелика відмінність констант зв'язування **4.3** та **4.1** говорить про схожий механізм зв'язування. В той же час для барвника **4.2** значення K_b виявилося суттєво меншим.

Таблиця 4.3

Константи зв'язування барвників **4.1 – 4.3 з BSA**

Барвники	K_b, M^{-1}
4.1	$(5,3 \pm 1,4) \cdot 10^5$
4.2	$(6,7 \pm 1,3) \cdot 10^3$
4.3	$(3,4 \pm 0,4) \cdot 10^5$

Отже, в результаті взаємодії барвника **4.1** із бичачим альбуміном, спостерігається зміна спектрів поглинання та зростання інтенсивності флуоресценції за рахунок руйнування агрегатів барвника та його перехід в мономолекулярний вид. Жорстка фіксація молекул в гідрофобних кишенях альбуміну приводить до зростання квантового виходу барвника практично в 12 разів і його комплекс з BSA є найміцнішим, про що говорить найвище значення константи зв'язування. Зростання квантового виходу барвника **4.3** при взаємодії з альбуміном відбувається в 10 разів. Невелика відмінність між значеннями констант зв'язування барвників **4.1** та **4.3** говорить про схожий механізм зв'язування. В той же час ми припускаємо, що позитивно заряджені бічні замісники барвника **4.2** утворюють на поверхні альбуміну електростатичні взаємодії і не проникають всередину білкової глобули, або виштовхуються із її гідрофобних кишень, про що свідчить найменше значення константи зв'язування із BSA.

4.4 Флуоресцентна мікроскопія барвників 4.1 – 4.3 для фарбування ракових клітин

На клітинній лінії A2780 за допомогою флуоресцентної мікроскопії досліджена проникність барвників в клітину (концентрація барвників становила $1 \mu\text{M}$). При однакових налаштуваннях мікроскопа сигнал барвника **4.1** був зареєстрований в клітинах, сигнал барвника **4.3** спостерігався лише при зміні налаштувань, а барвник **4.2** в клітині не візуалізувався. Для вивчення внутрішньоклітинної локалізації барвника **4.1**, в клітини вводився також стандартний барвник Hoechst, що зв'язується з ядерною ДНК та зелений флуоресцентний мітохондріально-специфічний барвник MitoTracker Green (рис. 4.6).

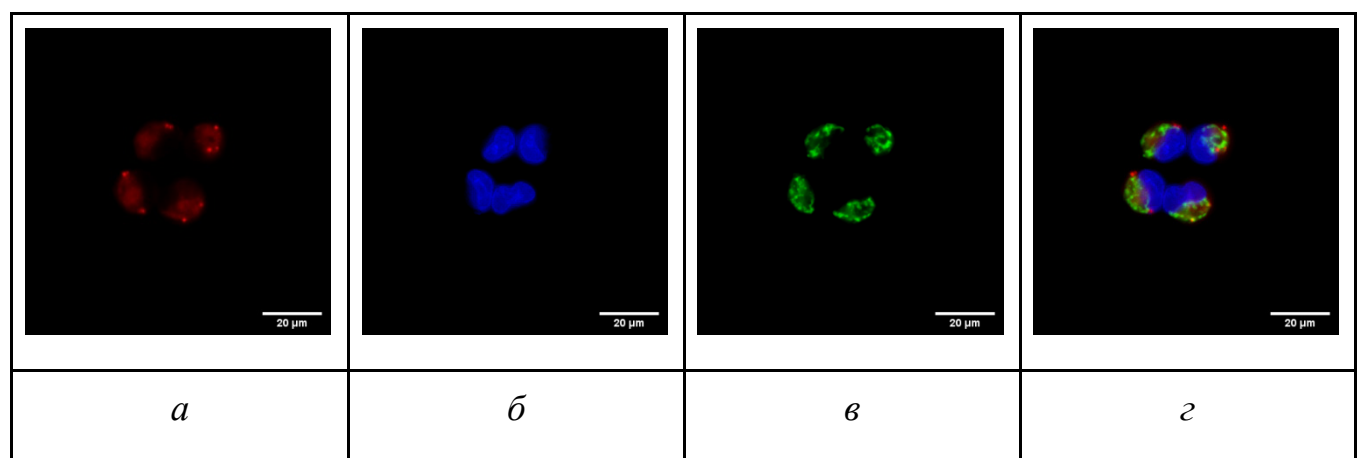


Рис. 4.6 Флуоресцентне зображення клітин A2780. Клітини забарвлені барвником **4.1** (*α*), Hoechst 33342 (*β*), MitoTracker Green (*γ*), та об'єднане зображення (*δ*). Концентрація барвників - $1 \mu\text{M}$

Як видно з рис. 4.6 барвник **4.1** локалізується у цитоплазмі і не проникає в ядро – спільної локалізації з барвником ядерної ДНК не спостерігається, також він не виявив спільної локалізації з барвником MitoTracker Green.

За допомогою конфокальної мікроскопії досліджена проникність скварайнів до клітин MCF-7 за концентрації барвників $5 \mu\text{M}$ (рис. 4.7).

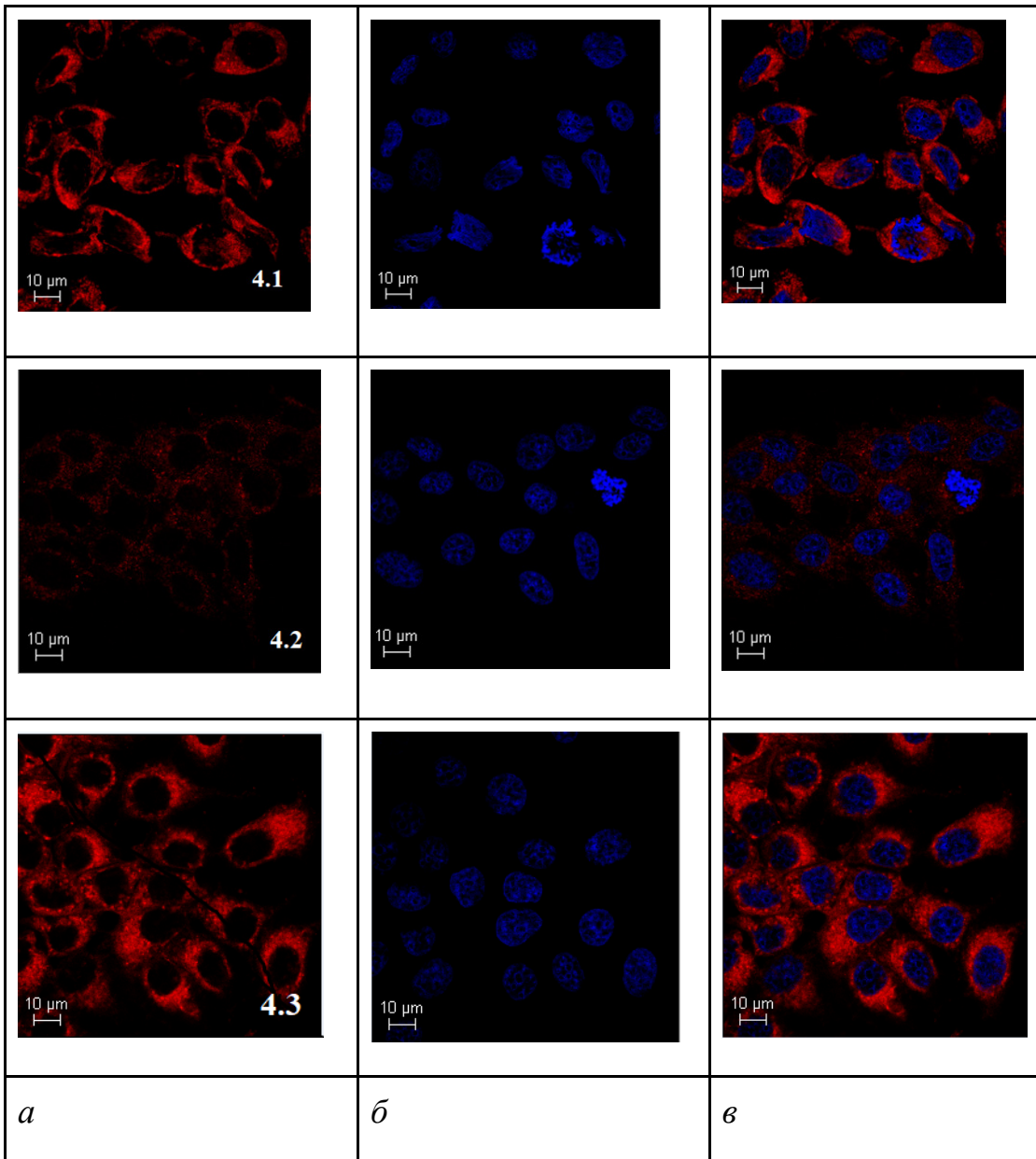


Рис. 4.7 Конфокальне зображення клітин MCF-7. Клітини забарвлені барвниками 4.1, 4.2 та 4.3 (*а*), клітини з барвником Hoechst 33342 (*б*) та об'єднане зображення (*в*). Концентрація барвників - 5 μM

Барвники **4.1** та **4.3** проникають до клітини, локалізуються в цитоплазмі та не проникають в ядро. Однак, сигнал барвника **4.2**, що спостерігався в клітинах, залишався слабким навіть за концентрації 5 μM . Можливо це пов'язано із об'ємними бічними групами, що стерично утруднюють проникнення молекули флуорофору через мембрани клітин, проте також, через його сольову форму і, відповідно, гарну розчинність у воді, можливе його вимивання під час промивки клітин протягом експерименту.

4.5 Спектрально-флуоресцентні властивості бензіндоленінових сквараїнів

У роботі досліджували низку бензоіндоленінових скварилієвих барвників з гідрофобними (4.4 – 4.6) та гідрофільним (4.7, 4.8) замісниками при гетероатомі (рис. 4.8).

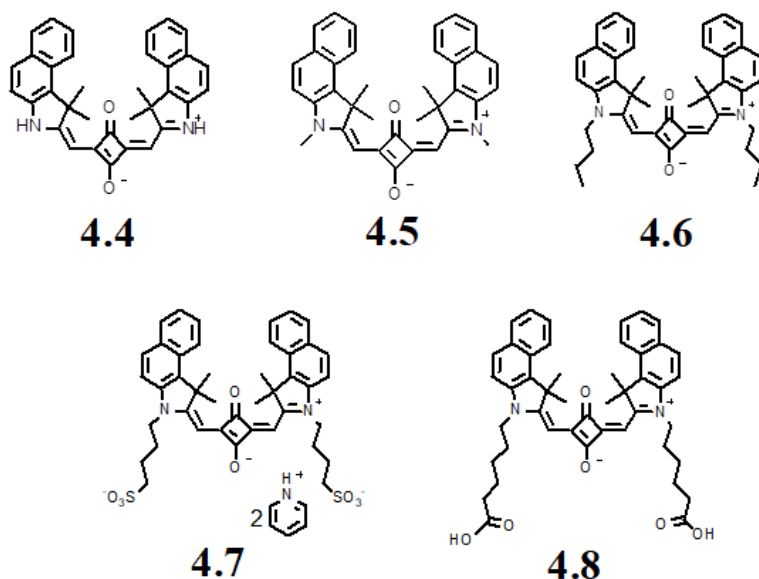


Рис. 4.8 Структури бензіндоленінових сквараїнів

Вибір бензоіндоленінової кінцевої групи обумовлений тим, що барвники на її основі мають низьку токсичність, зокрема широковживаний у медицині *indocyanine green* (ICG), задовільно розчинні у фізіологічному розчині і мають високі квантові виходи флуоресценції.

Введення ароматичного кільця в ядро флуорофору очікувано приводить до батохромного зміщення максимуму поглинання в порівнянні з індоленіновими сквараїнами: максимум поглинання бензіндольного барвника 4.8 із сульфогрупами на бічному заміснику, зміщений на 30 нм в довгохвильову частину спектру в порівнянні з його індоленіновим аналогом 4.4. Усі обрані барвники в метанолі поглинають в області 660 – 680 нм, молярні коефіцієнти

екстинкції барвників **4.4 – 4.6** знаходяться в діапазоні $(0,41 - 0,87) \times 10^5 \text{ M}^{-1}\text{cm}^{-1}$. Введення гідрофільних груп в бічні замісники приводить до зростання молярних коефіцієнтів екстинкції і становлять для флуорофорів **4.7** та **4.8** $1,87 \times 10^5 \text{ M}^{-1}\text{cm}^{-1}$ та $2,3 \times 10^5 \text{ M}^{-1}\text{cm}^{-1}$ відповідно.

На рис. 4.9 наведено спектри поглинання досліджуваних барвників у метанолі (*a*) та буфері (*b*).

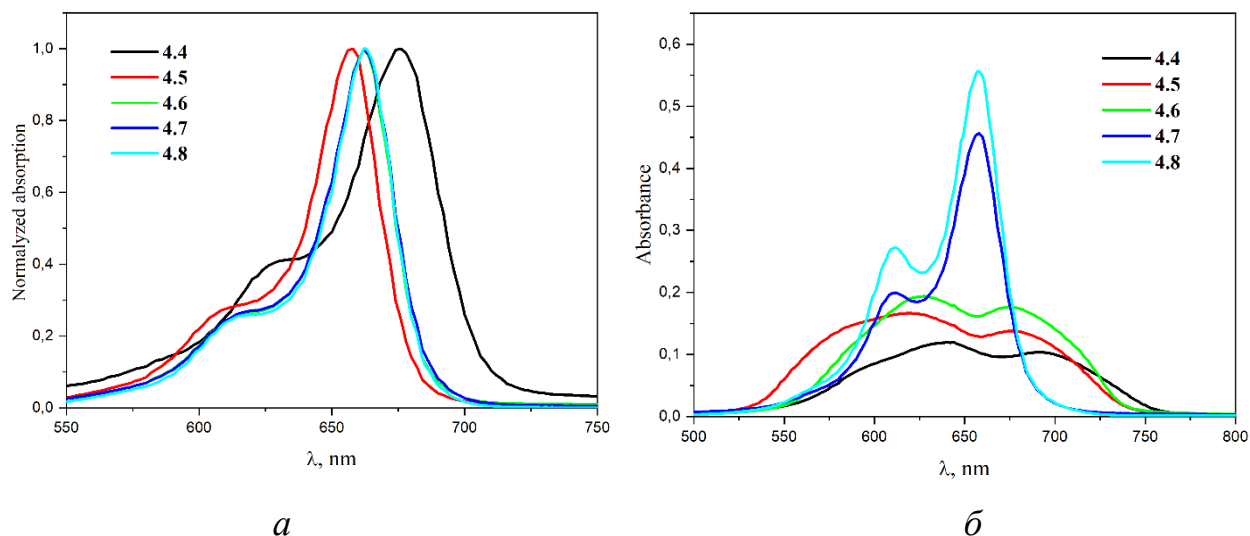


Рис. 4.9 Спектри поглинання досліджуваних флуорофорів у метанолі (нормовані спектри, *a*) та у водному буфері із pH 7,9 (*b*)

Спектри досліджуваних сполук у метанолі мають схожі форми кривих поглинання із інтенсивним максимумом і слабким короткохвильовим плечем, що характерно для мономерної форми. Спектр барвника **4.4** найбільш помітно відрізняється як за формою так і за розташуванням максимуму поглинання. Скоріш за все це пов'язано із можливістю утворення внутрішньомолекулярних водневих зв'язків між атомами гідрогену та оксигену.

У буферному розчині (рис. 4.9, *b*) криві спектрів поглинання барвників **4.4**, **4.5** та **4.6** зазнають змін, які є характерними для сполук із гідрофобними замісниками. А саме, замість однієї різкої смуги з'являються дві широкі смуги, що зміщені на 30-40 nm у короткохвильову та довгохвильову область в порівнянні із максимумом поглинання в метанолі. В той же час для флуорофорів,

що містять сульфонатні (4.7) чи карбоксильні (4.8) групи, форми спектрів поглинання в буфері подібні до таких в метанолі, за винятком появи більш вираженого короткохвильового мінорного максимуму при 612 нм для барвника 4.7 та 611 нм для барвника 4.8. Отже, агрегація даних барвників у буфері є менш інтенсивною, через наявність подвійних негативних зарядів карбоксильних та сульфонатних груп, які викликають кулонівське відштовхування молекул, що є руйнівним для агрегації флуорофорів.

Важливим для біологічного використання є дослідження розчинності у водному середовищі та виявлення внеску агрегації барвників у їх спектральні характеристики. Усі флуорофори з гідрофобними замісниками (4.4, 4.5 та 4.6) проявили схожу концентраційно-залежну поведінку у водному розчині. На рис. 4.10 показана залежна від концентрації агрегація на прикладі флуорофору 4.5.

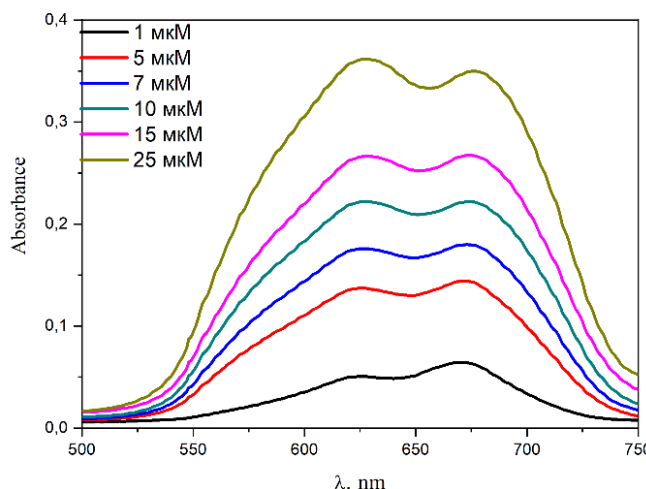


Рис. 4.10 Залежна від концентрації агрегація барвника 4.5 (1–25 μM) та відповідні зміни спектру поглинання

Збільшення концентрації від 1 μM до 25 μM при 20°C приводить до переходу між мономерним (λ_{max} при 670 нм) і агрегованим станом (λ_{max} при 624 нм). При нижчих концентраціях, починаючи з 1 μM , мономерна форма домінує у спектрі поглинання. При концентрації 7 μM оптична густина мономерного та агрегованого максимумів флуорофора знаходиться в рівновазі. Це може

вказувати на термодинамічну рівновагу між мономерним і агрегатним станами. Від 10 μM у спектрі домінує агрегована форма.

4.6 Спектрально-флуоресцентні властивості флуорофорів за присутності глобулярних білків

При порівнянні флуоресцентних властивостей у буферному середовищі представленого ряду барвників були виявлені низькі значення інтенсивності флуоресцентного випромінювання сполук **4.4**, **4.5** і **4.6**, що зумовлено утворенням нефлуоресцентних агрегатів у водному розчині (таблиця 4.4). Тоді як інтенсивність флуоресценції барвників **4.7** та **4.8**, які перебувають переважно у формі мономеру, значно вища. Максимуми збудження флуоресценції досліджуваних флуорофорів знаходяться в діапазоні 662-673 нм, а максимуми випромінювання знаходяться в області 675 - 690 нм, з невеликими Стоксовим зсувом (12-17 нм).

Оскільки представлені флуорофори поглинають в близькому інфрачервоному спектральному діапазоні, вони можуть застосовуватися як потенційні фотосенсибілізатори для фотодинамічної терапії, а також як оптичні агенти для біовізуалізації. Одним із механізмів доставки фотосенсибілізаторів в ракову клітину є їх нековалентна взаємодія із альбумінами крові. Такий комплекс білок-барвник може накопичуватися в пухлині в наслідок ефекту полегшеного проникнення за рахунок пасивної дифузії (ЕПР) через характерні для пухлин капілярні пори збільшеного розміру та підвищеного метаболізму ракових клітин. Тому важливим є аналіз взаємодії флуорофорів із білками різної будови.

Усі досліджувані сполуки показали підвищення інтенсивності флуоресценції в присутності сироваткових альбумінів (таблиця 4.4). Найбільше зростання спостерігалося для барвника із метильними замісниками при гетероатомі - **4.5** (588, 169 і 460 разів для BSA, HSA і ESA, відповідно).

Таблиця 4.4

Спектральні властивості флуорофорів у буфері та за присутності сироваткових альбумінів. (λ_{ex} – максимум збудження флуоресценції, λ_{em} – максимум випромінення флуоресценції, I – інтенсивність флуоресценції)

Барвники	буфер			BSA				HSA				ESA			
	λ_{ex} , nm	λ_{em} , nm	I_0 , a.u.	λ_{ex} , nm	λ_{em} , nm	IBSA, a.u.	I_{BSA}/I_0	λ_{ex} , nm	λ_{em} , nm	I _{HSA} , a.u.	I_{HSA}/I_0	λ_{ex} , nm	λ_{em} , nm	I _{ESA} , a.u.	I_{ESA}/I_0
4.4	665	678	4,6	684	698	64	13,9	671	675	105	22,8	681	686	338	73,5
4.5	673	690	2,7	666	671	1600	588	668	674	461	169	667	673	1250	460
4.6	668	682	18,8	670	680	162	8,6	672	680	125	6,6	672	678	367	19,5
4.7	662	675	675	682	692	5250	10,5	678	688	4700	9,4	682	688	3850	7,7
4.8	661	672	672	682	690	5600	8,2	680	687	5000	7,3	683	687	5200	7,6

Сполуки **4.4** та **4.6** продемонстрували специфічність до ESA (73,5 і 19,5 разів, відповідно). Цікаво відзначити, що незважаючи на близьку структуру, BSA, HSA та ESA, флуорофори **4.4**, **4.5** та **4.6** по-різному реагують на присутність цих сироваткових альбумінів. Барвники **4.7** та **4.8** продемонстрували практично однакове зростання інтенсивності флуоресценції у присутності BSA, HSA та ESA, проте це зростання виявилося нижчим, ніж для перших трьох сполук. Це можна пояснити значно вищою власною флуоресценцією даних флуорофорів.

Усі представлені бензіндоленінові сквараїни проявили помітно нижчу інтенсивність флуоресценції в присутності OVA, який структурно відрізняється від сироваткових альбумінів (таблиця 4.5). Винятком є барвник **4.5**, для якого було виявлено 102-кратне збільшення випромінювання флуоресценції в комплексах з OVA. Для інших флуорофорів зростання інтенсивності флуоресценції в присутності OVA не перевищувало 29,6 разів. Флуоресцентна відповідь досліджуваних флуорофорів на лізоцим також сильно відрізнялася: підвищення інтенсивності флуоресценції спостерігалося в 67 разів у випадку барвника **4.5**, але в 2,4 рази для інших трьох барвників.

Таблиця 4.5

Спектральні властивості флуорофорів у буфері та за присутності глобулярних білків (λ_{ex} – максимум збудження флуоресценції, λ_{em} – максимум випромінення флуоресценції, I – інтенсивність флуоресценції)

	LYS				BLG				OVA			
	λ_{ex} , nm	λ_{em} , nm	I_{LYS} , a.u.	I_{LYS}/I_0	λ_{ex} , nm	λ_{em} , nm	I_{BLG} , a.u.	I_{BLG}/I_0	λ_{ex} , nm	λ_{em} , nm	I_{OVA} , a.u.	I_{OVA}/I_0
4.4	693	705	11,2	2,4	683	698	15,7	3,4	675	678	123	26,7
4.5	660	671	181	67	669	677	15	5,5	673	676	277	102
4.6	673	678	20,5	1,1	675	689	18,6	0,99	674	680	557	29,6
4.7	662	674	675	1,3	662	674	812	1,6	677	681	1700	3,4
4.8	661	673	760	1,1	676	681	1500	2,2	676	682	2000	2,9
4.4	693	705	11,2	2,4	683	698	15,7	3,4	675	678	123	26,7

Для всіх представлених флуорофорів присутність BLG призводила лише до незначного підвищення інтенсивності флуоресценції (до 5,5 разів). Нарешті, для усіх досліджуваних сполук не виявлений спектральний відгук на присутність ДНК чи РНК, що свідчить про можливість їх застосування як ФС для ФДТ, оскільки взаємодія ФС із ДНК може призводити до появи онкогенних мутацій.

Для найбільш чутливого та специфічного до сироваткових альбумінів флуорофору **4.5** досліджена взаємодія з альбуміном та її вплив на агрегати барвника, що утворюються у водному середовищі. Для цього виміряні спектри поглинання (рис. 4.11, *a*) та флуоресценції (рис. 4.11, *б*) за присутності BSA в концентраціях від 0 до 30 μM .

Зі збільшенням концентрації BSA спостерігається перерозподіл між максимумами поглинання агрегатної форми флуорофору (618 нм) і його мономерів (676 нм). Таким чином, спостерігаємо збільшення піку мономерної форми флуорофору зі збільшенням концентрації білка, а пік агрегованої форми (618 нм) набуває форми плеча основного піку (676 нм).

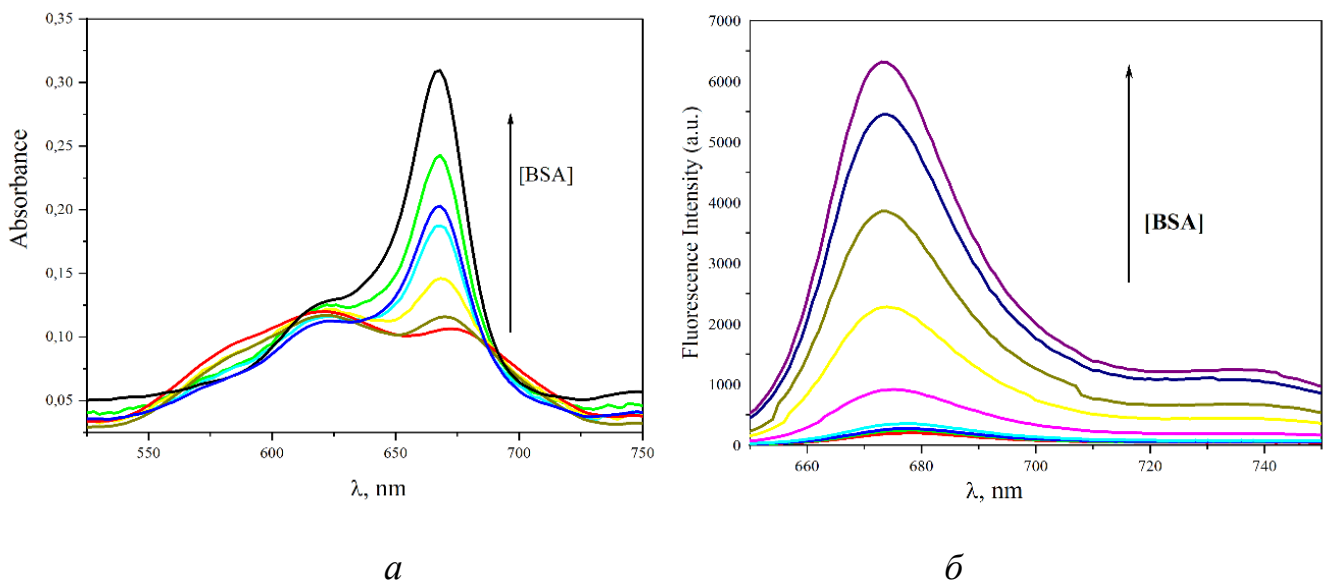


Рис. 4.11. Зміни спектрів поглинання (*а*) та спектрів флуоресценції (*б*) ($\lambda_{\text{ex}} = 630$ нм) барвника **4.5** (5 μM) із додаванням BSA (від 0 до 30 μM)

Паралельно спостерігається зростання інтенсивності флуоресценції флуорофору **4.5** зі збільшенням концентрації BSA в максимумі при 668 нм, що відповідає мономерній формі барвника. В результаті нековалентної взаємодії із BSA відбувається руйнування нефлуоресцентних агрегатів барвника, а подальше зростання інтенсивності флуоресценції мономерного флуорофору найімовірніше пов'язано із обмеженим обертанням молекули барвника, що фіксується на білковій глобулі. Це корелює із агрегаційною поведінкою, залежною від концентрації вільного флуорофору **4.5** (рис. 4.10).

4.7 Оцінка констант зв'язування барвників з BSA

Константи зв'язування з BSA оцінені для флуорофорів **4.5** та **4.7**, оскільки вони проявили найвищу спорідненість до даного альбуміну. Обрані флуорофори мають одинаковий хромофор, проте відрізняються N,N'-замісниками, що призводить до різниці в розмірі та заряді (**4.5** є нейтральним, тоді як **4.7** має подвійний негативний заряд). Барвники виявили різний спектральний відгук на присутність BSA (для сполуки **4.5** I_{BSA}/I_0 становить 588, тоді як для сполуки **4.7**

– 10,5). Проте це не обов'язково означає слабше зв'язування **4.7** з альбуміном, а зумовлене скоріше вищим значенням вільної флуоресценції I_0 , оскільки флуоресцентний зонд **4.7** є переважно мономерним у водному розчині, тоді як **4.5** сильно агрегує (як обговорювалося вище).

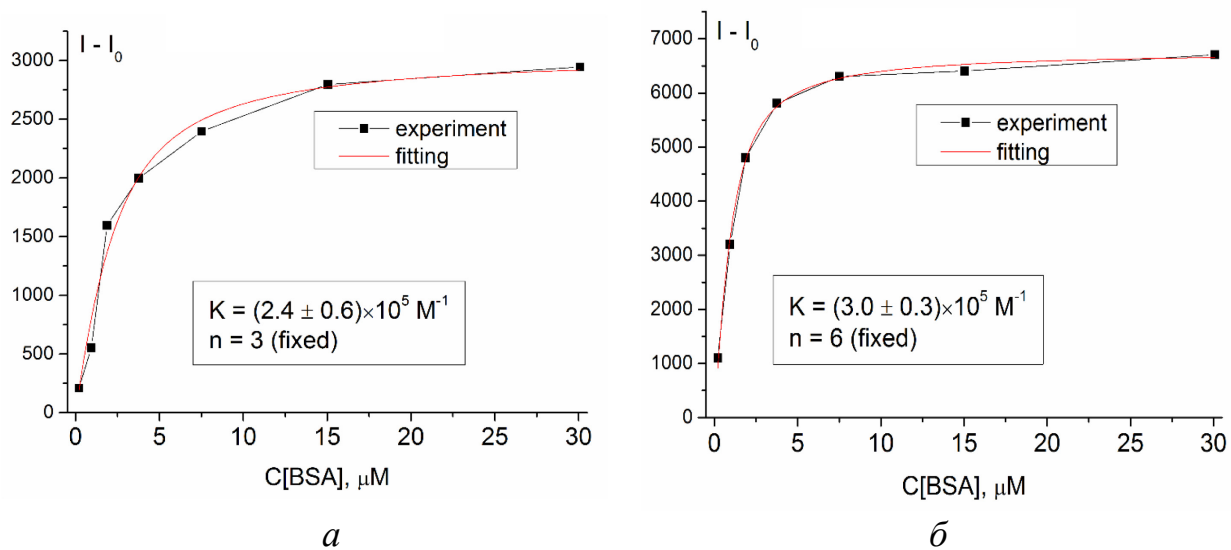


Рис. 4.12 Залежність $I - I_0$ від концентрації BSA та її апроксимація рівнянням (5) для флуорофорів **4.5** (a) та **4.7** (b). I та I_0 – інтенсивності флуоресценції флуорофору у присутності BSA та вільного флуорофору відповідно. Апроксимація була виконана для фіксованих значень $n = 3$ для **4.5** та $n = 6$ для **4.7**

Для оцінювання констант зв'язування барвників **4.5** і **4.7** з BSA обробку даних проводили з використанням фіксованих цілих значень кількості молекул флуорофору на глобулу BSA – n . Найкращу відповідність отримано для $n = 3$ у випадку **4.5** та $n = 6$ для **4.7**. Для цих значень n , константа зв'язування була оцінена як $(2,4 \pm 0,6) \times 10^5 \text{ M}^{-1}$ для **4.5** та $(3,0 \pm 0,3) \times 10^5 \text{ M}^{-1}$ для **4.7** (рис. 4.12). Виходячи з відносних значень K_b , можна припустити, що механізм зв'язування флуорофору із BSA полягає у взаємодії хромофору барвника із білковою глобулою без помітної участі N,N'-замісників **4.7** у зв'язуванні. При цьому не слід забувати, що для кожного флуорофору передбачалося зв'язування з різними місцями глобули з однаковою константою зв'язування. Між тим, цілком

можливо, що у випадку кожного окремого флуорофору зв'язування барвник - білок характеризується різними значеннями K_b відносно кожного окремого сайту зв'язування.

4.8 Молекулярний докінг флуоресцентного зонду 4.5 по всій поверхні молекули бичачого сироваткового альбуміну

У результаті проведення молекулярного докінгу флуоресцентних зондів **4.5** та **4.7** по всій поверхні молекули бичачого сироваткового альбуміну ідентифіковано 5 найбільш імовірних кишень зв'язування, які зображені на рис. 4.13. Слід відмітити, що ці кишені виявилися спільними для обох сполук.

Згідно з результатами молекулярного докінгу найкраще значення скорингової функції було встановлено для гемін-зв'язувального сайту (кишенні 1), що становить $-11,2$ ккал/моль для барвника **4.5** та $-10,7$ ккал/моль для барвника **4.7**. Значення скорингової функції для кишень 2, 3, 4 і 5 барвника **4.5** становлять відповідно $-10,4$ ккал/моль, $-10,2$ ккал/моль, $-9,0$ ккал/моль та $-8,4$ ккал/моль та для кишень 2, 3, 4 і 5 барвника **4.7** становлять відповідно $-9,3$ ккал/моль, $-8,2$ ккал/моль, $-7,8$ ккал/моль та $-7,3$ ккал/моль.

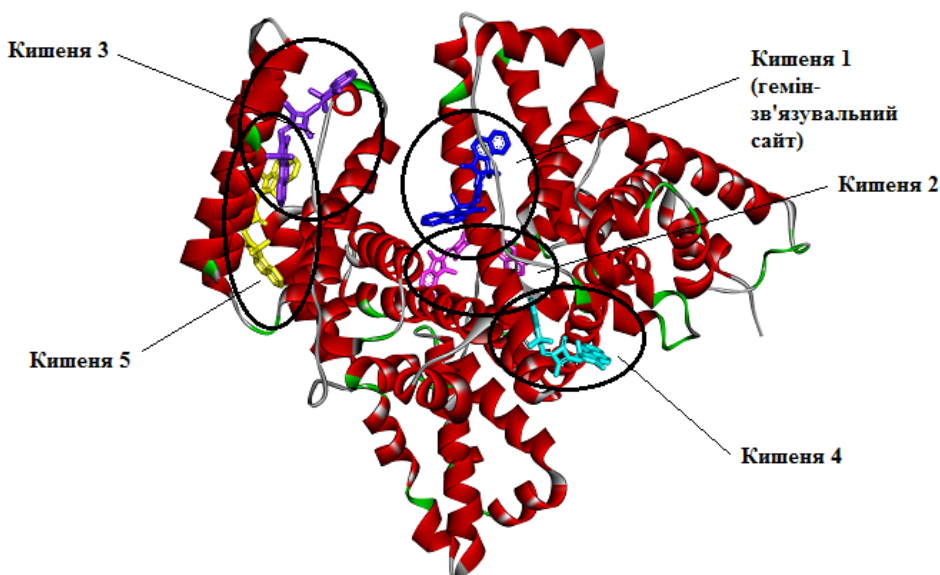


Рис. 4.13 Потенційні кишені зв'язування флуоресцентного барвника **4.5** на поверхні молекули бичачого сироваткового альбуміну

Детально досліджено комплекси флуоресцентного барвника **4.5** із амінокислотними залишками передбачених кишень зв'язування. Гідрофобні взаємодії представлені фіолетовими пунктирними лініями, водневі зв'язки – зеленими пунктирними лініями, електростатичні – червоними пунктирними лініями, π -катіон та π -аніон взаємодії – оранжевими пунктирними лініями.

При дослідженні комплексу флуоресцентного барвника **4.5** із амінокислотними залишками гемін-зв'язувального сайту (кишеня 1) виявилося, що сполука утворює гідрофобні контакти із Lys114, Leu115, Ile141, Arg185, Val188, Leu189, π -аніон взаємодії з Glu424, електростатичні взаємодії з Lys114, Arg185 та формує водневий зв'язок із His145 (рис. 4.14).

На рис. 4.15 представлена взаємодія флуоресцентного зонду **4.5** із амінокислотами в кишенях альбуміну 2 (*a*) та 3 (*b*). Як можна бачити з рис. 4.15, *a* молекула **4.5** в кишені 2 задіяна у формуванні гідрофобних взаємодій із Ala290, електростатичних взаємодій із Glu291, Asp450, а також утворює π -катіон взаємодію з Arg198, π -сульфур взаємодію з Cys447 та водневі зв'язки з Tyr156 і Arg194.

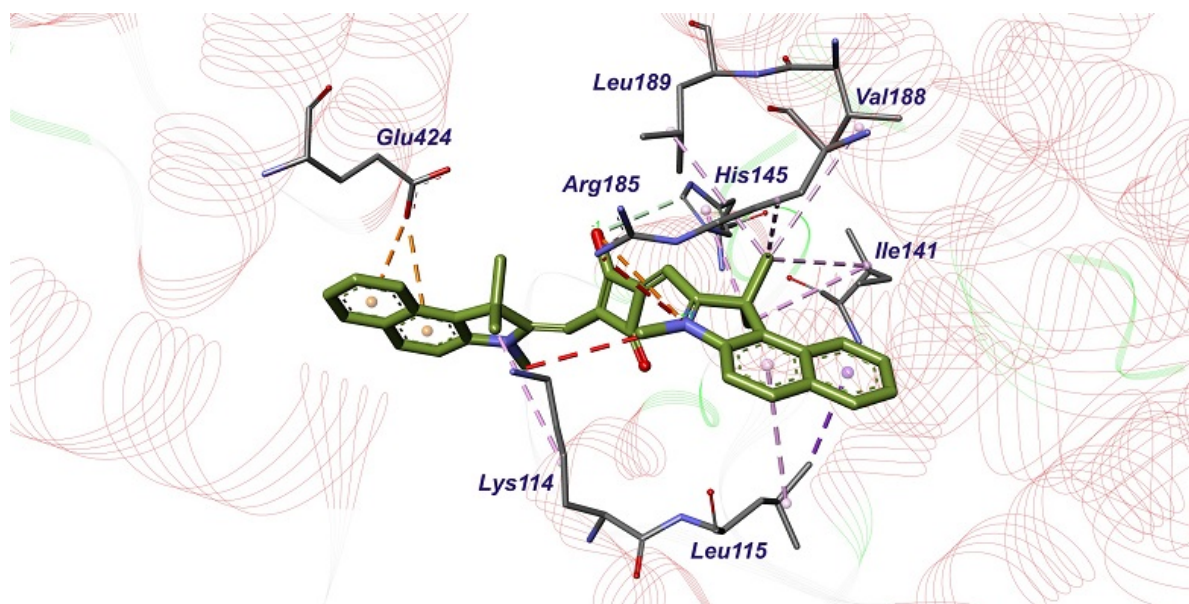


Рис. 4.14 Комpleksi флуоресцентного барвника **4.5** із амінокислотними залишками в кишені 1

Як видно з рис. 4.15, *б* флуоресцентний зонд 4.5 фіксується в кишені 3 за участі гідрофобних взаємодій із амінокислотними залишками Val408, Ala405, Leu397, Tyr400, Lys524, Val551, Met547, Lys544, а також π -аніон взаємодій із Glu540.

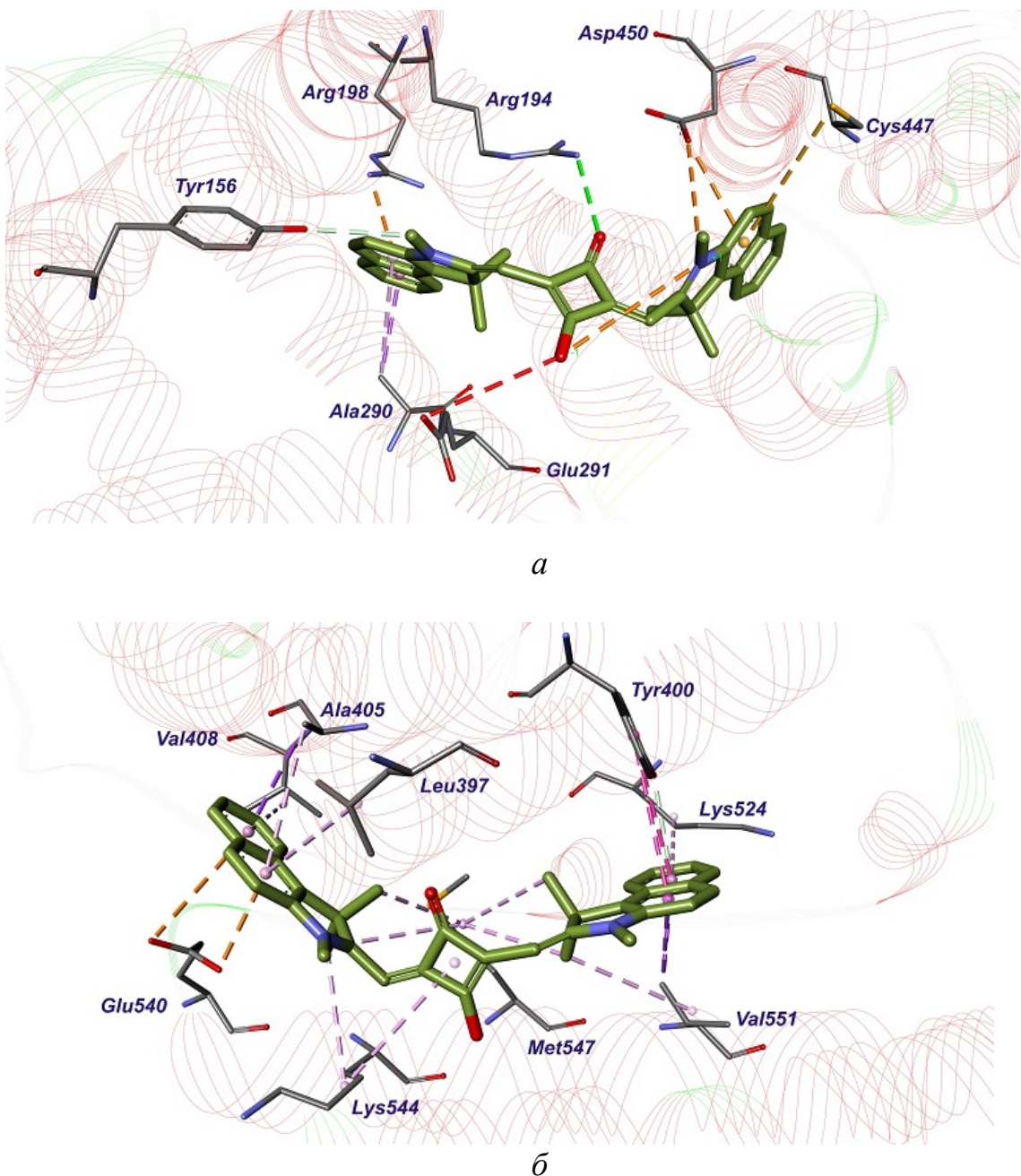


Рис. 4.15 Комpleksi флуоресцентного барвника 4.5 із амінокислотними залишками в кишені 2 (*а*) та кишені 3 (*б*)

У кишені 4 досліджувана сполука утворює гідрофобні контакти з His246, Lys465 та електростатичні взаємодії з Lys204 і Glu464 (Рис. 4.16, *а*).

При аналізі комплексу флуоресцентного зонду з амінокислотними залишками кишени 5 (рис. 4.16, б) виявилося, що сполука утворює гідрофобні контакти з Ala510, His509, Phe567, Ala568, Gly571, Pro572, Val575 та водневі зв'язки з Ala568, Phe567 та Thr507.

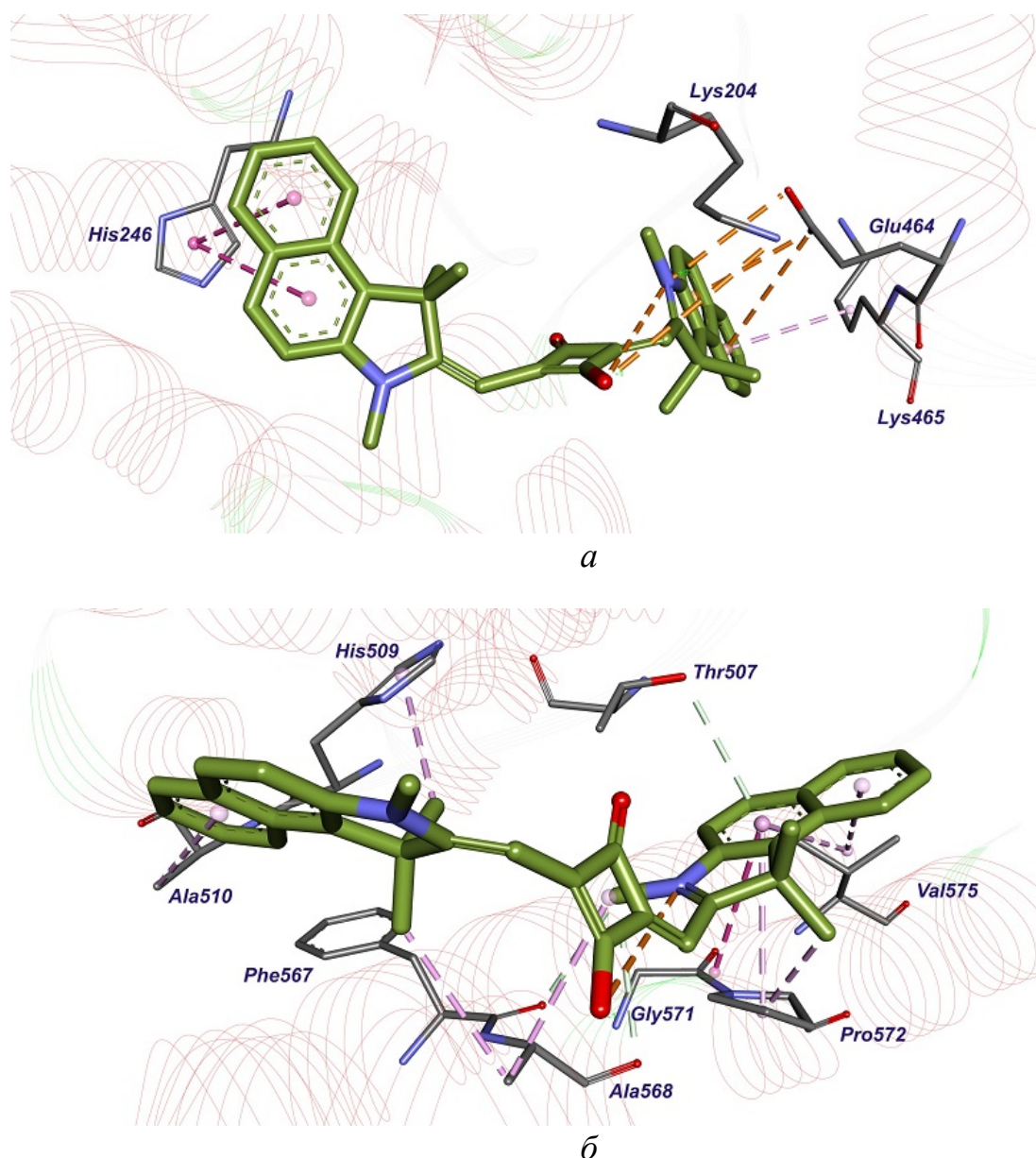


Рис. 4.16 Комpleкси флуоресцентного барвника 4.5 із амінокислотними залишками в кишенні 4 (а) та кишенні 5 (б)

При вивченні комплексів барвника 4.7 встановлено, сполука фіксується в гемін-зв'язувальному сайті (кишена 1) завдяки гідрофобним контактам із амінокислотними залишками Ala193, Ile455, Leu189, Lys114, π-аніон взаємодії з

Glu424, π -катіон взаємодії з Lys114, а також утворює водневі зв'язки з Ser192, Arg458, Srr428 та π -сульфур зв'язок із His145 (рис. 4.17, *a*).

У кишені 2 барвник 4.5 фіксується за участі гідрофобних взаємодій із Pro446, Ala290, π -аніон взаємодії з Glu443, π -катіон взаємодії з Arg217, а також утворює водневі зв'язки з Lys439, Arg435, Thr190 та π -сульфур зв'язок із Tyr451 (рис. 4.17, *б*).

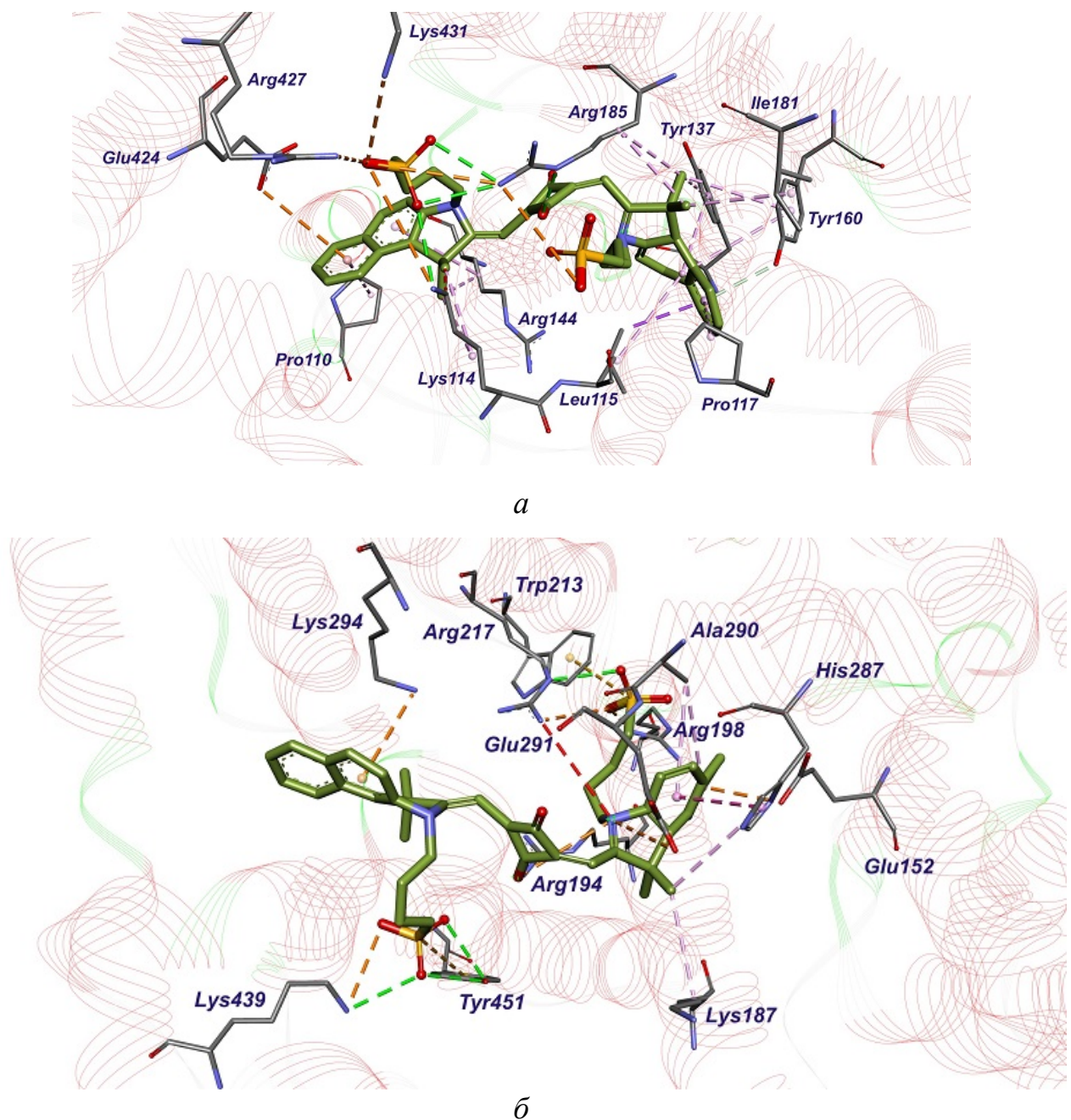


Рис. 4.17 Комплекси флуоресцентного барвника 4.7 із амінокислотними залишками в кишені 1 (*а*) та 2 (*б*)

Аналіз комплексів флуоресцентного зонду **4.7** із амінокислотними залишками в кишенах 3 та 4 представлений на рис. 4.18 *a* та *б*, відповідно. При аналізі комплексу флуоресцентного зонду **4.7** з амінокислотними залишками кишени 3, виявилося, що сполука утворює гідрофобні контакти з Lys544, Glu548, Met547, Val551, Lys524, Tyr400, електростатичні взаємодії з Lys524, π -катіон взаємодії з Lys396 і Lys544 (рис. 4.18, *a*).

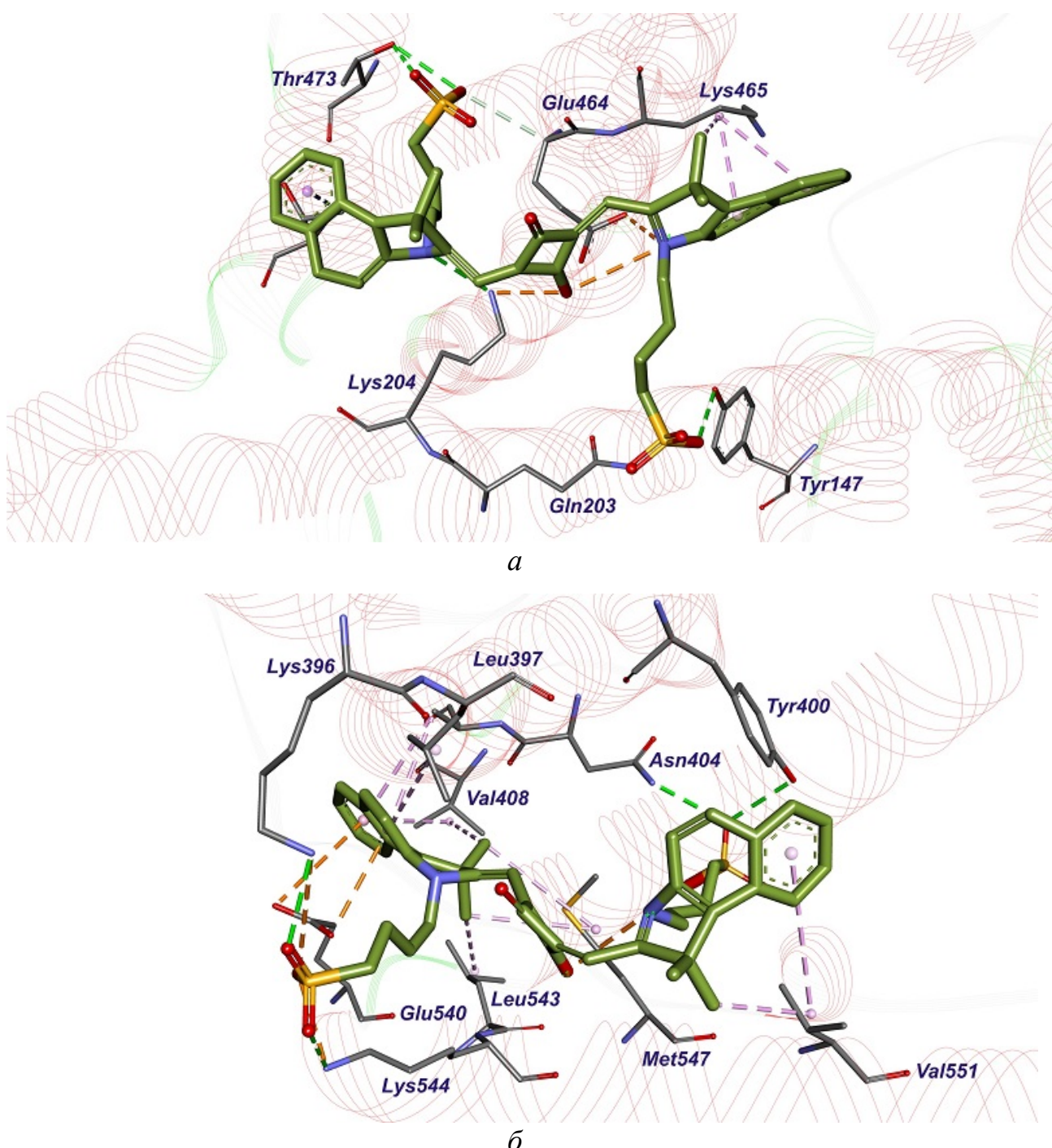


Рис. 4.18 Комpleksi флуоресцентного барвника **4.7** із амінокислотними залишками в кишени 3 (*a*) та 4 (*б*)

Тоді як в кишені 4 сполука **4.7** задіяна у формуванні гідрофобних контактів з Lys465, водневих зв'язків з Arg196, Tyr147, Lys204, Gln203, Ser104 та електростатичних взаємодій із Arg196 і Lys204.

При аналізі комплексу флуоресцентного барвника **4.7** із амінокислотними залишками в кишені 5, виявилося, що сполука фіксується за участі гідрофобних взаємодій із Val575, His509, електростатичної взаємодії з Lys504, а також утворює водневі зв'язки із Thr507, Ala568 та π -сульфур зв'язок з His509 (рис. 4.19).

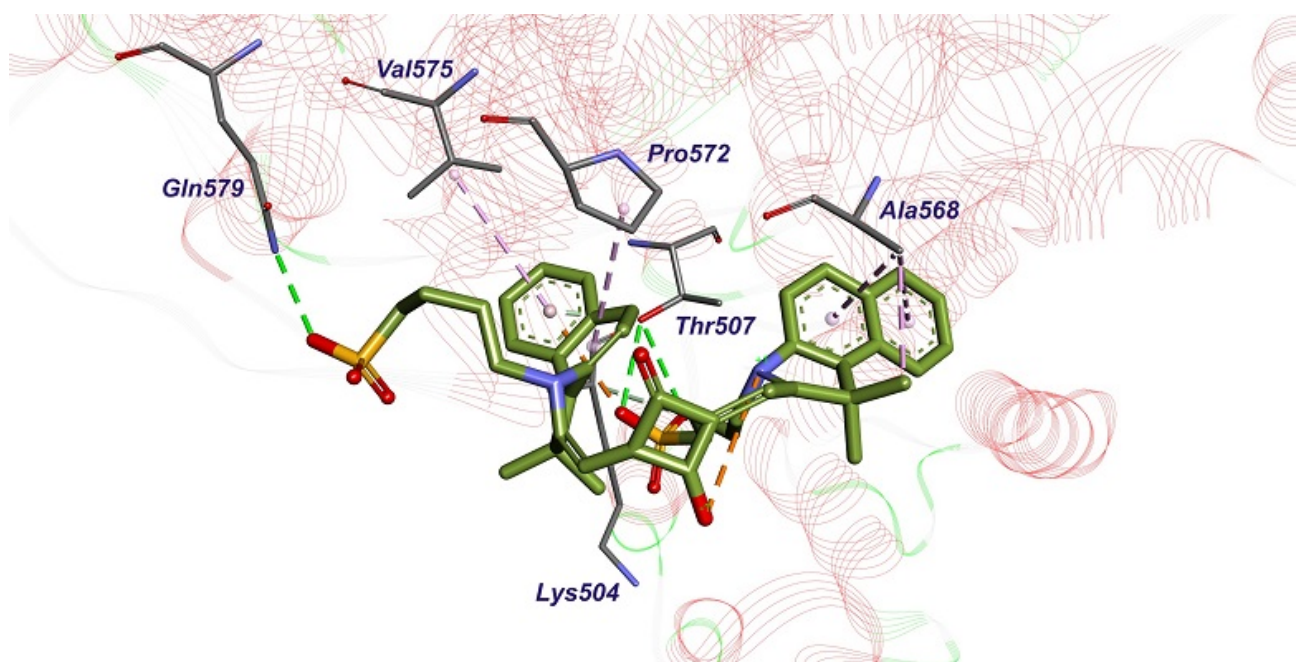


Рис. 4.19 Комpleksi флуоресцентного барвника **4.7** із амінокислотними залишками в кишені 5

Для усіх вище наведених рисунків взаємодії барвника **4.7** із потенційними кишенями зв'язування BSA гідрофобні взаємодії представлені фіолетовими пунктирними лініями, водневі зв'язки – зеленими пунктирними лініями, електростатичні, π -катіон та π -аніон взаємодії – оранжевими пунктирними лініями, π -сульфур зв'язки – жовтими пунктирними лініями

Отже, за результатами молекулярного докінгу по поверхні альбуміну ідентифіковано 5 найбільш імовірних кишень зв'язування, що є спільними для обох флуоресцентних зондів та вказують на переважно гідрофобну взаємодію барвників із сайтами зв'язування BSA. Це підтверджується приблизно однаковими значеннями константи зв'язування K_b . Можна припустити, що механізм зв'язування флуорофорфів із BSA полягає у взаємодії хромофору барвника із білковою глобулою без помітної участі N,N'-замісників **4.7** у зв'язуванні.

4.9 Дослідження проникності в клітини та розподілу методом флуоресцентної мікроскопії

Оскільки барвник **4.7** проявив найменшу склонність до агрегації у водному буфері, вивчена його здатність проникати через клітинну мембрани та придатність для візуалізації живих клітин. Для проведення експерименту використовували клітинну лінію A2780, а також стандартні барвники - Hoechst, що зв'язується з ядерною ДНК, і зелений флуоресцентний мітохондріальний барвник MitoTracker Green для вивчення колокалізації (рис. 4.20).

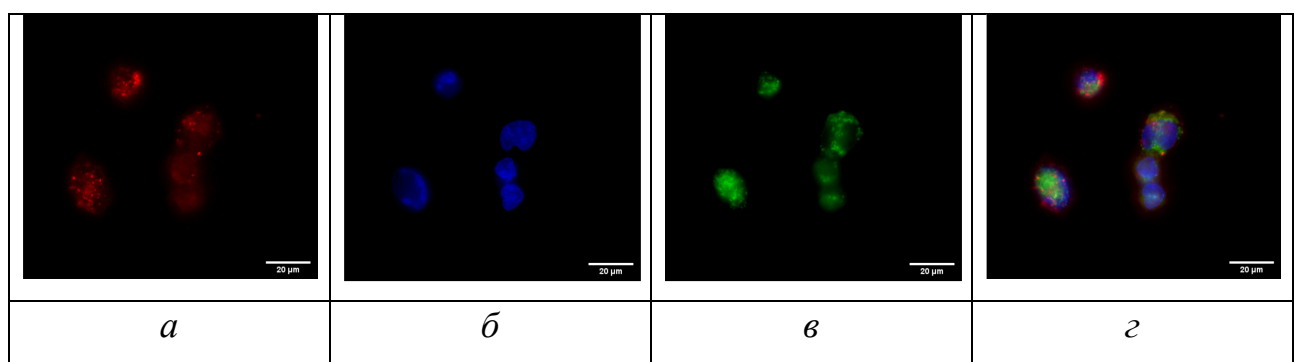


Рис. 4.20 Візуалізація живих клітин A2780 флуорофором **4.7** (*α*) у концентрації 1 μM , барвниками Hoechst (*β*) і MitoTracker Green (*γ*), та об'єднані зображення (*δ*). Шкала – 20 мкм

Показано, що барвник проникає через клітинну мембрану, як і у випадку попередніх барвників - не накопичується в ядрі, а також не виявляє колокалізації із MitoTracker Green (коєфіцієнт кореляції Пірсона для 4.7/MitoTracker Green склав $0,63 \pm 0,01$). Хоча специфічність флуорофору 4.7 не виявлена, патерн візуалізації у цитоплазмі дозволяє припустити, що барвник зв'язується з лізосомами.

4.10 Дослідження фотодинамічної активності бензіндоленінових барвників

Фотодинамічна терапія є ефективним методом лікування онкологічних захворювань завдяки дії ФС в тканинах пухлини. За рахунок опромінення світлом з довжиною хвилі, що близька до максимума поглинання ФС, відбуваються ряд фотохімічних процесів з утворенням активних частинок (синглетний кисень, радикали фотосенсибілізатора, супероксид аніон), які, в свою чергу, призводять до загибелі ракових клітин за механізмами апоптозу чи некрозу [180]. Для дослідження здатності до генерації синглетного кисню та інших АФК барвниками, був обраний 1,3-дифенілізобензофуран (DPBF) [175]. При взаємодії з $^1\text{O}_2$ у DPBF утворюється ендопероксидний фрагмент у циклі, який перериває спряження і здатен, навіть, розірвати зв'язок (рис. 4.21).

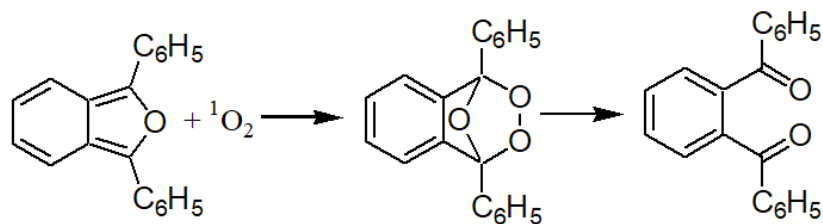


Рис. 4.21 Схема взаємодії DPBF із синглетним киснем

Це призводить до знебарвлення DPBF, яке супроводжується падінням оптичної густини у його максимумі (415 нм).

Оскільки DPBF є малорозчинним у воді, виміри проводилися у водно-етанольному середовищі (50/50 %) при опроміненні довжиною хвилі $\lambda = 660$ нм

у смугу поглинання бензіндоленінових барвників та за межами поглинання DPBF. Для дослідження були обрані барвники з гідрофільними групами **4.7** та **4.8**, а також барвник **4.5** (рис. 4.22).

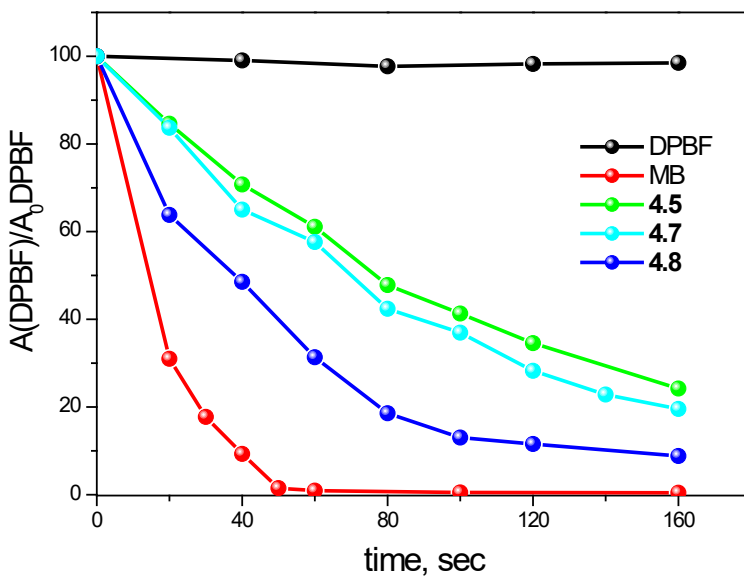


Рис. 4.22 Швидкість розкладання DPBF у присутності барвників **4.5**, **4.7**, **4.8** та МС в залежності від часу опромінення. $A(DPBF)$ – максимум поглинання DPBF після опромінення в момент часу t , $A_0(DPBF)$ – максимум поглинання DPBF до промінення

Слід зазначити, що оскільки максимуми поглинання індоленінових барвників **4.1** – **4.3** лежать за межами дії лазера, оцінити їх фотодинамічну активність у нашому випадку було не можливо.

Присутність барвників впливала на максимум поглинання DPBF після опромінення, сприяючи його зниженню. Як стандарт був обраний метиленовий синій (МС), оскільки відома його здатність до генерації синглетного кисню з високими квантовими виходами [176]. Як видно з рис. 4.22, найшвидша фотодеградація DPBF спостерігається для барвника **4.8**, що містить карбоксильні групи. Тоді як барвники **4.5** та **4.7** демонструють приблизно однакову здатність до генерації активних форм кисню.

Оскільки барвник **4.5** є гідрофобним та схильним до агрегації у водних розчинах, можна очікувати, що збільшення вмісту води в дослідженнях із пасткою синглетного кисню призведе до погіршення його фотодинамічних властивостей. Для цього проведено вимірювання швидкості фотознебарвлення DPBF при опроміненні барвників у середовищі з різним співвідношенням розчинників (рис. 4.23, *a*, *б*).

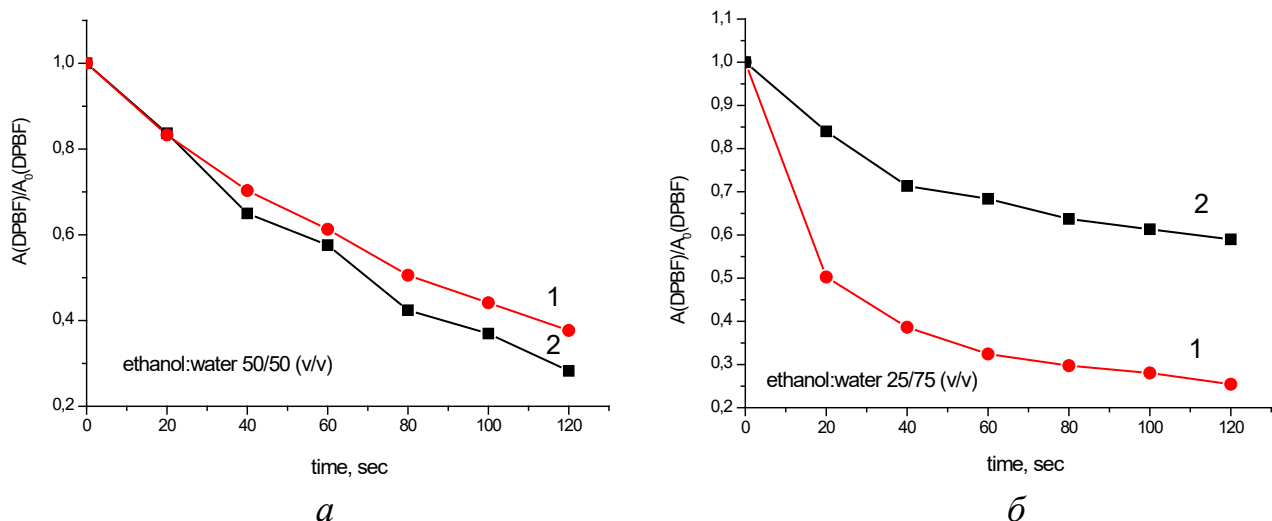


Рис. 4.22 Швидкість розкладання DPBF у присутності барвників **4.5** (крива 1) і **4.7** (крива 2) у водно-етанольному розчині: 50% води (*а*) та 75% води (*б*) в залежності від часу опромінення. $A(DPBF)$ – максимум поглинання DPBF після опромінення в момент часу t , $A_0(DPBF)$ – максимум поглинання DPBF до опромінення

Несподіваним виявилося, що зростання вмісту води до 75% привело до значно більшого знебарвлення DPBF в присутності барвника **4.5** порівняно зі сквараїном **4.7**. У першого воно відбулося на 50% вже після 20 секунд опромінення (рис. 4.23, *б*).

Для дослідження спектральних проявів агрегації спектри поглинання і флуоресценції сквараїнів **4.5** і **4.7** були проаналізовані в сумішах з водою етанолу і ДМСО у різному співвідношенні при постійній концентрації барвника. Виявилося, що при збільшенні вмісту води як у етанолі, так і в суміші з ДМСО відбувається сильна деформація спектрів поглинання сквараїну **4.5** (рис. 4.24, *а*).

Різко падає інтенсивність довгохвильового максимуму і з'являється нова короткохвильова смуга. Зі збільшенням вмісту води вона поступово гіпсохромно зміщується, а її інтенсивність зростає. При цьому відбувається закономірне гасіння флуоресценції (рис. 4.24, *б*).

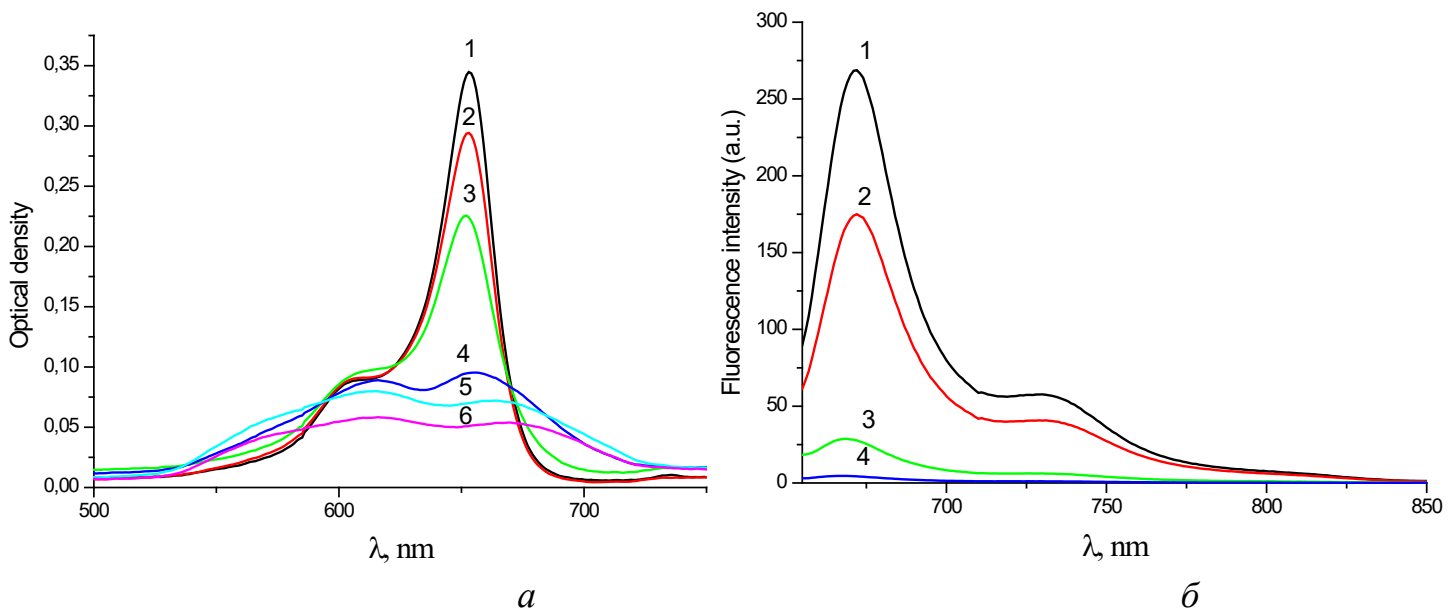


Рис. 4.24 Спектри поглинання (*а*) та флуоресценції (*б*) барвника 4.5 у етанольному розчині з різним вмістом води (%): 0 (1), 10 (2), 30 (3), 50 (4), 70 (5) та 100 (6); концентрація барвника 5 μM

Нові смуги флуоресценції не виникають. Аналогічні спектрально-флуоресцентні ефекти відбуваються за збільшення концентрації барвника при постійному співвідношенні суміші вищезазначених розчинників.

Це свідчить про те, що у сумішах з водою етанолу і ДМСО зі збільшенням вмісту води відбувається агрегація сквараїну 4.5. У барвника 4.7, у якого гідрофобний бічний замісник замінений на гідрофільну сульфобутильну групу, в аналогічних умовах зміни в спектрах поглинання відбуваються значно слабше. Спектри зберігають універсальний контур смуг поглинання при значно більшому вмісті води у сумішах розчинників, ніж у барвника 4.5 (рис. 4.25, *а*, *б*).

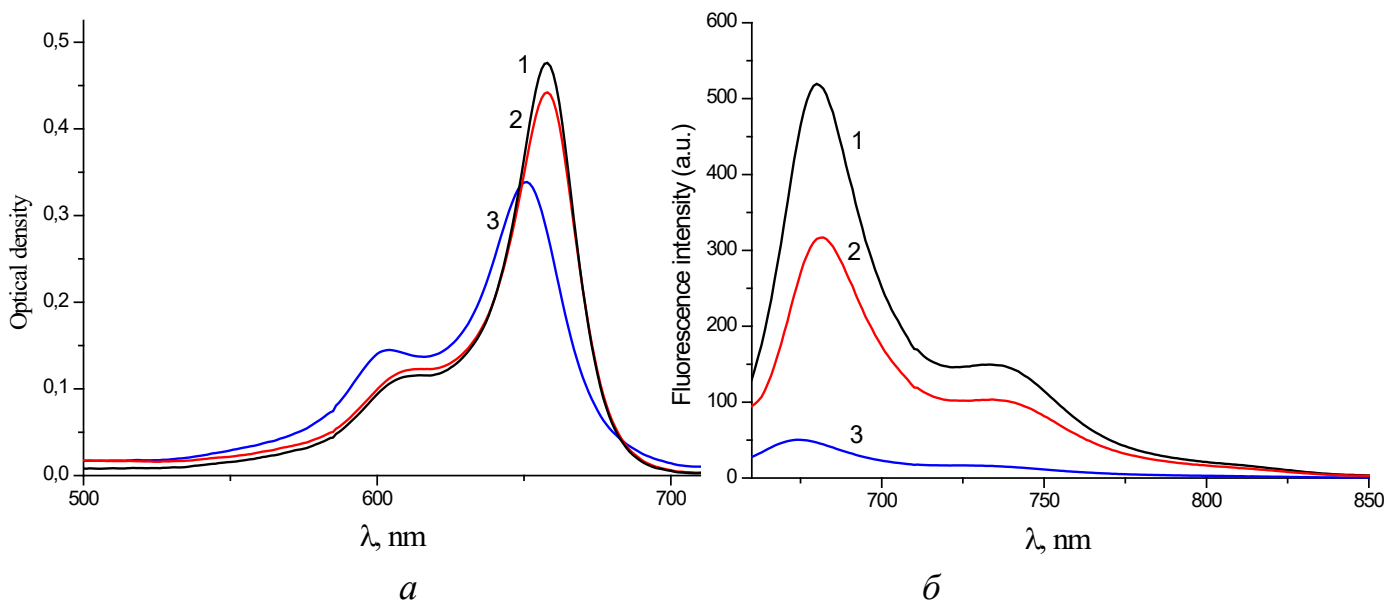


Рис. 4.25 Спектри поглинання (*а*) та флуоресценції (*б*) барвника 4.7 у етанольному розчині з різним вмістом води (%): 0 (1), 50 (2), та 100 (3); концентрація барвника 5 μM

Лише при високому (більше 50%) вмісті води у нього з'являється невеликий короткохвильовий максимум при 612 нм. Це вказує на те, що скварайн 4.7 агрегує значно слабше порівняно з барвником 4.5. Вірогідно, це є наслідком більшої розчинності першого, ніж останнього у водному розчині. В результаті молекули скварайна 4.7 менше виштовхуються зі структури води порівняно з барвником 4.5, внаслідок чого, як відомо, агрегують слабше [167].

Донорно-акцепторна природа скварайнів створює умови для сильного міжмолекулярного електростатичного тяжіння різноменних зарядів, що приводить до утворення димерів і складніших агрегатів навіть у дуже розбавлених розчинах [177]. Огляд літератури показав, що існує принаймі три можливих взаємних розташувань донорно-акцепторних молекул при утворенні агрегатів у водному середовищі (рис. 4.26). При орієнтації молекул скварайна, як у структурі I, взаємодія між ними має бути максимальною, оскільки протилежно заряджені фрагменти D та A різних молекул знаходяться один проти одного на обох кінцях молекули.

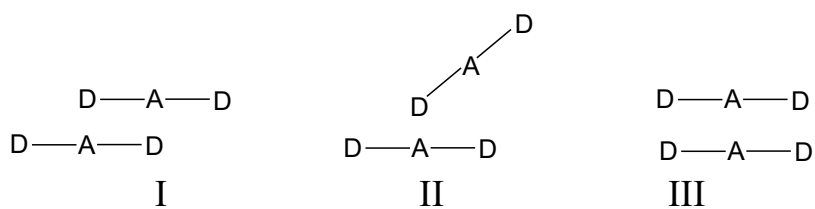


Рис. 4.26 Можливі структури агрегатів

У такій структурі реалізується кут між двома хромофорами, близький до 180° . Характерною її ознакою є поява нової довгохвильової смуги поглинання і флуоресценції по відношенні до відповідних смуг мономерної молекули [178]. Їх відсутність виключає можливість реалізації агрегату типу I у нашому випадку. Структура II має бути менш вигідною, оскільки взаємодія фрагментів мономерів D і A здійснюється лише з одного боку. При гострому куті між хромофорами виникають дві смуги поглинання, але інтенсивність довгохвильової набагато вище [167]. Цей випадок у нас також не реалізується. У сендвічевої структурі III одноименно заряджені фрагменти розташовані один проти одного. Кулонівські сили відштовхування дестабілізують такий агрегат. Однак при паралельному розташуванні хромофорів спостерігаються максимальні дисперсійні взаємодії між ними. Тому існує можливість утворення таких агрегатів. У нашому випадку додаткове посилення дисперсійних взаємодій в сендвічевій структурі здійснюється за рахунок бензанелювання індоленінового ядра, що розширює π -систему спряження.

Однозначним доказом домінування у нашому випадку структури III при збільшенні вмісту води у сумішах розчинників є: виникнення нової короткохвильової смуги поглинання (гіпсохромно зсунутої приблизно на $30 - 40$ нм); зростання її інтенсивності (навіть перевищує інтенсивність основної смуги); падіння інтенсивності довгохвильової смуги; гасіння флуоресценції мономерної смуги до її повного зникнення при вмісті води біля 80% [179].

Отже, спираючись на дослідження природи агрегації барвників, однозначним доказом домінування у нашому випадку структури III при збільшенні вмісту води у сумішах розчинників є: виникнення нової короткохвильової смуги поглинання (гіпсохромно зсунутої приблизно на 30 – 40 нм); зростання її інтенсивності (навіть перевищує інтенсивність основної смуги); падіння інтенсивності довгохвильової смуги; гасіння флуоресценції мономерної смуги до її повного зникнення при вмісті води біля 80 %.

Агрегація барвників супроводжується зменшенням енергетичної щілини між S¹ і T станами порівняно з мономерним барвником. Це приводить до зростання ймовірності інтеркомбінаційної конверсії. У асоціатів сендвічової будови III вона додатково зростає, внаслідок того, що конкуруючий флуоресцентний перехід S¹ → S⁰ у них заборонений [179]. В результаті, активований триплетний стан агрегату III здатен по механізму Т-Т переносу енергії сенсибілізувати утворення синглетного кисню (рис. 4.27) [181].

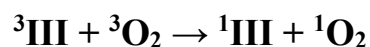


Рис. 4.27 Схема утворення синглетного кисню

4.11 Дослідження цитотоксичності бензіндоленінових барвників

Оскільки досліджувані барвники проявили себе як потенційні фотосенсибілізатори, їх здатність пригнічувати ріст клітин MCF-7 досліджена за допомогою МТТ тесту. Спостерігалася виживаність клітин після 24-годинної інкубації з барвниками в діапазоні концентрацій 0,1 – 10 μM в паралельних дослідах: в присутності барвників (темнова токсичність) та в присутності барвників після опромінення лазером із довжиною хвилі 660 нм (світлова токсичність). Оскільки виявлено, що досліджувані сполуки зв'язуються з альбумінами, дослідження виживаності клітин під дією фотосенсибілізаторів проведено в безсироватковому середовищі і в середовищі із 5% BSA. Опроміненням червоним світлом клітин, що містили аліквоти ДМСО не

вплинули на виживаність клітин. Як показано на рис. 4.28, барвник 4.5 продемонстрував низьку темнову токсичність, його життєздатність клітин залишалася вище 85% у представленаому діапазоні концентрацій. Водночас, після лазерного опромінення виживаність клітин знижувалася майже на 40 % за концентрації 0,1 μM та майже на 90 % за концентрації 10 μM у безсироватковому середовищі. В присутності 5% BSA в середовищі для росту клітин токсична дія барвника у концентрації 0,1 μM зменшилася під дією лазера. Однак вже за концентрації 1 μM виживаність клітин складала менше 40% і близько 10% при концентрації 10 μM .

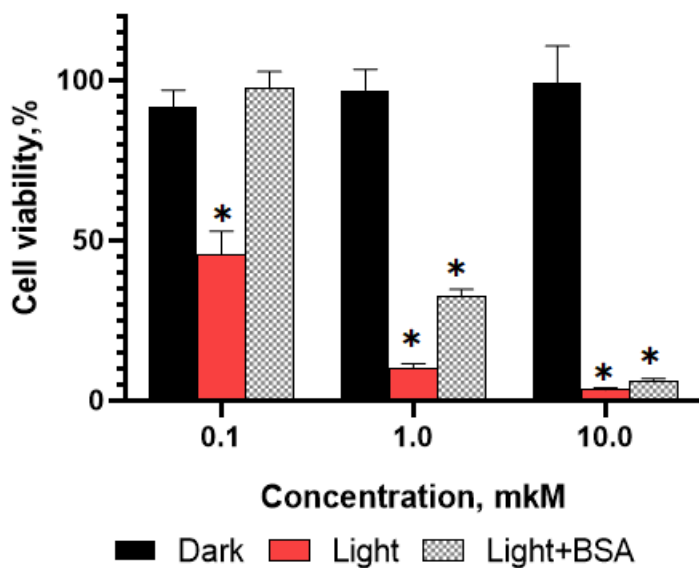


Рис. 4.28 Цититоксичність барвника 4.5 в залежності від концентрації без та з дією лазера (1 хв) у відсутності і за присутності BSA (* $p < 0.05$ порівняно із темновою токсичністю відповідної концентрації барвника)

Аналогічно барвнику 4.5, 24-годинна темнова інкубація барвників 4.7 та 4.8 із клітинами MCF-7 не вплинула на ріст клітин. Тоді як опромінення червоним світлом клітин із зазначеними барвниками, знизило виживаність клітин більш ніж на 50% за концентрації 1 μM у випадку барвника 4.8 та на 60% у випадку барвника 4.7. Для обох барвників за концентрації 10 μM виживаність клітин складала менше 5%. Тоді як за присутності BSA в середовищі росту

клітин токсична дія при опроміненні червоним світлом не виявлена навіть за концентрації 10 μM для обох барвників (рис. 4.29, *a, b*).

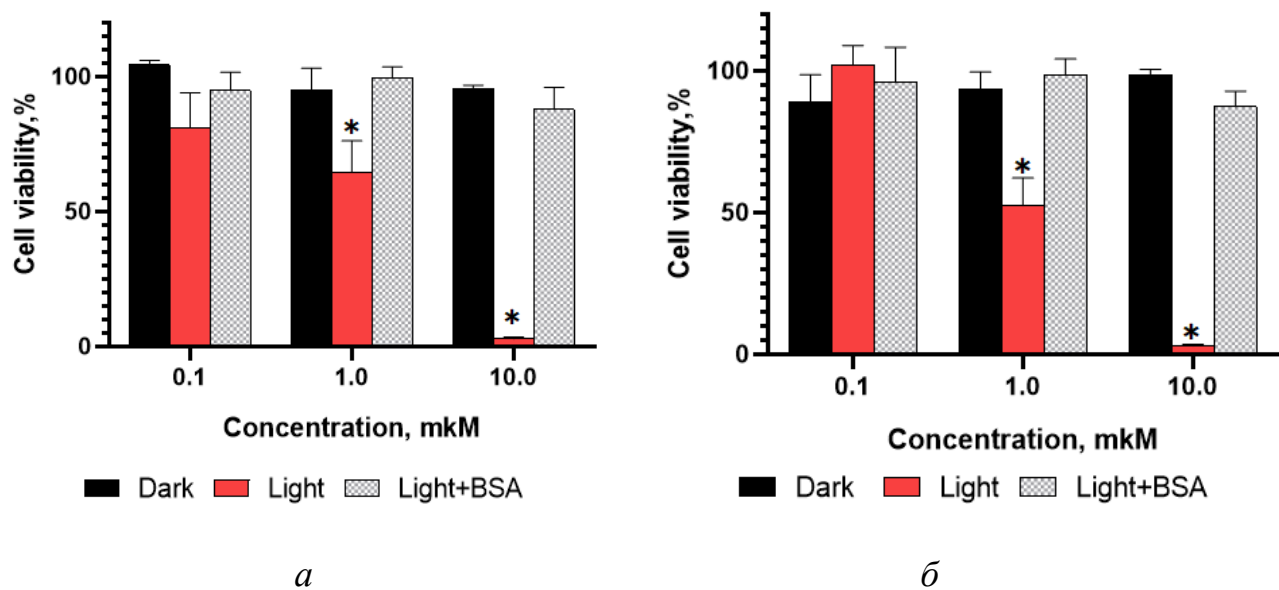


Рис. 4.29 Цититоксичність барвників 4.7 (*a*) та 4.8 (*b*) в залежності від концентрації без та після дієї лазера (1 хв) у відсутності та за присутності BSA (* $p < 0.05$ порівняно із темновою токсичністю відповідної концентрації барвників)

Окрім МТТ тесту, проводилось дослідження світлової цитотоксичності барвника 4.5 за допомогою конфокальної мікроскопії (рис. 4.30). Для цього клітини MCF-7 поміщали в культуральні планшети з 12 лунками із стерильними скляними покривними скельцями та інкубували протягом 48 годин при 37 °C у присутності 5% CO₂. Після досягнення 80% конфлюентності середовище для росту клітин видаляли і клітини тричі промивали PBS. Далі клітини інкубували з досліджуваними барвниками в концентрації 5 μM у PBS буфері протягом 1 години при 37° С у присутності 5% CO₂. Після цього частину скелець опромінювали лазером протягом 1 хвилини. Далі усі лунки зі скельцями промивали PBS буфером, додавали середовище для росту і залишали на добу. На наступний день клітини готували до дослідження за методикою конфокальної візуалізації фіксованих клітин.

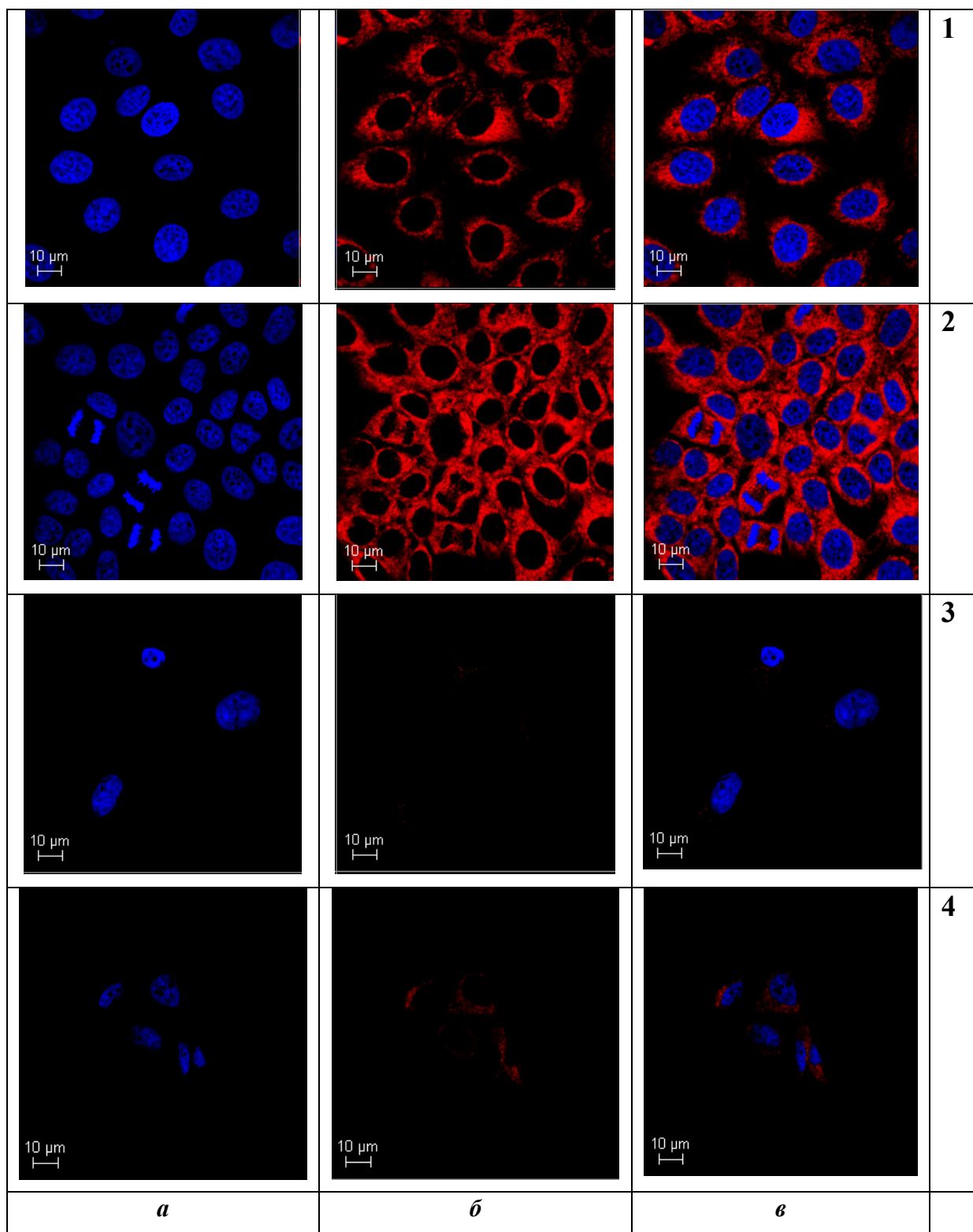


Рис. 4.30 Конфокальне зображення клітин MCF-7. Клітини з барвником Hoechst 33342 (*a*), барвником 4.5 (*b*), та об'єднане зображення (*c*) Ряд 1 та 2 без дії лазера, ряд 3 та 4 після опромінення протягом 1 хв

Як видно з рис. 4.30 в опромінених лазером зразках загальне число клітин зменшується (рис. 4.30, ряд 3 та 4) в порівнянні з неопроміненими клітинами в присутності барвника (рис. 4.30, ряд 1 та 2), що також підтверджує цитотоксичний ефект досліджуваного флуорофору **4.5** під дією світла. Потрібно зазначити, що опромінення червоним світлом не вплинуло на життездатність клітин, що не містили барвник.

Відомо, що альбуміни крові виконують ряд функцій в організмі людини, серед яких захист організму від оксидативного стресу. Ми припускаємо, що відсутність терапевтичного ефекту барвників **4.7** і **4.8** в присутності альбуміну відбувається через те, що їх негативно заряджені бічні групи утворюють нековалентні взаємодії з позитивно зарядженими групами BSA. Дифузія кисню при зв'язуванні молекули з білком ускладнюється. В результаті зменшується вироблення синглетного кисню чи відбувається взаємодія альбуміну з вільними радикалами. Також у вільному стані молекули барвника можуть бути близькими до клітинних структур, що призводить до їх руйнування за типом I. Тоді як білкова оболонка стерично обмежує механізм переносу електронів, що призводить до гасіння збуджених молекул субодиницями альбуміну. Барвник **4.5** не дає таких стійких комплексів, проте, оскільки при зв'язуванні з альбуміном відбувається процес руйнування агрегатів барвника, його токсичний вплив при опроміненні червоним світлом за присутності альбуміну знижується, але залишається достатньо високим для руйнівної дії клітин.

Отже, даний розділ присвячений вивченню внутрішньоіонних сквараїнових хромофорів з як нейтральними бічними замісниками, так і з зарядженими. Встановлено, що барвник 4.2 із четвертинними амінними групами проявляє найслабше зв'язування із BSA, не візуалізується в клітині, а отже не може бути використаним для флуоресцентної візуалізації клітин.

Флуорофори із кислотними групами **4.3**, **4.7** та **4.8**, зв'язувалися із альбуміном із високими константами зв'язування, проникали через мембрани клітин A2780 та MCF-7 та візуалізувалися в них. Дані барвники можуть

використовуватися як потенційні реагенти для візуалізації клітин. Для дослідження скварайнів як пришивочних зондів синтезовано кон'югат барвника **4.3** із глюкоаміном. Не дивлячись на високу власну флуоресценцію, флуоресцентний сигнал в клітинах MCF-7 був виявлений слабким. Барвники із гідрофобними бічними замісниками проявили тенденцію до агрегації у водному буфері, проте спостерігалося їх руйнування за присутності сироваткових альбумінів. При чому барвник **4.5** продемонстрував найвищий відгук за присутності BSA: зростання інтенсивності флуоресценції відбувалося в 500 разів. Для дослідження спектральних проявів агрегації проаналізовані його спектри поглинання і флуоресценції в сумішах з водою етанолу і ДМСО у різному співвідношенні при постійній концентрації барвника. Доведено, що агрегат має сендвічеву будову із розташуванням однайменних зарядів один навпроти одного. Утворення агрегату призвело до підвищення цитотоксичних властивостей барвника **4.5** при опроміненні червоним світлом навіть за присутності альбуміну. Отже, агрегація скварайнів, яка, як правило, небажана у медико-біологічних експериментах, може відігравати корисну роль для сенсибілізації синглетного кисню. Це необхідно враховувати при використанні скварайнових барвників у фотодинамічній терапії.

За результатами досліджень опубліковані наступні наукові праці:

1. Syniugina A., Chernii S., Losytskyy M., Ozkan H.G., Slominskii Yu, Syniugin A., Pekhnyo V., Mokhir A., Yarmoluk S. “N-alkyl functionalized squaraine dyes as fluorescent probes for the detection of serum albumins”. Biopolymers and Cell, 2022; 38(2):103-116 (Open Access, Q4) DOI 10.7124/bc.000A75.
2. Syniugina A., Malanchuk O., Chernii S., Bdzhola A., Horbatok K., Syniugin A., Yarmoluk S. “The squaraine derivatives as potential photosensitizers in photodynamic therapy of cancer”. Biopolymers and Cell, 2023; 39(1):3-13, DOI 10.7124/bc.000A81.
3. Синюгіна А.Т., Іщенко О.О. «Вплив агрегації бензоіндоскварайнів на генерацію синглетного кисню». Допов. Нац. акад. наук України. № 4. С. 60-67. doi.org/10.15407/dopovidi2023.04.060.

РОЗДІЛ 5

КОН'ЮГАТИ НА ОСНОВІ МЕРОЦІАНІНОВОГО І СКВАРАЇНОВОГО БАРВНИКІВ

D-глюкоза є одним з найпоширеніших моносахаридів у природі. Похідне глюкози – глюкозамін виробляється шляхом біосинтезу гексоз. Відомо, що транспорт як глюкози так і глюкозаміну здійснюється транспортними білками GLUT2 [170]. Оскільки злойкісні пухлини мають відмінний від нормальних клітин метаболізм, встановлено, що для їх функціонування потрібне споживання збільшеної кількості глюкози. Внаслідок цього в пухлинній тканині в надлишку експресуються транспортери глюкози, які часто стають мішенню для націлювання зондів із кон'югованим глюкозаміном [171, 172]. Отже, флуоресцентні кон'югати на основі глюкозаміну застосовують та досліджують як зонди для візуалізації пухлин, де вони мають здатність до накопичення [173].

5.1 Синтез кон'югату 3.4-GlcN

Оскільки мероціанінові флуорофори містять карбоксильну групу на кінці лінкеру, наступним завданням було синтезувати кон'югат на основі D-глюкозаміну (GlcN) із барвником **3.4** та порівняти спектральні характеристики отриманого кон'югату та вихідного барвника. Синтез **3.4-GlcN** проводили з використанням хлоргідрату 1-етил-3-(диметиламінопропил)карбодііміду (EDCI) та гідроксибензотріазолу (НОВТ) у диметилформаміді (рис. 5.1).

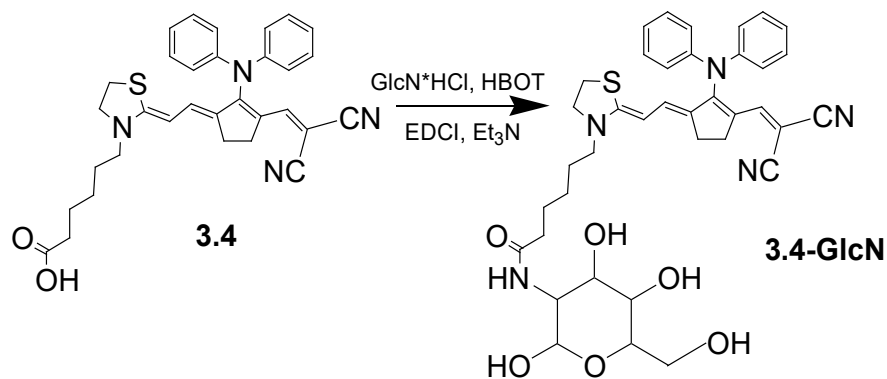


Рис. 5.1 Схема синтезу кон'югату **3.4-GlcN**

5.2 Спектральні властивості кон'югату **3.4-GlcN**

Спектральні характеристики синтезованого кон'югату **3.4-GlcN** досліджували в метанолі, водному буфері, а також за присутності HSA (рис. 5.2). У метанолі максимум поглинання знаходиться при 653 нм і практично співпадає з максимумом поглинання вихідного барвника **3.4**, проте із меншим значенням молярного коефіцієнту екстинкції ($\varepsilon_{3.4\text{-GlcN}} = 0,87 \cdot 10^5 \text{ M}^{-1}\text{cm}^{-1}$, $\varepsilon_{3.4} = 1,84 \cdot 10^5 \text{ M}^{-1}\text{cm}^{-1}$). У буфері спостерігається уширення спектральної кривої, а також незначне (5 нм) зміщення максимуму поглинання в синю область в порівнянні із максимумом поглинання в буфері барвника **3.4**. Отже, на відміну від барвника **3.4**, розчинність кон'югату зменшується скоріш за все внаслідок міжмолекулярної взаємодії глюкозамідних фрагментів. В присутності HSA відбувається зміщення максимуму поглинання в червону область ($\lambda_{\text{abs}} = 662 \text{ нм}$), форма кривої поглинання подібна до його кривої отриманої в метанолі. Відбувається також зростання квантових виходів флуоресценції (0,18 в присутності альбуміну проти 0,01 у воді).

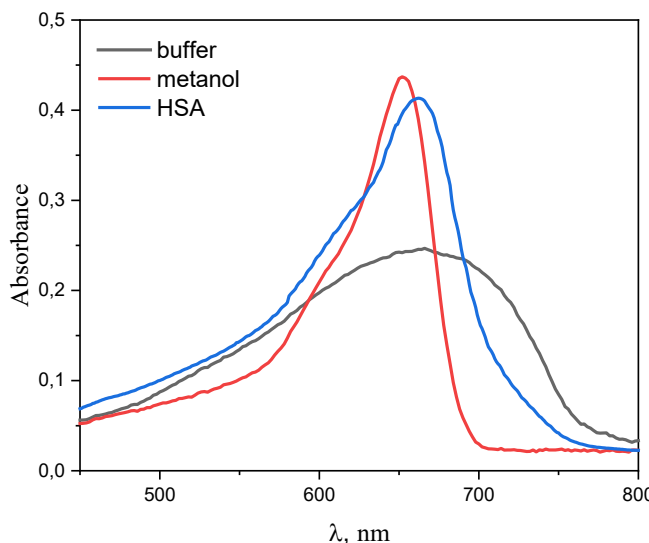


Рис. 5.2 Спектри поглинання 3,4-GlcN у буфері, метанолі та в присутності HSA. C = 5 μM

5.3 Синтез кон'югату 4,3-GlcN

Оскільки барвник **4.3** має високі квантові виходи флуоресценції та молярні коефіцієнти екстинкції, що є важливим для його використання як флуоресцентної мітки, проведена ковалентна кон'югація із глюкозаміном за схемою, що представлена на рис. 5.3. Синтез **4,3-GlcN** проводили з використанням хлоргідрату 1-етил-3-(диметиламінопропил)карбодііміду (EDCI) та гідроксибензотіазолу (НОВТ) у диметилформаміді. Присутність двох карбоксильних груп дозволила збільшити число молекул глюкозаміну на одиницю флуорофору. В літературних джерелах повідомляється, що поглинання пухлинними клітинами ціанінового зонду, що містить два залишки глюкозаміну було значно вищим, ніж поглинання несиметричного аналогу з однією молекулою глюкозаміну [174].

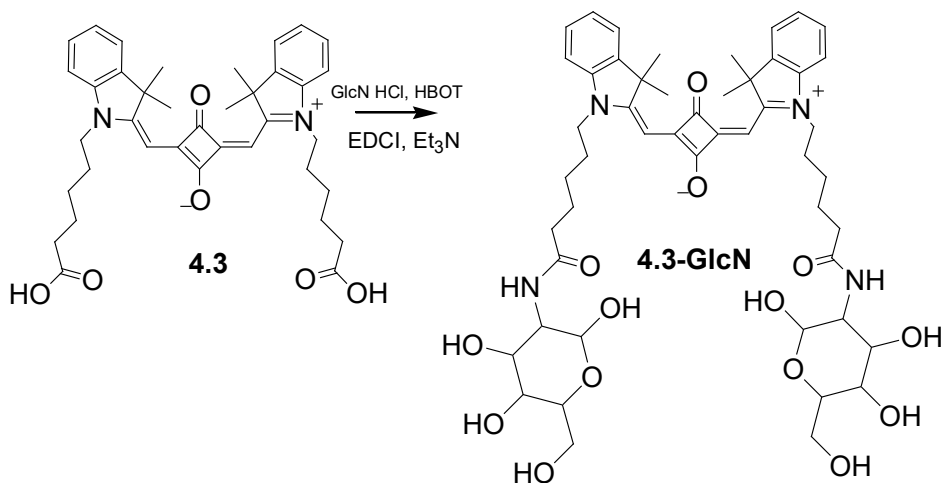


Рис. 5.3 Схема синтезу кон'югату **4.3-GlcN**

5.4 Дослідження спектральних властивостей кон'югату глюкозаміну із барвником **4.3**

При проведенні порівняння спектральних властивостей у метанолі та водному буфері вихідного барвника **4.3** та його кон'югату **4.3-GlcN** виявлено зростання молярних коефіцієнтів екстинкції у випадку введення глюкозаміну до флуорофору (таблиця 5.1).

Таблиця 5.1

Спектральні характеристики барвників в метанолі та буфері (λ_{abs} – максимум поглинання, λ_{em} – максимум випромінювання, ϵ – коефіцієнт молярної екстинкції, QY – квантовий вихід флуоресценції)

	метанол			буфер			
	λ_{abs} , nm	λ_{em} , nm	$\epsilon, 10^5$ $\text{M}^{-1}\text{cm}^{-1}$	λ_{abs} , nm	λ_{em} , nm	$\epsilon, 10^5$ $\text{M}^{-1}\text{cm}^{-1}$	QY
4.3	631	645	3	624	641	2.1	0.03
4.3-GlcN	634	647	3.7	625	642	3.4	0.05

Можливо це пов'язано з тим, що об'ємні симетричні глюкозамідні групи сквараїнового кон'югату утруднюють обертання навколо подвійних зв'язків за рахунок утворення внутрішньомолекулярних водневих зв'язків. Тоді як у випадку мероціанінових барвників, з однією молекулою глюкозаміну, погіршення спектральних властивостей можна пояснити міжмолекулярними водневими зв'язками глюкозамідних фрагментів із утворенням агрегатів, що гасять флуоресценцію.

5.3 Дослідження проникності кон'югатів до клітин MCF-7

Проникність кон'югатів **3.4-GlcN** та **4.3-GlcN** до клітин MCF-7 досліджено за допомогою конфокальної мікроскопії. Інкубацію кон'югатів із клітинами проводили протягом 30 хв. із концентрацією 5 μM , потім додатково інкубували із барвником Hoechst 33342 з наступним промиванням та фіксуванням у забуференому формаліні. Для порівняння результатів також проводили інкубацію клітин із вихідними мероціаніновим **3.4** та сквараїновим **4.3** барвниками. Враховуючи попередні результати спектральні досліджень, ми очікували отримати вищий флуоресцентний сигнал для сквараїнового кон'югату. Проте результат проведеної мікроскопії клітин показав, що за однакових умов флуоресцентний сигнал кон'югованої молекули **4.3-GlcN** (рис. 5.4, *б*) виявився слабшим за сигнал вихідного вільного барвника **4.3** (рис. 5.4, *а*). Тоді як флуоресцентний сигнал мероціанінового барвника не зменшував своєї інтенсивності після кон'югації (рис. 5.4, *г*). Незважаючи на гіршу розчинність та менші значення квантового виходу флуоресценції у водному середовищі в порівнянні з вільним барвником, синтезований мероціаніновий кон'югат **3.4-GlcN** продемонстрував гарний флуоресцентний відгук у ракових клітинах MCF-7.

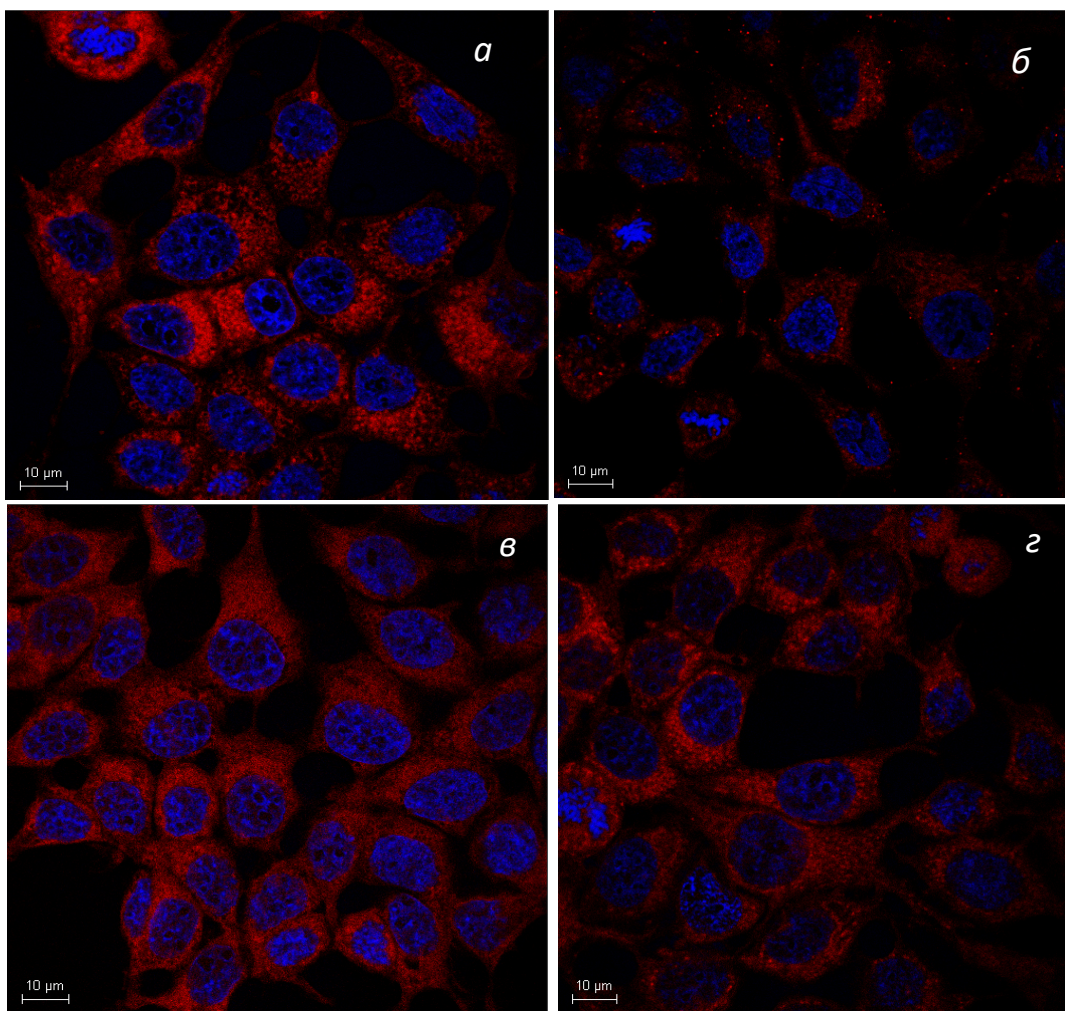


Рис. 5.4 Порівняння отриманих мікроскопією зображень клітин MCF-7 в присутності сквараїнового барвника 4.3 (червоне забарвлення, а) та кон'югата 4.3-GlcN (червоне забарвлення, б), мероціанінового барвника 3.4 (червоне забарвлення, в) та 3.4-GlcN (червоне забарвлення, г), а також барвника Hoechst 33342 (синє забарвлення, а, б, в, г)

Недостатня проникність **4.3-GlcN** в клітини в порівнянні із вільним флуорофором може бути пов'язана як із стеричними ускладненнями через великий об'єм кон'югату, так і зі швидким вимиванням кон'югованої сполуки при проведенні досліду. Отримані результати слід враховувати при кон'югації даних флуорофорів для відстеження та біовізуалізації.

ВИСНОВКИ

В дисертаційній роботі проведено пошук нових внутрішньоіонних барвників та вивчено вплив будови флуорофорів на їх зв'язування із глобулярними білками, внутрішньоклітинний розподіл та здатність до генерації синглетного кисню. За результатами роботи зроблені наступні висновки:

1. Синтезовано п'ять нових мероціанінових барвників, що поглинають в області понад 600 нм. Визначено, що введення мезо-фрагменту в поліметиновий ланцюг надає барвникам фотостійкості та сприяє батохромному зміщенню максимумів поглинання.

2. Встановлено, що введення дифеніламіно-групи в мезо-замісник поліметинового ланцюга барвника **3.4** підвищує константу зв'язування з людським альбуміном в 30 разів в порівнянні із мезо-незаміщеним барвником **3.0**.

3. Досліджена взаємодія сквараїнових барвників із глобулярними білками спектрально-флуоресцентними методами. Показано, що нековалентне зв'язування барвника **4.5** із бичачим сироватковим альбуміном приводить до зростання інтенсивності флуоресценції майже в 500 разів, тоді як інші представники сквараїнів продемонстрували зростання лише у 8-14 разів.

4. За допомогою МТТ-аналізу встановлено, що запропоновані флуоресцентні барвники не є токсичними по відношенню до клітинної лінії MCF-7, з використанням флуоресцентної мікроскопії показано, що барвники проникають через мембрани клітин A2780 та неселективно розподіляються в цитоплазмі клітин.

5. Вивчені фотодинамічні властивості бензіндольних сквараїнових барвників із бічними гідрофільними та гідрофобними замісниками з використанням пастки синглетного кисню та на клітинній лінії MCF-7 після опромінення червоним світлом. Встановлено, що зростання генерації активних форм кисню при опроміненні барвника **4.5** відбувається за рахунок утворення його агрегатів у водному середовищі.

6. Показано, що барвники **4.7** та **4.8** в комплексі з BSA зменшують свою цитотоксичність по відношенню до клітин MCF-7, тоді як барвник **4.5** проявляє цитотоксичність при опроміненні навіть за присутності альбуміну.

7. Вперше досліджені кон'югати із глюкозаміном **3.4-GlcN** та **4.3-GlcN** на основі мераціанінового та сквараїнового барвників. Показано, що симетричний сквараїновий кон'югат не візуалізується в клітинах, тоді як несиметричний мероціаніновий кон'югат проникає в клітини MCF-7 та візуалізує їх.

СПИСОК ВИКОРИСТАНИХ ДЖЕРЕЛ

1. Wang, S., Li, B., & Zhang, F. (2020). Molecular Fluorophores for Deep-Tissue Bioimaging. *ACS central science*, 6(8), 1302–1316. <https://doi.org/10.1021/acscentsci.0c00544>
2. Wu, J.; Shi, Z.; Zhu, L.; Li, J.; Han, X.; Xu, M.; Hao, S.; Fan, Y.; Shao, T.; Bai, H.; et al. (2022). The Design and Bioimaging Applications of NIR Fluorescent Organic Dyes with High Brightness. *Advanced Optical Materials*, 10(8), 2102514. <https://doi.org/10.1002/adom.202102514>
3. Escobedo, J. O., Rusin, O., Lim, S., & Strongin, R. M. (2010). NIR dyes for bioimaging applications. *Current opinion in chemical biology*, 14(1), 64–70. <https://doi.org/10.1016/j.cbpa.2009.10.022>
4. Zeng, S, Liu, X, Kafuti, Y, Kim, H, Wang, J, Peng, X, Li, H, & J Yoon, J. (2023) Fluorescent dyes based on rhodamine derivatives for bioimaging and therapeutics: recent progress, challenges, and prospects. *Chemical Society Reviews*, 52 (16), 5607-5651. doi.org/10.1039/D2CS00799A
5. Martelli, C., Lo Dico, A., Diceglie, C., Lucignani, G., & Ottobrini, L. (2016). Optical imaging probes in oncology. *Oncotarget*, 7(30), 48753–48787. <https://doi.org/10.18632/oncotarget.9066>
6. Webster, S., Padilha, L. A., Hu, H., Przhonska, O. V., Hagan, D. J., Van Stryland, E. W., ... Kachkovski, A. D. (2008). Structure and linear spectroscopic properties of near IR polymethine dyes. *Journal of Luminescence*, 128(12), 1927–1936. doi:10.1016/j.jlumin.2008.06.002.
7. Markova, L. I., Terpetschnig, E. A., & Patsenker, L. D. (2013). Comparison of a series of hydrophilic squaraine and cyanine dyes for use as biological labels. *Dyes and Pigments*, 99(3), 561–570. doi:10.1016/j.dyepig.2013.06.022
8. Tolmachev A.I., Slominskii Yu. L., Ishchenko A.A. et al. (1998). New Cyanine Dyes Absorbing in the NIR Region. *Kluwer Academic Publishers*, 52, 385 - 415. https://doi.org/10.1007/978-94-011-5102-3_19.

9. Ishchenko A.A., Derevyanko N.A., V.M. Zubarovskii V. M., Tolmachev A.I. (1985). Influence of length of the polymethine chain on width of absorption bands of symmetric cyanine dyes. *Theor. Exp. Chem.*, 20(4), 415 - 422. <https://doi.org/10.1007/BF00516576>.
10. Przhonska, O. V., Hu, H., Webster, S., Bricks, J. L., Viniychuk, A. A., Kachkovski, A. D., & Slominsky, Y. L. (2013). Electronic transitions in a series of 2-azaazulene polymethine dyes with different π -conjugation lengths. *Chemical Physics*, 411, 17–25. doi:10.1016/j.chemphys.2012.11.017.
11. Ndaleh D, Smith C, Yaddehige M, Shaik A K, Watkins D, Hammer N, Delcamp J.(2021). Shortwave Infrared Absorptive and Emissive Pentamethine-Bridged Indolizine Cyanine Dyes. *The Jornal of.Organic Chemistry*, 86(21), 15376-15386.
12. Yi, X., Yan, F., Wang, F., Qin, W., Wu, G., Yang, X., Shao, C., Chung, L. W., & Yuan, J. (2015). IR-780 dye for near-infrared fluorescence imaging in prostate cancer. *Medical science monitor : international medical journal of experimental and clinical research*, 21, 511–517. <https://doi.org/10.12659/MSM.892437>
13. Yang, X., Shi, C., Tong, R., Qian, W., Zhau, H. E., Wang, R., Zhu, G., Cheng, J., Yang, V. W., Cheng, T., Henary, M., Strekowski, L., & Chung, L. W. (2010). Near IR heptamethine cyanine dye-mediated cancer imaging. *Clinical cancer research : an official journal of the American Association for Cancer Research*, 16(10), 2833–2844. <https://doi.org/10.1158/1078-0432.CCR-10-0059>
14. Yang, X., Shao, C., Wang, R., Chu, Y., Hu, P., Master, V., Osunkoya, A. O., Kim, H. L., Zhau, H. E., & Chung, W. K. (2013). Optical imaging of kidney cancer with novel near-infrared heptamethine carbocyanine fluorescent dyes. *The Journal of urology*, 189(2), 702. <https://doi.org/10.1016/j.juro.2012.09.056>
15. Rüdiger M. Exner, Dr. Fernando Cortezon-Tamarit, Prof. Sofia I. Pascu. (2021) Explorations into the Effect of meso-Substituents in Tricarbocyanine Dyes: A Path to Diverse Biomolecular Probes and Materials. *Angewandte Chemie*, 60 (12), 6230-6241. doi.org/10.1002/anie.202008075
16. Exner, R. M., Cortezon-Tamarit, F., Ge, H., Pourzand, C., & Pascu, S. I. (2022). Unraveling the Chemistry of *meso*-Cl Tricarbocyanine Dyes in Conjugation Reactions

- for the Creation of Peptide Bonds. *ACS bio & med chem Au*, 2(6), 642–654. <https://doi.org/10.1021/acsbiomedchemau.2c00053>
17. Yuan, J. (2015). IR-780 Dye for Near-Infrared Fluorescence Imaging in Prostate Cancer. *Medical Science Monitor*, 21, 511–517. doi: 10.12659/MSM.892437.
18. Feng Z., Yu X., Jiang M. et al. (2019) Excretable IR-820 for in vivo NIR-II fluorescence cerebrovascular imaging and photothermal therapy of subcutaneous tumor. *Theranostics*, 9(19), 5706 – 5719. doi:10.7150/thno.31332
19. Bhattacharai, P., & Dai, Z. (2017). Cyanine based Nanoprobes for Cancer Theranostics. *Advanced Healthcare Materials*, 6(14), 1700262. doi:10.1002/adhm.201700262.
20. Li, B., Lu, L., Zhao, M., Lei, Z., & Zhang, F. (2018). An Efficient 1064 nm NIR-II Excitation Fluorescent Molecular Dye for Deep-Tissue High-Resolution Dynamic Bioimaging. *Angewandte Chemie (International ed. in English)*, 57(25), 7483–7487. <https://doi.org/10.1002/anie.201801226>
21. Luciano, M., Crooke, S., Nourian, S, Dingle, I, Nani, RR, Kline, G, Patel, NL, Robinson CM, Difilippantonio S, Kalen JD, Finn MG, Schnermann MJ. (2019). A Nonaggregating Heptamethine Cyanine for Building Brighter Labeled Biomolecules. *ACS Chem Biol*, 14(5), 934-940. doi: 10.1021/acschembio.9b00122.
22. Krieg, M., & Bilitz, J. M. (1996). Structurally modified trimethine thiacyanine dyes. Effect of N-alkyl substituents on antineoplastic behavior. *Biochemical pharmacology*, 51(11), 1461–1467. [https://doi.org/10.1016/0006-2952\(96\)00087-1](https://doi.org/10.1016/0006-2952(96)00087-1).
23. Duan, L., Wang, L., Zhang, C., Yu, L., Guo, F., Sun, Z., Xu, Y., & Yan, F. (2019). Role of near-infrared heptamethine cyanine dye IR-783 in diagnosis of cervical cancer and its mechanism. *International journal of clinical and experimental pathology*, 12(6), 2353–2362.
24. Raveendran, A., Surendran, S. P., Ser, J., Alam, K., Cho, H., & Jeong, Y. Y. (2021). Heptamethine Cyanine Dye MHI-148-Mediated Drug Delivery System to Enhance the Anticancer Efficiency of Paclitaxel. *International Journal of Nanomedicine*, 16, 7169-7180. <https://doi.org/10.2147/IJN.S325322>

25. Yadav, Y., Levitz, A., Dharma, S., Aneja, R., & Henary, M. (2017). Effects of heterocyclic N -alkyl chain length on cancer cell uptake of near infrared heptamethine cyanine dyes. *Dyes and Pigments*, 145, 307–314. doi:10.1016/j.dyepig.2017.06.016.
26. Reßing, F., Bispo, M., López-Álvarez, M., van Oosten, M., Feringa, B. L., van Dijl, J. M., & Szymański, W. (2020). A Facile and Reproducible Synthesis of Near-Infrared Fluorescent Conjugates with Small Targeting Molecules for Microbial *Infection Imaging*. *ACS omega*, 5(35), 22071–22080. <https://doi.org/10.1021/acsomega.0c02094>
27. Sleiman, M. H., & Ladame, S. (2014). Synthesis of squaraine dyes under mild conditions: applications for labelling and sensing of biomolecules. *Chemical Communications*, 50(40), 5288. doi:10.1039/c3cc47894g
28. Sato, K., Gorka, A. P., Nagaya, T., Michie, M. S., Nani, R. R., Nakamura, Y., Coble, V. L., Vasalatiy, O. V., Swenson, R. E., Choyke, P. L., Schnermann, M. J., & Kobayashi, H. (2016). Role of Fluorophore Charge on the In Vivo Optical Imaging Properties of Near-Infrared Cyanine Dye/Monoclonal Antibody Conjugates. *Bioconjugate chemistry*, 27(2), 404–413. doi.org/10.1021/acs.bioconjchem.5b00492.
29. Takakura, H., Sato, H., Nakajima, K., Suzuki, M., & Ogawa, M. (2021). In Vitro and In Vivo Cell Uptake of a Cell-Penetrating Peptide Conjugated with Fluorescent Dyes Having Different Chemical Properties. *Cancers*, 13(9), 2245. <https://doi.org/10.3390/cancers13092245>.
30. Zhang, Y., Lv, T., Zhang, H., Xie, X., Li, Z., Chen, H., & Gao, Y. (2017). Folate and Heptamethine Cyanine Modified Chitosan-Based Nanotheranostics for Tumor Targeted Near-Infrared Fluorescence Imaging and Photodynamic Therapy. *Biomacromolecules*, 18(7), 2146–2160. doi:10.1021/acs.biomac.7b00466
31. Shimi, M., Sankar, V., Rahim, M. K. A., Nitha, P. R., Das, S., Radhakrishnan, K. V., & Raghu, K. G. (2017). Novel glycoconjugated squaraine dyes for selective optical imaging of cancer cells. *Chemical Communications*, 53(39), 5433–5436. doi:10.1039/c6cc10282d

32. Ia. B. Kuziv, O. V. Novosylna, I. Ya. Dubey. (2020) Fluorescent conjugates of D-glucosamine with 3-thiazolylcoumarins:synthesis, characterization and potential use as cell imaging agents. *Biopolymers and Cell*, 36(5), P 358–370
doi:<http://dx.doi.org/10.7124/bc.000A39>
33. Ono, K., Takigawa, S., & Yamada, K. (2020). L-Glucose: Another Path to Cancer Cells. *Cancers*, 12(4), 850. <https://doi.org/10.3390/cancers12040850>.
34. Schreiber, C. L., Zhai, C., Dempsey, J. M., McGarraugh, H. H., Matthews, B. P., Christmann, C. R., & Smith, B. D. (2020). Paired Agent Fluorescence Imaging of Cancer in a Living Mouse Using Preassembled Squaraine Molecular Probes with Emission Wavelengths of 690 and 830 nm. *Bioconjugate chemistry*, 31(2), 214–223. <https://doi.org/10.1021/acs.bioconjchem.9b00750>.
35. Bourgeois, P., Veys, I., Noterman, D., De Neubourg, F., Chintinne, M., Vankerckhove, S., & Nogaret, J. M. (2021). Near-Infrared Fluorescence Imaging of Breast Cancer and Axillary Lymph Nodes After Intravenous Injection of Free Indocyanine Green. *Frontiers in oncology*, 11, 602906. <https://doi.org/10.3389/fonc.2021.602906>.
36. Keating, J., Tchou, J., Okusanya, O., Fisher, C., Batiste, R., Jiang, J., ... Singhal, S. (2016). Identification of breast cancer margins using intraoperative near-infrared imaging. *Journal of Surgical Oncology*, 113(5), 508–514. doi:10.1002/jso.24167.
37. Ntziachristos, V., Yodh, A. G., Schnall, M., & Chance, B. (2000). Concurrent MRI and diffuse optical tomography of breast after indocyanine green enhancement. *Proceedings of the National Academy of Sciences of the United States of America*, 97(6), 2767–2772. <https://doi.org/10.1073/pnas.04057059738>.
38. Crawford, T., Moshnikova, A., Roles, S., Weerakkody, D., DuPont, M., Carter, L. M., Shen, J., Engelman, D. M., Lewis, J. S., Andreev, O. A., & Reshetnyak, Y. K. (2020). pH-LIP ICG for delineation of tumors and blood flow during fluorescence-guided surgery. *Scientific Reports*, 10(1). <https://doi.org/10.1038/s41598-020-75443-5>
39. Ebert, B., Riefke, B., Sukowski, U., & Licha, K. (2011). Cyanine dyes as contrast agents for near-infrared imaging in vivo: acute tolerance, pharmacokinetics, and

- fluorescence imaging. *Journal of Biomedical Optics*, 16(6), 066003. doi:10.1117/1.3585678.
40. Grabchuk G., Derevyanko N., Ischenko A. (2013). Features of methylmethacrylate thermopolymerization in the presence of intraionic dyes. *Chemistry and chemical technology*, 7(4), 429-434.
41. Kulinich, A. V., Ishchenko, A. A., Shishkina, S. V., Konovalova, I. S., & Shishkin, O. V. (2007). Molecular and crystal structure of di-and hexamethine merocyanine dyes — derivatives of 3H-indole and malononitrile — manifesting positive solvatochromism. *Journal of Structural Chemistry*, 48(5), 914–921. doi:10.1007/s10947-007-0135-4
42. Ishchenko, A. A., Kulinich, A. V., Bondarev, S. L., & Knyukshto, V. N. (2007). Photodynamics of Polyene–Polymethine Transformations and Spectral Fluorescent Properties of Merocyanine Dyes. *The Journal of Physical Chemistry A*, 111(51), 13629–13637. doi:10.1021/jp076016u
43. Ishchenko, A. A., Kulinich, A. V., & Shishkina, S. V. (2017). Effect of donor terminal group and polymethine chain length on structure of merocyanine dyes in the crystal state. *Dyes and Pigments*, 145, 181–188. doi:10.1016/j.dyepig.2017.06.009
44. Ishchenko, A. A., Kulinich, A. V., Bondarev, S. L., & Raichenok, T. F. (2018). UV–Vis absorption spectra and electronic structure of merocyanines in the gas phase. *Spectrochimica Acta Part A: Molecular and Biomolecular Spectroscopy*, 190, 332–335. doi:10.1016/j.saa.2017.09.054
45. А.В.Кулініч, О.О.Іщенко. Електронна будова та спектрально-флуоресцентні властивості мероціанінів. Київ: Наукова думка, 2022. – 319с. ISBN 978-966-00-1871-6
46. Park, H., & Chang, S.-K. (2015). Signaling of water content in organic solvents by solvatochromism of a hydroxynaphthalimide-based merocyanine dye. *Dyes and Pigments*, 122, 324–330. doi:10.1016/j.dyepig.2015.07.010.
47. Chen, J. Y., Cheung, N. H., Fung, M. C., Wen, J. M., Leung, W. N., & Mak, N. K. (2000). Subcellular localization of merocyanine 540 (MC540) and induction of

- apoptosis in murine myeloid leukemia cells. *Photochemistry and photobiology*, 72(1), 114–120. [https://doi.org/10.1562/0031-8655\(2000\)072<0114:slomma>2.0.co;2](https://doi.org/10.1562/0031-8655(2000)072<0114:slomma>2.0.co;2).
48. Toutchkine, A., Nguyen, D.-V., & Hahn, K. M. (2007). Simple One-Pot Preparation of Water-Soluble, Cysteine-Reactive Cyanine and Merocyanine Dyes for Biological Imaging. *Bioconjugate Chemistry*, 18(4), 1344–1348. doi:10.1021/bc060376n
- 49 Nalbant, P., Hodgson, L., Kraynov, V., Toutchkine, A., & Hahn, K. M. (2004). Activation of endogenous Cdc42 visualized in living cells. *Science (New York, N.Y.)*, 305(5690), 1615–1619. doi.org/10.1126/science.1100367
50. MacNevin, C. J., Gremyachinskiy, D., Hsu, C.-W., Li, L., Rougie, M., Davis, T. T., & Hahn, K. M. (2013). Environment-Sensing Merocyanine Dyes for Live Cell Imaging Applications. *Bioconjugate Chemistry*, 24(2), 215–223. doi:10.1021/bc3005073
51. Aliyan, A., Cook, N. P., & Martí, A. A. (2019). Interrogating Amyloid Aggregates using Fluorescent Probes. *Chemical Reviews*. doi:10.1021/acs.chemrev.9b00404.
52. Fu, H., Cui, M., Tu, P., Pan, Z., & Liu, B. (2014). Evaluation of molecules based on the electron donor–acceptor architecture as near-infrared β -amyloidal-targeting probes. *Chemical Communications.*, 50(80), 11875–11878. doi:10.1039/c4cc04907a.
53. Yan, J., Zhu, J., Zhou, K., Wang, J., Tan, H., Xu, Z., ... Zhang, L. (2017). Neutral merocyanine dyes: for in vivo NIR fluorescence imaging of amyloid- β plaques. *Chemical Communications*, 53(71), 9910–9913. doi:10.1039/c7cc05056a.
54. Yang, H. L., Fang, S. Q., Tang, Y. W., Wang, C., Luo, H., Qu, L. L., Zhao, J. H., Shi, C. J., Yin, F. C., Wang, X. B., & Kong, L. Y. (2019). A hemicyanine derivative for near-infrared imaging of β -amyloid plaques in Alzheimer's disease. *European journal of medicinal chemistry*, 179, 736–743. <https://doi.org/10.1016/j.ejmech.2019.07.005>.
55. Guo, R., Yin, J., Ma, Y., Li, G., Wang, Q., & Lin, W. (2018). A novel NIR probe for detection of viscosity in cellular lipid droplets, zebra fishes and living mice. *Sensors and Actuators B: Chemical*, 271, 321–328. doi:10.1016/j.snb.2018.05.055.
56. Mukherjee, T., Martinez-Sanchez, R. J., Fam, K. T., Bou, S., Richert, L., Garnier, D., Collot, M. (2021). Near infrared emitting molecular rotor based on merocyanine for

- probing the viscosity of cellular lipid environments. *Materials Chemistry Frontiers*, 5(5), 2459–2469. doi:10.1039/d0qm00872a.
57. Redmond, R. W., Srichai, M. B., Bilitz, J. M., Schlomer, D. D., & Krieg, M. (1994). Merocyanine dyes: effect of structural modifications on photophysical properties and biological activity. *Photochemistry and Photobiology*, 60(4), 348–355. doi:10.1111/j.1751-1097.1994.tb05114.x
58. Ishchenko, A. A., & Kulinich, A. V. (2016). The unusual solvatochromism and solvatofluorochromism of longwave absorbing and emitting barbiturate merocyanine dyes. *Methods and applications in fluorescence*, 4(3), 034001. <https://doi.org/10.1088/2050-6120/4/3/034001>
59. Kulinich, A. V., Derevyanko, N. A., & Ishchenko, A. A. (2006). Synthesis, structure, and solvatochromism of merocyanine dyes based on barbituric acid. *Russian Journal of General Chemistry*, 76(9), 1441–1457. doi:10.1134/s1070363206090167
60. Kulinich, A. V., Ishchenko, A. A., Bondarev, S. L., & Knyukshto, V. N. (2021). Effect of donor and acceptor end-groups on electronic structure and spectral-fluorescent properties of merocyanines in frozen ethanol. *Journal of Photochemistry and Photobiology A: Chemistry*, 405, 112932. doi: 10.1016/j.jphotochem.2020.11261.
61. Ibrayev, N. K., Seliverstova, E. V., Valiev, R. R., Kanapina, A. E., Ishchenko, A. A., Kulinich, A. V., Kurten, T., & Sundholm, D. (2023). Influence of plasmons on the luminescence properties of solvatochromic merocyanine dyes with different solvatochromism. *Physical chemistry chemical physics: PCCP*, 25(34), 22851–22861. <https://doi.org/10.1039/d3cp03029f>
62. Kulinich, A. V., Derevyanko, N. A., & Ishchenko, A. A. (2007). Electronic structure and solvatochromism of merocyanines based on N,N-diethylthiobarbituric acid. *Journal of Photochemistry and Photobiology A: Chemistry*, 188(2-3), 207–217. doi: 10.1016/j.jphotochem.2006.12.
63. Kulinich, A. V., Derevyanko, N. A., Ishchenko, A. A., Bondarev, S. L., & Knyukshto, V. N. (2008). Structure and fluorescent properties of merocyanines based on N,N-diethylthiobarbituric acid. *Journal of Photochemistry and Photobiology A: Chemistry*, 197(1), 40–49. doi: 10.1016/j.jphotochem.2007.12.

64. Kulinich, A. V., Derevyanko, N. A., Mikitenko, E. K., & Ishchenko, A. A. (2010). Merocyanines based on 1,3-indanedione: electronic structure and solvatochromism. *Journal of Physical Organic Chemistry*, 24(8), 732–742. doi:10.1002/poc.1821
65. Kulinich, A. V., Mikitenko, E. K., & Ishchenko, A. A. (2015). Fluorescent properties of merocyanines based on 1,3-indandione. *Optics and Spectroscopy*, 119(1), 39–48. doi:10.1134/s0030400x15070164
66. Humeniuk, H. V., Derevyanko, N. A., Ishchenko, A. A., & Kulinich, A. V. (2019). Merocyanines based on 1,2-diphenyl-3,5-pyrazolidinedione. *New Journal of Chemistry*. doi:10.1039/c9nj03275d
67. Nadezhda, A., Derevyanko, N. A., Ishchenko, A. A., & Kulinich, A. V. (2020). Deeply coloured and fluorescent highly dipolar merocyanines based on tricyanofuran. *Physical Chemistry Chemical Physics*. 22(5), 2748 – 2762. doi:10.1039/c9cp05827c
68. Xia, G., & Wang, H. (2017). Squaraine dyes: The hierarchical synthesis and its application in optical detection. *Journal of Photochemistry and Photobiology C: Photochemistry Reviews*, 31, 84–113. doi: 10.1016/j.jphotochemrev.2017
69. Xiao, Q., Yang, S., Wang, R., Zhang, Y., Zhang, H., Zhou, H., & Li, Z. (2018). Synthesis, structure and material properties of thiopyranylidene-based asymmetrical squaraines. *Dyes and Pigments*, 154, 137–144. doi: 10.1016/j.dyepig.2018.03.003
70. Ilina K, MacCuaig WM, Laramie M, Jeouty JN, McNally LR, Henary M. (2020). Squaraine Dyes: Molecular Design for Different Applications and Remaining Challenges. *Bioconjugate Chemistry*, 31(2):194-213.
doi: 10.1021/acs.bioconjchem.9b00482.
71. Skryshevskii, Y. A., Davidenko, N. A., Ishchenko, A. A., Kadashchuk, A. K., & Ostapenko, N. I. (2000). Special features of spectral and luminescent properties of squarilic dyes in polymer matrices. *Optics and Spectroscopy*, 88(3), 352–358. doi:10.1134/1.626801
72. Kurdiukova, I. V., Kulinich, A. V., & Ishchenko, A. A. (2012). Near-infrared squarate and croconate dianions derived from tetrannitrofluorene. *New Journal of Chemistry*, 36(8), 1564. doi:10.1039/c2nj40303j

73. Ibrayev, N. K., Seliverstova, E. V., Ishchenko, A. A., & Kudinova, M. A. (2017). The effect of sulfonate groups on spectral-luminescent and photovoltaic properties of squarylium dyes. *Journal of Photochemistry and Photobiology A: Chemistry*, 346, 570–575. doi:10.1016/j.jphotochem.2017.06
74. Qin C, Numata Y, Zhang S, Yang X, Islam A, Zhang K, Chen H, and Han L (2014) Novel Near Infrared Squaraine Sensitizers for Stable and Efficient Dye Sensitized Solar Cells. *Advanced Functional Materials*, 24 (20), 3059–3066.
75. Mayerhöffer, U., Fimmel, B., & Würthner, F. (2012). Bright near-infrared fluorophores based on squaraines by unexpected halogen effects. *Angewandte Chemie*, 51(1), 164–167. <https://doi.org/10.1002/anie.201107176>.
76. Martins TD, Pacheco ML, Boto RE, Almeida P, Farinha JPS, and Reis LV (2017) Synthesis, characterization and protein-association of dicyanomethylene squaraine dyes. *Dyes and Pigments*, 147, 120–129. <https://doi.org/10.1016/j.dyepig.2017.07.070>
77. Umezawa, K., Citterio, D., & Suzuki, K. (2008). Water-soluble NIR fluorescent probes based on squaraine and their application for protein labeling. *Analytical sciences : the international journal of the Japan Society for Analytical Chemistry*, 24(2), 213–217. <https://doi.org/10.2116/analsci.24.213>.
78. Gassensmith, J. J., Baumes, J. M., & Smith, B. D. (2009). Discovery and early development of squaraine rotaxanes. *Chemical Communications*, (42), 6329. doi:10.1039/b911064j
79. Wang, X., Chen, Y., Xiong, Y., Zhang, L., Wang, B., Liu, Y., & Cui, M. (2023). Design and Characterization of Squaramic Acid-Based Prostate-Specific Membrane Antigen Inhibitors for Prostate Cancer. *Journal of medicinal chemistry*, 66(10), 6889–6904. <https://doi.org/10.1021/acs.jmedchem.3c00309>
80. Oettl, K., Stadlbauer, V., Petter, F., Greilberger, J., Putz-Bankuti, C., Hallström, S., & Stauber, R. E. (2008). Oxidative damage of albumin in advanced liver disease. *Biochimica et Biophysica Acta (BBA) - Molecular Basis of Disease*, 1782(7-8), 469–473. doi:10.1016/j.bbadiis.2008.04.002

81. Jermendy, G., & Ruggenenti, P. (2007). Preventing microalbuminuria in patients with type 2 diabetes. *Diabetes/Metabolism Research and Reviews*, 23(2), 100–110. doi:10.1002/dmrr.693.
82. Ghuman, J., Zunszain, P. A., Petitpas, I., Bhattacharya, A. A., Otagiri, M., & Curry, S. (2005). Structural basis of the drug-binding specificity of human serum albumin. *Journal of molecular biology*, 353(1), 38–52. <https://doi.org/10.1016/j.jmb.2005.07.075>.
83. Jiménez, M. C., Miranda, M. A., & Vayá, I. (2005). Triplet Excited States as Chiral Reporters for the Binding of Drugs to Transport Proteins. *Journal of the American Chemical Society*, 127(29), 10134–10135. doi:10.1021/ja0514489
84. Dockal, M., Carter, D. C., & Rüker, F. (1999). The three recombinant domains of human serum albumin. Structural characterization and ligand binding properties. *The Journal of biological chemistry*, 274(41), 29303–29310. <https://doi.org/10.1074/jbc.274.41.29303>
85. Орлов В.Д., Ліпсон В.В., Іванов В.В. (2018). Медична хімія: навчальний посібник. – X.: Ексклюзив, ISBN 978-617-7204-80-9.
86. Lehman-McKeeman L.D. (2010). Chapter 5. absorption, distribution, and excretion of toxicants. Klaassen C.D., & Watkins J.B., III(Eds.), Casarett & Doull's *Essentials of Toxicology*, 2e. McGraw Hill.
87. Wu J.B., Shao C., Li X., et al. (2014). Near-infrared fluorescence imaging of cancer mediated by tumor hypoxia and HIF1 α /OATPs signaling axis. *Biomaterials*. 35(28), 8175–8185. doi: 10.1016/j.biomaterials.2014.05.073.
88. Usama, S. M., Park, G. K., Nomura, S., Baek, Y., Choi, H. S., & Burgess, K. (2020). Role of Albumin in Accumulation and Persistence of Tumor-Seeking Cyanine Dyes. *Bioconjugate chemistry*, 31(2), 248–259. <https://doi.org/10.1021/acs.bioconjchem.9b00771>.
89. Liu, Z., & Chen, X. (2016). Simple bioconjugate chemistry serves great clinical advances: albumin as a versatile platform for diagnosis and precision therapy. *Chemical Society reviews*, 45(5), 1432–1456. <https://doi.org/10.1039/c5cs00158g>

90. Pronkin, P. G., & Tatikolov, A. S. (2022). Photonics of Trimethine Cyanine Dyes as Probes for Biomolecules. *Molecules (Basel, Switzerland)*, 27(19), 6367. <https://doi.org/10.3390/molecules27196367>
91. Stehle G, Sinn H, Wunder A, Schrenk HH, Schutt S, Maier-Borst W, and Heene DL (1997) The loading rate determines tumor targeting properties of methotrexate-albumin conjugates in rats. *Anti-Cancer Drugs* 8, 667–685.
92. Frei, E. (2011). Albumin binding ligands and albumin conjugate uptake by cancer cells. *Diabetology & Metabolic Syndrome*, 3, 11. <https://doi.org/10.1186/1758-5996-3-11>.
93. Yang, F., Zhang, Y., & Liang, H. (2014). Interactive association of drugs binding to human serum albumin. *International journal of molecular sciences*, 15(3), 3580–3595. <https://doi.org/10.3390/ijms15033580>.
94. Abuin E, Aspee A, Lissi E, Leon L.(2007). Binding of rose Bengal to bovine serum albumin. *Journal of the Chilean Chemical Society*, 52(2), 1196-1197. <http://dx.doi.org/10.4067/S0717-97072007000200017>
95. Chakraborty, G., Ray, A. K., Singh, P. K., & Pal, H. (2018). A highly fluorescent turn-on probe in the near-infrared region for albumin quantification in serum matrix. *Chemical Communications*, 54(60), 8383–8386. doi:10.1039/c8cc05058a
96. Chen, Q., Liang, C., Wang, C., & Liu, Z. (2015). An imagable and photothermal "Abraxane-like" nanodrug for combination cancer therapy to treat subcutaneous and metastatic breast tumors. *Advanced materials (Deerfield Beach, Fla.)*, 27(5), 903–910. <https://doi.org/10.1002/adma.201404308>.
97. Onoe, S., Temma, T., Shimizu, Y., Ono, M., & Saji, H. (2014). Investigation of cyanine dyes for in vivo optical imaging of altered mitochondrial membrane potential in tumors. *Cancer medicine*, 3(4), 775–786. <https://doi.org/10.1002/cam4.252>
98. Kamisaka K., Yatsuji Y., Yamada H., Kameda H., (1974). The binding of indocyanine green and other organic anions to serum proteins in liver diseases. *Clinica Chimica Acta*, 53(2), 255–264.

99. Ciamberlini C., Guarnieri V., Longobardi G., Poggi P., Donati M.C., Panzardi G. (1997). Indocyanine green videoangiography using cooled charge-coupled devices in central serous choroidopathy. *Journal of Biomedical Optics*, 2(2), 218–225.
100. Genina E.A., Bashkatov A.N., Kochubei V.I., Tuchin V.V., Altshuler G.B. (2001). The interaction of Indocyanine Green dye with the human epidermis studied In vivo. *Technical Physics Letters*, 27(7), 602–604.
101. Hamann, F. M., Brehm, R., Pauli, J., Grabolle, M., Frank, W., Kaiser, W. A., Fischer, D., Resch-Genger, U., & Hilger, I. (2011). Controlled modulation of serum protein binding and biodistribution of asymmetric cyanine dyes by variation of the number of sulfonate groups. *Molecular imaging*, 10(4), 258–269. <https://doi.org/10.2310/7290.2011.00005>.
102. Lin, F., Das, P., Zhao, Y., Shen, B., Hu, R., Zhou, F., Liu, L., & Qu, J. (2019). Monitoring the endocytosis of bovine serum albumin based on the fluorescence lifetime of small squaraine dye in living cells. *Biomedical optics express*, 11(1), 149–159. <https://doi.org/10.1364/BOE.11.000149>
103. Welder, F., Paul, B., Nakazumi, H., Yagi, S., Colyer, C.L. (2003) Symmetric and asymmetric squarylium dyes as noncovalent protein labels: a study by fluorimetry and capillary electrophoresis. *Journal of chromatography. B, Analytical Technologies in the Biomedical and Life Sciences*. 793(1):93-105. DOI: 10.1016/s1570-0232(03)00367-2.
104. Zhang, Y., Yue, X., Kim, B., Yao, S., Bondar, M. V., & Belfield, K. D. (2013). Bovine Serum Albumin Nanoparticles with Fluorogenic Near-IR-Emitting Squaraine Dyes. *ACS Applied Materials & Interfaces*, 5(17), 8710–8717. doi:10.1021/am402361w.
105. Cai, R., & Chen, C. (2019). The Crown and the Scepter: Roles of the Protein Corona in Nanomedicine. *Advanced materials (Deerfield Beach, Fla.)*, 31(45), e1805740. <https://doi.org/10.1002/adma.201805740>.
106. Choi, H. S., Gibbs, S. L., Lee, J. H., Kim, S. H., Ashitate, Y., Liu, F., Hyun, H., Park, G., Xie, Y., Bae, S., Henary, M., & Frangioni, J. V. (2013). Targeted zwitterionic near-infrared fluorophores for improved optical imaging. *Nature biotechnology*, 31(2), 148–153. <https://doi.org/10.1038/nbt.2468>.

107. Choi, H. S., Nasr, K., Alyabyev, S., Feith, D., Lee, J. H., Kim, S. H., Ashitate, Y., Hyun, H., Patonay, G., Strekowski, L., Henary, M., & Frangioni, J. V. (2011). Synthesis and in vivo fate of zwitterionic near-infrared fluorophores. *Angewandte Chemie (International ed. in English)*, 50(28), 6258–6263. <https://doi.org/10.1002/anie.201102459>.
108. Gunaydin, G., Gedik, M. E., & Ayan, S. (2021). Photodynamic Therapy-Current Limitations and Novel Approaches. *Frontiers in chemistry*, 9, 691697. <https://doi.org/10.3389/fchem.2021.691697>
109. Dolmans, D. E., Fukumura, D., & Jain, R. K. (2003). Photodynamic therapy for cancer. *Nature reviews. Cancer*, 3(5), 380–387. <https://doi.org/10.1038/nrc1071>.
110. Voiciuk, V., Redeckas, K., Derevyanko, N. A., Kulinich, A. V., Barkauskas, M., Vengris, M., ... Ishchenko, A. A. (2014). Study of photophysical properties of a series of polymethine dyes by femtosecond laser photolysis. *Dyes and Pigments*, 109, 120–126. doi:10.1016/j.dyepig.2014.05.012.
111. Kulinich, A. V., Ishchenko, A. A., Chibisov, A. K., & Zakharova, G. V. (2014). Effect of electronic asymmetry and the polymethine chain length on photoprocesses in merocyanine dyes. *Journal of Photochemistry and Photobiology A: Chemistry*, 274, 91–97. doi:10.1016/j.jphotochem.2013.09.
112. Redeckas K., Voiciuk V., Ishchenko A.A., Vengris M. (2018). Dark states of symmetric polymethine dyes revealed by pump–dump–probe spectroscopy. *Lithuanian Journal of Physics*. 58(4): 346–357. <https://doi.org/10.3952/physics.v58i4.3879>.
113. Ishchenko A.A., Kurdyukova I.V., Bogdanovich M.V., Bondarev S.L., Romanenko A.A., Ryabtsev A.G., Ryabtsev G.I. (2021). Electronic structure and spectral-fluorescent properties of thiopyrylo-4-tricarbocyanine laser dyes. *Optics and Spectroscopy*. 129(8), 926 – 934. <https://doi.org/10.1134/S0030400X21070080>.
114. D'Alessandro, S., & Priefer, R. (2020). Non-Porphyrin Dyes Used as Photosensitizers in Photodynamic Therapy. *Journal of Drug Delivery Science and Technology*, 101979. doi:10.1016/j.jddst.2020.101979

115. Kulinich, A. V., Ishchenko, A. A., & Kurdyukov, V. V. (2019). Effect of bulky substituents in the donor and acceptor terminal groups on solvatochromism of Brooker's merocyanine. *New Journal of Chemistry*. 43(19), 7379 – 7385. doi:10.1039/c9nj00831d
116. Derevyanko, N. A., Ishchenko, A. A., & Kulinich, A. V. (2020). Deeply coloured and fluorescent highly dipolar merocyanines based on tricyanofuran. *Physical Chemistry Chemical Physics*. 22(5), 2748 – 2762. doi:10.1039/c9cp05827c
117. Zareba, M., Niziolek, M., Korytowski, W., & Girotti, A. W. (2005). Merocyanine 540-sensitized photokilling of leukemia cells: role of post-irradiation chain peroxidation of plasma membrane lipids as revealed by nitric oxide protection. *Biochimica et biophysica acta*, 1722(1), 51–59. <https://doi.org/10.1016/j.bbagen.2004.11.007>
118. Li, Z., Huang, B., Wang, Y., Yuan, W., Wu, Y., Yu, R., Xing, G., Zou, T., & Tao, Y. (2020). Design, synthesis and application in biological imaging of a novel red fluorescent dye based on a rhodanine derivative. *RSC advances*, 11(1), 160–163. <https://doi.org/10.1039/d0ra08998b>.
119. Lin, H. Y., Chen, C. T., & Huang, C. T. (2004). Use of merocyanine 540 for photodynamic inactivation of *Staphylococcus aureus* planktonic and biofilm cells. *Applied and environmental microbiology*, 70(11), 6453–6458. <https://doi.org/10.1128/AEM.70.11.6453-6458.2004>.
120. Lum, L. G., Yamagami, M., Giddings, B. R., Joshi, I., Schober, S. L., Sensenbrenner, L. L., & Sieber, F. (1991). The immunoregulatory effects of merocyanine 540 on in vitro human T- and B-lymphocyte functions. *Blood*, 77(12), 2701–2706.
121. Devi, D. G., Cibin, T. R., & Abraham, A. (2013). Bis (3,5-diiodo-2,4,6-trihydroxyphenyl) squaraine photodynamic therapy induces in vivo tumor ablation by triggering cytochrome c dependent mitochondria mediated apoptosis. *Photodiagnosis and Photodynamic Therapy*, 10(4), 510–517. doi:10.1016/j.pdpdt.2013.04.005
122. Sushil Khopkar, Ganapati Shankarling. (2019). Synthesis, photophysical properties and applications of NIR absorbing unsymmetrical squaraines: A review. *Dyes and Pigments*. 170, 107645. <https://doi.org/10.1016/j.dyepig.2019.107645>.

123. Mandim, F., Graça, V. C., Calhelha, R. C., Machado, L. F., Ferreira, F. V., Ferreira, F. R., & Santos, P. F. (2019). Synthesis, Photochemical and In Vitro Cytotoxic Evaluation of New Iodinated Aminosquaraines as Potential Sensitizers for Photodynamic Therapy. *Molecules*, 24(5). doi.org/10.3390/molecules24050863.
124. Magalhães, Á. F., Graça, V. C., Calhelha, R. C., et al. (2019). Synthesis, photochemical and in vitro cytotoxic evaluation of benzoselenazole-based aminosquaraines. *Photochemical and Photobiological Sciences*, 18, 336–342. <https://doi.org/10.1039/C8PP00201K>
125. Lima, E., Silva, J. F., Santos, A. O., et al. (2020). Photodynamic activity of indolenine-based aminosquaraine cyanine dyes: Synthesis and in vitro photobiological evaluation. *Dyes and Pigments*, 174, 108024. <http://dx.doi.org/10.1016/j.dyepig.2019.108024>
126. Shandura, M. P., Poronik, Y. M., Kovtun, Y. P., & Ishchenko, A. A. (2008). Substituted xanthocyanines, Part IV: Trinuclear dyes with a pyronine nucleus. *Dyes and Pigments*, 77(2), 369–373. doi:10.1016/j.dyepig.2007.06.007.
127. Li, Z., Zhao, P., Tofighi, S., Sharma, R., Ensley, T. R., Jang, S.-H., ... Jen, A. K.-Y. (2016). Zwitterionic Cyanine–Cyanine Salt: Structure and Optical Properties. *The Journal of Physical Chemistry C*, 120(28), 15378–15384. doi:10.1021/acs.jpcc.6b03037.
128. Demchuk, M. I., Ishchenko, A. A., Krasnaya, Z. A., & Mikhailov, V. P. (1990). The excited-state relaxation times of cationic-anionic polymethine dyes. *Chemical Physics Letters*, 167(1-2), 170–174. doi:10.1016/0009-2614(90)85090-y.
129. Zhang, X.; Wang, Z.; Hou, Y.; Yan, Y.; Zhao, J.; Dick, B. (2021). Recent Development of Heavy-Atom-Free Triplet Photosensitizers: Molecular Structure Design, Photophysics and Application. *Journal of Materials Chemistry*, 9, 11944–11973. <https://doi.org/10.1039/D1TC02535J>.
130. Sun, J., Feng, E., Shao, Y., Lv, F., Wu, Y., Tian, J., Sun, H., & Song, F. (2022). A Selenium-Substituted Heptamethine Cyanine Photosensitizer for Near-Infrared Photodynamic Therapy. *Chembiochem: a European journal of chemical biology*, 23(22), e202200421. <https://doi.org/10.1002/cbic.202200421>.

131. Lima, E., Barroso, A. G., Sousa, M. A., Ferreira, O., Boto, R. E., Fernandes, J. R., Almeida, P., Silvestre, S. M., Santos, A. O., & Reis, L. V. (2022). Picolyamine-functionalized benz[e]indole squaraine dyes: Synthetic approach, characterization and in vitro efficacy as potential anticancer phototherapeutic agents. *European journal of medicinal chemistry*, 229, 114071. <https://doi.org/10.1016/j.ejmech.2021.114071>.
132. Peceli D., Hu H., Fishman D. et al. (2013). Enhanced Intersystem Crossing Rate in Polymethine-Like Molecules: Sulfur-Containing Squaraines versus Oxygen-Containing Analogues. *The Journal of Physical Chemistry A*, 117(11), 2333–2346. doi:10.1021/jp400276g.
133. Mahalingam, S. M., Ordaz, J. D., & Low, P. S. (2018). Targeting of a Photosensitizer to the Mitochondrion Enhances the Potency of Photodynamic Therapy. *ACS Omega*, 3(6), 6066–6074. doi:10.1021/acsomega.8b00692.
134. Kessel, D., & Reiners, J. J. (2015). Promotion of Proapoptotic Signals by Lysosomal Photodamage. *Photochemistry and Photobiology*, 91(4), 931–936. doi:10.1111/php.12456.
135. Zhao, X., Yang, Y., Yu, Y., Guo, S., Wang, W., & Zhu, S. (2019). A cyanine-derivative photosensitizer with enhanced photostability for mitochondria-targeted photodynamic therapy. *Chemical Communications*, 55, 13542 – 13545. doi:10.1039/c9cc06157f
136. Noh, I., Lee, D., Kim, H., Jeong, C.-U., Lee, Y., Ahn, J.-O., ... Kim, Y.-C. (2017). Enhanced Photodynamic Cancer Treatment by Mitochondria-Targeting and Brominated Near-Infrared Fluorophores. *Advanced Science*, 5(3), 1700481. doi:10.1002/advs.201700481.
137. Zhang L., Li H.-M., Chen J.-L. (2022). Multifunctional Probes with High Utilization Rates: Self-Assembled Merocyanine Nanoparticles in Water as Acid–Base Indicators and Mitochondrion-Targeting Chemotherapeutic Agents. *Journal of Physical Chemistry*, 13(4), 1090 - 1098. <https://doi.org/10.1021/acs.jpclett.1c04092>.
138. Castano, A. P., Demidova, T. N., & Hamblin, M. R. (2005). Mechanisms in photodynamic therapy: Part three—Photosensitizer pharmacokinetics, biodistribution,

- tumor localization and modes of tumor destruction. *Photodiagnosis and Photodynamic Therapy*, 2(2), 91–106. doi:10.1016/s1572-1000(05)00060-8
139. Kessel, D., Thompson, P., Saatio, K., & Nantwi, K. D. (1987). Tumor localization and photosensitization by sulfonated derivatives of tetraphenylporphine. *Photochemistry and photobiology*, 45(6), 787–790. <https://doi.org/10.1111/j.1751-1097.1987.tb07883.x>.
140. Choudhury, R., Sharma, A. K., Paudel, P., Wilson, P., & Pereira, A. B. (2022). In situ generation of a Zwitterionic fluorescent probe for detection of human serum albumin protein. *Analytical Biochemistry*, 646, 114630. <https://doi.org/10.1016/j.ab.2022.114630>
141. Choudhury, R., Rajeshbhai Patel, S., & Ghosh, A. (2019). Selective detection of human serum albumin by near infrared emissive fluorophores: Insights into structure-property relationship. *Journal of Photochemistry and Photobiology A: Chemistry*, 376, 100-107. <https://doi.org/10.1016/j.jphotochem.2019.02.038>
142. Gomes, V. S., Gonçalves, H. M., Boto, R. E., Almeida, P., & Reis, L. V. (2020). Barbiturate squaraine dyes as fluorescent probes for serum albumins detection. *Journal of Photochemistry and Photobiology A: Chemistry*, 400, 112710. <https://doi.org/10.1016/j.jphotochem.2020.112710>.
143. Gao, F.-P., Lin, Y.-X., Li, L.-L., Liu, Y., Mayerhöffer, U., Spenst, P., ... Wang, H. (2014). Supramolecular adducts of squaraine and protein for noninvasive tumor imaging and photothermal therapy in vivo. *Biomaterials*, 35(3), 1004–1014.
144. Zhang, D., Zhao, Y. X., Qiao, Z. Y., Mayerhöffer, U., Spenst, P., Li, X. J., Würthner, F., & Wang, H. (2014). Nano-confined squaraine dye assemblies: new photoacoustic and near-infrared fluorescence dual-modular imaging probes in vivo. *Bioconjugate chemistry*, 25(11), 2021–2029. <https://doi.org/10.1021/bc5003983>.
145. Silva, E., Santos, E.D., Gonçalves, C.S., Cardoso, M.A., Soares, CP. (2016). Beltrame J M. Zinc phthalocyanine-conjugated with bovine serum albumin mediated photodynamic therapy of human larynx carcinoma. *Laser Physics*, 26(10), 105601. doi:10.1088/1054-660X/26/10/105601.

146. Fadel, M., Samy, N., Nasr, M., & Alyoussef, A. A. (2016). Topical colloidal indocyanine green-mediated photodynamic therapy for treatment of basal cell carcinoma. *Pharmaceutical Development and Technology*, 22(4), 545–550. doi: 10.3109/10837450.2016.1146294/
147. Tan, X., Luo, S., Long, L., et al. (2017). Structure-guided design and synthesis of a mitochondria-targeting near-infrared fluorophore with multimodal therapeutic activities. *Advanced Materials*, 29, 1704196. doi: 10.1002/adma.201704196.
148. Marconi A, Mattioli EJ, Ingargiola F, Giugliano G, Marforio TD, Prodi L, Di Giosia M, Calvaresi M. Dissecting the Interactions between Chlorin e6 and Human Serum Albumin. *Molecules*. 2023; 28(5):2348. doi.org/10.3390/molecules28052348.
149. Matsuoka, T., Imai, H., Kohno, H., & Fukui, Y. (2006). Effects of bovine serum albumin and trehalose in semen diluents for improvement of frozen-thawed ram spermatozoa. *The Journal of reproduction and development*, 52(5), 675–683. <https://doi.org/10.1262/jrd.18033>.
150. Alarcón, E., Edwards, A. M., Garcia, A. M., Muñoz, M., Aspée, A., Borsarelli, C. D., & Lissi, E. A. (2009). Photophysics and photochemistry of zinc phthalocyanine/bovine serum albumin adducts. *Photochemical & Photobiological Sciences*, 8(2), 255. doi:10.1039/b815726j.
151. Foley, M. S. C., Beeby, A., Parker, A. W., Bishop, S. M., & Phillips, D. (1997). Excited triplet state photophysics of the sulphonated aluminium phthalocyanines bound to human serum albumin. *Journal of Photochemistry and Photobiology B: Biology*, 38(1), 10–17. doi:10.1016/s1011-1344(96)07434-9.
152. Huang, J.-D., Lo, P.-C., Chen, Y.-M., Lai, J. C., Fong, W.-P., & Ng, D. K. P. (2006). Preparation and in vitro photodynamic activity of novel silicon(IV) phthalocyanines conjugated to serum albumins. *Journal of Inorganic Biochemistry*, 100(5-6), 946–951. doi:10.1016/j.jinorgbio.2005.12.004
153. Kessler, M. A., & Wolfbeis, O. S. (1992). Laser-induced fluorometric determination of albumin using longwave absorbing molecular probes. *Analytical Biochemistry*, 200(2), 254–259. doi:10.1016/0003-2697(92)90462-g.

154. Yu. Slominskii, I. Radchenko, A. Tolmachev, (1975) Ukraine. Chemistry Journal, 41, 760-764.
155. Liu, Y., Grimm, M., Dai, W. T., Hou, M. C., Xiao, Z. X., & Cao, Y. (2020). CB-Dock: a web server for cavity detection-guided protein-ligand blind docking. *Acta pharmacologica Sinica*, 41(1), 138–144. <https://doi.org/10.1038/s41401-019-0228-6>.
156. Cao, Y., & Li, L. (2014). Improved protein-ligand binding affinity prediction by using a curvature-dependent surface-area model. *Bioinformatics (Oxford, England)*, 30(12), 1674–1680. <https://doi.org/10.1093/bioinformatics/btu104>.
157. Han, X., Xu, K., Taratula, O., & Farsad, K., (2019). Applications of nanoparticles in biomedical imaging. *Nanoscale*, 11(3), 799–819. <https://doi.org/10.1039/c8nr07769j>
158. O'Connell, M. J., Bachilo, S. M., Huffman, C. B., Moore, V. C., Strano, M. S., Haroz, E. H., Rialon, K. L., Boul, P. J., Noon, W. H., and Carter, K. (2002) Band gap fluorescence from individual single-walled carbon nanotubes. *Science* 297, 593– 596, DOI: 10.1126/science.1072631
159. Chen, G., Tian, F., Zhang, Y., Zhang, Y., Li, C., and Wang, Q. (2014) Tracking of transplanted human mesenchymal stem cells in living mice using near-infrared Ag2S quantum dots. *Advanced Functional Materials*. 24, 2481– 2488. doi:10.1002/adfm.201303263
160. Naczynski, D. J., Tan, M. C., Zevon, M., Wall, B., Kohl, J., Kulesa, A., ... Moghe, P. V. (2013). Rare-earth-doped biological composites as in vivo shortwave infrared reporters. *Nature Communications*, 4(1). doi:10.1038/ncomms3199.
161. Resch-Genger, U., Grabolle, M., Cavaliere-Jaricot, S., Nitschke, R., & Nann, T. (2008). Quantum dots versus organic dyes as fluorescent labels. *Nature methods*, 5(9), 763–775. <https://doi.org/10.1038/nmeth.1248>.
162. Hoye, A. T., Davoren, J. E., Wipf, P., Fink, M. P., & Kagan, V. E. (2008). Targeting Mitochondria. *Accounts of Chemical Research*, 41(1), 87–97. doi:10.1021/ar700135m.
163. Shi, G.-J., Gu, X.-H., Lv, H.-Y., Chen, R., Zhang, Q., Chen, S., ... Hu, Z.-Q. (2020). Hybrid coumarin-difluoroboron dyes for mitochondrial staining. *Dyes and Pigments*, 108430. doi:10.1016/j.dyepig.2020.108430

163. Reichardt, C., Welton, T., (2010) Solvents and Solvent Effects in Organic Chemistry: Fourth Edition, Wiley-VCH, Weinheim, Chapter 5, doi.org/10.1002/9783527632220.ch5.
164. Andrii V. Kulinich, Alexander A. Ishchenko. Design and Photonics of Merocyanine Dyes (Review). *The Chemical Record*. 2023. Vol.23. Issue 10.
165. Ishchenko, A. A., Kulinich, A. V., Bondarev, S. L., & Knyukshto, V. N. (2007). Photodynamics of Polyene–Polymethine Transformations and Spectral Fluorescent Properties of Merocyanine Dyes. *The Journal of Physical Chemistry A*, 111(51), 13629–13637. doi:10.1021/jp076016u.
166. Ishchenko, A. A., Kulinich, A. V., Bondarev, S. L., & Knyukshto, V. N. (2008) Electronic Structure and Fluorescent Properties of Malononitrile-Based Merocyanines with Positive and Negative Solvatochromism. - *Optics and Spectroscopy*, 104(1), 57–68 10.1007/s11449-008-1008-y.
167. Ishchenko, A. A., Kramarenko, F.G., Maydannic, A.G., Sereda, S.V., Vasilenko, N.P. (1991). Structure and association of carbocyanines of the benz[c,d]indole series in binary mixtures of solvents. *Journal of information recording materials*, 19(3), 207-219.
168. Савостьянова М.Б. (1963). Взаимодействие красителей с высокомолекулярными веществами. *Успехи химии*. 32(10), 1233-1269.
169. Ishchenko, A. A. (1991). Structure and spectral-luminescent properties of polymethine dyes (Reviews). *Russian Chemical Reviews*. 60(8), 865-884. <https://doi.org/10.1070/rc1991v06n08abeh001116>
170. Uldry, M., Ibberson, M., Hosokawa, M., & Thorens, B. (2002). GLUT2 is a high affinity glucosamine transporter. *FEBS Letters*, 524(1-3), 199–203. doi:10.1016/s0014-5793(02)03058-2.
171. Macheda, M. L., Rogers, S., & Best, J. D. (2005). Molecular and cellular regulation of glucose transporter (GLUT) proteins in cancer. *Journal of cellular physiology*, 202(3), 654–662. <https://doi.org/10.1002/jcp.20166>.
172. Calvo, M. B., Figueiroa, A., Pulido, E. G., Campelo, R. G., & Aparicio, L. A. (2010). Potential role of sugar transporters in cancer and their relationship with

- anticancer therapy. *International journal of endocrinology*, 2010, 205357. <https://doi.org/10.1155/2010/205357>
173. Lima, E., & Reis, L. V. (2022). 'Lights, squaraines, action!' - the role of squaraine dyes in photodynamic therapy. *Future medicinal chemistry*, 14(19), 1375–1402. <https://doi.org/10.4155/fmc-2022-0112>
174. Korotcov, A. V., Ye, Y., Chen, Y., Zhang, F., Huang, S., Lin, S., Sridhar, R., Achilefu, S., & Wang, P. C. (2012). Glucosamine-linked near-infrared fluorescent probes for imaging of solid tumor xenografts. *Molecular imaging and biology*, 14(4), 443–451. <https://doi.org/10.1007/s11307-011-0520-4>
175. Entradas, T., Waldron, S., & Volk, M. (2020). The detection sensitivity of commonly used singlet oxygen probes in aqueous environments. *Journal of Photochemistry and Photobiology B: Biology*, 204, 111787. <https://doi.org/10.1016/j.jphotobiol.2020.111787>.
176. Kłosowski, E. M., Lima de Souza, B. T., Mito, M. S., Constantin, R. P., Mantovanelli, G. C., Mewes, J. M., ... Constantin, R. P. (2020). The photodynamic and direct actions of methylene blue on mitochondrial energy metabolism: A balance of the useful and harmful effects of this photosensitizer. *Free Radical Biology and Medicine*, 153, 34-53. doi:10.1016/j.freeradbiomed.2020.
177. Ashwell, G. J., Jackson, P. D., Lochun, D., Thompson, P. A., Crossland, W. A., Bahra, G. S., ... Jasper, C. (1994). Second Harmonic Generation from Alternate-Layer LB Films: Quadratic Enhancement with Film Thickness. *Proceedings of the Royal Society A: Mathematical, Physical and Engineering Sciences*, 445(1924), 385–398. doi:10.1098/rspa.1994.0067
178. Ishchenko A.A., Mushkalo I.L., Derevyanko N.A., Zakhidov U., Khidirova T.S. (1989). Nizamov N. Association of biscyanine dyes with rigidly connected chromophores in solvents of different polarity. *Journal of Information Recording Materials*. 17(1), 39-51.
179. Ibrayev N. K., Ishchenko A. A., Karamysheva R. K., Mushkalo, I. L. (2000). Influence of interaction of chromophores, linked by the unconjugated chain, on the

- luminescence properties of biscyanine dyes. *Journal of Luminescence*, 90(3-4), 81–88.
doi:10.1016/s0022-2313(99)00616-x.
180. Ishchenko, A., Syniugina A. “Structure and Photosensitaizer Ability of Polymethine Dyes in Photodynamic Therapy: A Review”. *Theoretical and Experimental Chemistry*, 2023; 58(6):373 – 401, DOI 10.1007/s11237-023-09754-9.
181. Синюгіна А.Т., Іщенко О.О. «Вплив агрегації бензоіндосквараїнів на генерацію синглетного кисню». Допов. Нац. акад. наук України. № 4. С. 60-67.
doi.org/10.15407/dopovidi2023.04.060.

ДОДАТОК А

СПИСОК ПУБЛІКАЦІЙ ЗДОБУВАЧА ЗА ТЕМОЮ ДИСЕРТАЦІЇ В ЯКИХ ОПУБЛІКОВАНІ НАУКОВІ РЕЗУЛЬТАТИ ДИСЕРТАЦІЇ

1. **Syniugina A.**, Chernii S., Losytskyy M., Syniugin A., Slominskii Y., Baland A., Özkan G., Mokhir A., Kovalska V., Yarmoluk, S. “The synthesis and study of novel merocyanine probes for protein detection and cells visualization” Journal of Photochemistry and Photobiology, 2021, 7, 100046; DOI:10.1016/j.jpap.2021.100046. *Особистий внесок здобувача – збір літературних даних, синтез, спектрально-флуоресцентні дослідження барвників.*
2. **Syniugina A.**, Chernii S., Losytskyy M., Ozkan H.G., Slominskii Yu, Syniugin A., Pekhnyo V., Mokhir A., Yarmoluk S. “N-alkyl functionalized squaraine dyes as fluorescent probes for the detection of serum albumins”. Biopolymers and Cell, 2022; 38(2):103-116 (Open Access, Q4) DOI 10.7124/bc.000A75. *Особистий внесок здобувача – спектрально-люмінесцентні дослідження барвників та дослідження їх взаємодії із білками, написання та підготовка статті до друку.*
3. **Syniugina A.**, Malanchuk O., Chernii S., Bdzhola A., Horbatok K., Syniugin A., Yarmoluk S. “The squaraine derivatives as potential photosensitizers in photodynamic therapy of cancer”. Biopolymers and Cell, 2023; 39(1):3-13, DOI 10.7124/bc.000A81. *Особистий внесок здобувача – спектрально-флуоресцентні вимірювання, оцінка фотодинамічних властивостей барвників, проведення МТТ-аналізу, підготовка статті до друку.*
4. Ishchenko, A., **Syniugina A.** “Structure and Photosensitizer Ability of Polymethine Dyes in Photodynamic Therapy: A Review”. Theoretical and Experimental Chemistry, 2023; 58(6):373 – 401, DOI 10.1007/s11237-023-09754-9. *Особистий внесок здобувача – підбір та узагальнення літератури.*

5. Синюгіна А.Т., Іщенко О.О. «Вплив агрегації бензоіндоскварайнів на генерацію синглетного кисню». Допов. Нац. акад. наук Укр. 2023. № 4. С. 60-67. doi.org/10.15407/dopovidi2023.04.060. *Проведення експериментальної частини.*
6. Syniugina A., Chernii S., Slominskiy Yu., Yarmoluk S. /The study of N-alkyl functionalized indolenine based squaraines as fluorescent probes for proteins detection // Всеукраїнська наукова конференція студентів, аспірантів та молодих учених з міжнародною участю „Хімічні проблеми сьогодення”, Збірник тез, 25-27.05.2020, Вінниця, Україна. - Р. 42
7. Syniugina A., Chernii S., Synugin A., Baland A., Kovalska V., Yarmoluk S. /The study of novel functionalized merocyanine dyes for albumins detection // XIV IMBG All-Ukrainian Conference of Young Scientists, 27-28.05.2020, Kyiv, Ukraine. – P. 21.
8. Syniugina A.T, Chernii S.V., Syniugin A.R., Losytskyy M.Yu., Slominskii Yu.L., Mokhir A.A., Kovalska V.B., Yarmoluk S.M. /Merocyanines as fluorescent probes for the detection in microscopy // IV International scientific conference for students and young scientists, 23-25.03.2021, Vinnytsia, Ukraine.
9. Chernii S.V., Syniugina A.T., Slominskii Yu.L., Özkan H.G., Mokhir A.A., Kovalska V.B., Yarmoluk S.M. /Squaraine dyes as fluorescent probes for microscopy and the detection of proteins // XVII Міжнародна наукова конференція студентів і аспірантів «Молодь і поступ біології» (Львів, 19–21 квітня 2021).
10. Syniugina A., Cherniy S., Malanchuk O., Suniugin A., Yarmoluk S. /D-glucosamide-containing derivatives of organic dyes as fluorescence probes for cell imaging // All-Ukrainian conference on molecular and cell biology with international participation, 15 -17.06.2022, p.103. Kyiv, Ukraine.